

# Вестник

Уральского  
государственного  
университета  
путей сообщения

Научный журнал

**Herald**  
**of the Ural State University**  
**of Railway Transport**

Scientific journal



Научный журнал  
Вестник Уральского государственного  
университета путей сообщения  
(Вестник УрГУПС)  
№ 1 (49), 2021 год

**Главный редактор**  
Василий Михайлович Сай  
**Научный редактор**  
Василий Федорович Лапшин

**Литературный и выпускающий редактор**  
Людмила Станиславовна Барышникова

**Техническое редактирование и верстка**  
Светлана Николаевна Наймушина

**Учредитель и издатель:**  
Федеральное государственное  
бюджетное образовательное учрежде-  
ние высшего образования «Уральский  
государственный университет путей  
сообщения» (ФГБОУ ВО УрГУПС)

**Адрес учредителя, издателя и редакции:**  
620034, Екатеринбург,  
ул. Колмогорова, 66

**Телефон редакции:** (343) 221-25-60.  
**Веб-сайт:** [www.usurt.ru/vestnik](http://www.usurt.ru/vestnik);  
**e-mail:** [vestnik@usurt.ru](mailto:vestnik@usurt.ru).

Вестник УрГУПС включен ВАКом  
в перечень периодических, научных  
и научно-технических изданий,  
выпускаемых в Российской Федерации,  
в которых рекомендуется публикация  
основных результатов диссертаций.

DOI:10.20291/2079-0392

Свидетельство о регистрации  
средства массовой информации  
Роскомнадзора ПИ № ФС77–38188  
от 30 ноября 2009 г.

Подписной индекс журнала  
в общероссийском  
каталоге «Пресса России» – 70070

Отпечатано в издательстве  
Уральского государственного  
университета путей сообщения,  
620034, Екатеринбург,  
ул. Колмогорова, 66.

Подписано в печать 30.03.2021  
Дата выхода в свет 22.04.2021.  
Цена 353 руб. 46 коп.

Тираж 300 экз. 1-й з-д: 1–60.  
Формат 70×100/16.  
Заказ 9

Уральский государственный  
университет путей сообщения  
(ФГБОУ ВО УрГУПС), 2021 ©

Scientific journal «Herald of the  
Ural State University  
of Railway Transport»  
(Herald of the USURT)  
№ 1 (49), 2021

**Editor-in-chief,**  
Vasily M. Say  
**Science editor**  
Vasily F. Lapshin

**Script and copy editor**  
Lyudmila S. Baryshnikova

**Technical editing and make-up**  
Svetlana N. Naimushina

**Founder and publisher:**  
Federal state-funded educational  
institution of the higher education  
«Ural State University of Railway Transport»  
(FGBOU VO URGUPS)

**Address of the founder, publisher and edition:**  
66 Kolmogorov Street,  
620034, Ekaterinburg

**Telephone:** +7 (343) 221-25-60.  
**Web-site:** [www.usurt.ru/vestnik](http://www.usurt.ru/vestnik);  
**e-mail:** [vestnik@usurt.ru](mailto:vestnik@usurt.ru).

DOI:10.20291/2079-0392

Certificate of registration of mass media  
by the Federal Service for Supervision  
in the sphere of communications,  
information technology and mass communications  
(Roskomnadzor) PI № FS77–38188  
of November 30, 2009.

Subscription reference number  
of the issue in the All Russia Catalogue  
«Pressa Rossii» – 70070

Printed in the Publishing house  
of the Ural State University of  
Railway Transport  
66 Kolmogorov Street,  
620034, Ekaterinburg.

Passed for printing 30.03.2021  
Data of issue 22.04.2021.  
The price 353 rub. 46 kop.

Circulation 300. The 1<sup>st</sup> pr.: 1–60.  
Format 70×100/16.  
Order 9

The Ural State University  
of Railway Transport  
(FGBOU VO URGUPS), 2021 ©

## МЕЖДУНАРОДНЫЙ РЕДАКЦИОННЫЙ СОВЕТ

**Кейт Бурнхам**, профессор, Университет г. Ковентри, факультет машиностроения и вычислительной техники, Великобритания

**Петер Копачек**, заслуженный профессор, Венский технологический университет, Институт механики и мехатроники, Вена, Австрия

**Владимир Цыганов**, д-р техн. наук, профессор, Институт проблем управления Российской академии наук, Москва, Россия

**Сергей Герман-Галкин**, д-р техн. наук, профессор, Морская академия, Институт судовой автоматизации и электротехники, Щецин, Польша

**Клаус Беккер**, профессор, Университет прикладных наук г. Кельна, Институт автомобильной техники, лаборатория NVH, Германия

**Василий Сай**, д-р техн. наук, профессор, Уральский государственный университет путей сообщения, Екатеринбург, Россия

## РЕДКОЛЛЕГИЯ

**Аккерман Геннадий Львович**, д-р техн. наук, профессор, УрГУПС, Екатеринбург

**Ашпиз Евгений Самуилович**, д-р техн. наук, профессор, РУТ, Москва

**Булаев Владимир Григорьевич**, д-р техн. наук, профессор, УрГУПС, Екатеринбург

**Воробьев Александр Алексеевич**, д-р техн. наук, профессор, МГУПС, Москва

**Воскресенская Тамара Петровна**, д-р техн. наук, профессор, СибГИУ, Новокузнецк

**Корнилов Сергей Николаевич**, д-р техн. наук, профессор, МГТУ, Магнитогорск

**Кузнецов Константин Борисович**, д-р техн. наук, профессор, УрГУПС, Екатеринбург

**Курганов Валерий Максимович**, д-р техн. наук, ТГУ, г. Тверь

**Лапшин Василий Федорович**, д-р техн. наук, профессор, УрГУПС, Екатеринбург

**Сапожников Валерий Владимирович**, д-р техн. наук, профессор, ПГУПС, Санкт-Петербург

**Сизый Сергей Викторович**, д-р техн. наук, профессор, УрФУ, Екатеринбург

**Тимофеева Галина Адольфовна**, д-р физ.-мат. наук, профессор, УрГУПС, Екатеринбург

**Щурин Константин Владимирович**, д-р техн. наук, профессор, ОГУ, Оренбург

## INTERNATIONAL EDITORIAL BOARD

**Keith Burnham**, professor, Coventry University, Faculty of Engineering and Computing, Great Britain

**Peter Kopachek**, Professor Emeritus, TU Wien, Institute for Mechanics and Mechatronics, Vienna, Austria

**Vladimir Tsyganov**, DSc, professor, Russian Academy of Sciences, Institute of Control Sciences, Moscow, Russia

**Sergey German-Galkin**, DSc, professor Maritime Academy, Institute of naval automation and electric engineering, Szczecin, Poland

**Klaus Becker**, professor, Cologne University of Applied Sciences, Institute of Automotive Engineering, NVH Laboratory, Germany

**Vasily Say**, DSc, professor, The Ural State University of Railway Transport, Ekaterinburg, Russia

## EDITORIAL BOARD

**Akkerman Gennadiy Lvovich**, DSc, Professor, Ural State University of Railway Transport, Yekaterinburg

**Ashpiz Evgeniy Samuilovich**, DSc, Professor, Russian University of Transport, Moscow

**Bulaev Vladimir Grigorievich**, DSc, Professor, Ural State University of Railway Transport, Yekaterinburg

**Vorobjev Alexander Alexeevich**, DSc, professor, Moscow State University of Railway Transport, Moscow

**Voskresenskaya Tamara Petrovna**, DSc, professor, Siberian State Industrial University, Novokuznetsk

**Kornilov Sergey Nikolaevich**, DSc, professor, Magnitogorsk State Technical University, Magnitogorsk

**Kuznetsov Konstantin Borisovich**, DSc, professor, The Ural State University of Railway Transport, Ekaterinburg

**Kurganov Valeriy Maximovich**, DSc, Professor, Tver State University, Tver city

**Lapshin Vasily Fedorovich**, DSc, Professor, Ural State University of Railway Transport, Yekaterinburg

**Sapozhnikov Valery Vladimirovich**, DSc, professor, Petersburg State University of Railway Transport, Saint-Petersburg

**Sizyi Sergey Viktorovich**, D. Sc. in engineering, professor, Ural Federal University, Ekaterinburg

**Timofeeva Galina Adolfovna**, DSc, professor, The Ural State University of Railway Transport, Ekaterinburg

**Shchurin Konstantin Vladimirovich**, DSc, professor, Orenburg State University, Orenburg

# Содержание

## Математические модели технологических процессов

- 4 А. В. Елисеев. Особенности системных представлений о динамике механических колебательных структур при несимметричных связях
- 17 В. Д. Павлов. Математические модели резонансных и антирезонансных процессов

## Механика машин и роботов

- 28 А. А. Воробьёв, Р. С. Сметанин. Методика анализа надежности оборудования электровозов 2ЭС10

## Управление в технических системах

- 40 И. С. Цихалевский, А. Г. Русаков. Ключевой показатель нового бизнес-процесса организации эксплуатации и ремонта как инструмент контроля технического состояния локомотивов
- 46 А. Л. Каштанов, А. А. Комяков, М. М. Никифоров. Прогнозирование и верификация ключевых показателей энергетической эффективности железнодорожного транспорта
- 55 У. Д. Ниязгулов, Ф. Х. Ниязгулов, А. В. Кривоус. Исследование точности определения геометрии железнодорожного пути по цифровым снимкам
- 62 А. П. Семенов. Организация управления жизненным циклом отечественных локомотивов

## Организация и логистика

- 72 Н. А. Александрова, Н. Ф. Махт. Корпоративные мероприятия как инструмент нематериальной мотивации труда работников локомотивных бригад

## Инженерная защита окружающей среды

- 82 С. П. Вакуленко, А. В. Колин, Д. Ю. Роменский, К. А. Калинин. Экологический аспект организации грузового обхода в створе коридора «Центр – Юг»

## Безопасность жизнедеятельности

- 93 А. А. Косяков. Молниезащита расположенного на склоне объекта

## Аспирантская тетрадь

- 104 М. И. Шестаков. Расчет тональных рельсовых цепей с учетом сложной формы сигнала

# Contents

## Mathematic models of technological processes

- 4 A. V. Eliseev. Features of the system concepts of the dynamics of mechanical vibrational structures under asymmetric connections
- 17 V. D. Pavlov. Mathematical models of resonance and antiresonance processes

## Mechanics of machines and robots

- 28 A. A. Vorobyov, R. S. Smetanin. Methodology for analyzing reliability of the equipment of electric locomotives 2ES10

## Control in engineering systems

- 40 I. S. Tsikhalevsky, A. G. Rusakov. A key indicator of the new business process of the organization of operation and repair as a tool for monitoring the technical condition of locomotives
- 46 A. L. Kashtanov, A. A. Komyakov, M. M. Nikiforov. Forecasting and verification of railway transport energy efficiency key indicators
- 55 U. D. Niyazgulov, F. H. Niyazgulov, A. V. Krivous. Investigation of the accuracy of determining the geometry of the railway track using digital images
- 62 A. P. Semenov. Organization of life cycle management of indigenous russian locomotives

## Organization and logistics

- 72 N. A. Alexandrova, N. F. Makht. Corporate events as a tool for non-financial motivation of locomotive crew workers

## Environmental engineering protection

- 82 S. P. Vakulenko, A. V. Kolin, D. Yu. Romensky, K. A. Kalinin. Environmental aspect of the organization of cargo bypass in the alignment of the corridor «Center – South»

## Health and safety

- 93 A. A. Kosyakov. Lightning protection of the object located on the slope

## Research of young scientists

- 104 M. I. Shestakov. Calculation of tonal rail circuits with consideration of a complicated waveform

# Математические модели технологических процессов

УДК 519.71, 681.5, 303.732.4, 62.752; 621.534; 629.4.015

А. В. Елисеев

## Особенности системных представлений о динамике механических колебательных структур при несимметричных связях

UDC 519.71, 681.5, 303.732.4, 62.752; 621.534; 629.4.015

A. V. Eliseev

## Features of the system concepts of the dynamics of mechanical vibrational structures under asymmetric connections

### Аннотация

Работа посвящена новому подходу в формировании методологического базиса системного анализа в приложении к задачам динамики механических колебательных систем с учетом сил вязкого трения.

Рассматривается механическая колебательная система с двумя массо-инерционными элементами, соединенными с опорными поверхностями и между собой упруго-диссипативными элементами. Развивается метод оценки свободных движений механической колебательной системы на основе характеристик, выраженных через параметры рычажных связей между парциальными блоками в форме передаточного отношения. Математические модели строятся на основе формализма Лагранжа, алгебраических методов и теории функций комплексной переменной. Предложен матричный метод построения частотных функций и функций демпфирования для механических колебательных систем с двумя степенями свободы на основе соотношения потенциальной и кинетической энергии системы с учетом сил вязкого трения. Для механической системы, в которой обнулена связь элементов с одной опорной поверхностью, проведен графоаналитический анализ экстремальных свойств соответствующих частотных функций и функций демпфирования. Предложен топологический критерий классификации семейств рассматриваемых графиков частотных функций и функций демпфирования, сопоставленных колебательным системам.

**Ключевые слова:** механическая колебательная система, частотная функция, функция демпфирования, динамические связи, связность движений, рычажные связи, экстремальные свойства, вязкое трение.

DOI: 10.20291/2079-0392-2021-1-4-16

### Abstract

The paper is devoted to a new approach to the formation of the methodological basis of system analysis in application to problems of the dynamics of mechanical oscillatory systems taking into account the forces of viscous friction.

A mechanical oscillatory system with two mass-inertia elements connected to the support surfaces and to each other by elastic-dissipative elements is considered. A method for estimating the free movements of a mechanical oscillatory system is developed based on the characteristics expressed in terms of the parameters of the lever connections between the partial blocks in the form of a gear ratio. Mathematical models are built on the basis of Lagrange formalism, algebraic methods, and the theory of functions of a complex variable. A matrix method is proposed for constructing frequency functions and damping functions for mechanical oscillatory systems with two degrees of freedom based on the ratio of the potential and kinetic energy of the system, taking into account the forces of viscous friction. For a mechanical system in which the connection of elements with a single reference surface is reset, a graphic analytic analysis of the extreme properties of the corresponding frequency functions and damping functions is performed. A topological approach is proposed.

**Keywords:** mechanical oscillatory system, frequency function, damping function, dynamic connections, connectivity of movements, lever connections, extreme properties, viscous friction.

DOI: 10.20291/2079-0392-2021-1-4-16

Статья рекомендована к опубликованию канд. техн. наук, доцентом Уральского государственного университета путей сообщения В. С. Тарасяном. E-mail: Vladimir@usurt.ru.

Андрей Владимирович Елисеев, канд. техн. наук, доцент кафедры «Математика» Иркутского государственного университета путей сообщения; г. Иркутск, Россия. E-mail: eavsh@ya.ru. ORCID 0000-0003-0222-2507.

The article is recommended for publishing by Cand. of tech. science, Associate Professor, Ural state university of railway transport V. S. Tarasyan. E-mail: Vladimir@usurt.ru.

Andrey Vladimirovich Eliseev, Candidate of Technical Science, Associate Professor of the Chair of Mathematics, Irkutsk State University of Railway Transport; Irkutsk, Russia. E-mail: eavsh@ya.ru. ORCID 0000-0003-0222-2507.

Оценка динамических свойств широкого класса технических объектов, работающих в условиях интенсивных вибрационных нагрузок, проводится на основе расчетных схем в виде механических колебательных систем, что нашло отражение в работах [1–9]. В свою очередь, для определения свойств механических колебательных систем могут быть применены подходы, основанные на экстремальных особенностях отношения потенциальной и кинетической энергии [10,11]. Методы, использующие энергетические отношения, получили развитие в использовании частотной функции аргумента коэффициента связности в экстремальных значениях, достигающей квадратов собственных частот колебаний [12–15].

Вместе с тем методы построения и использования частотной функции для оценки динамических свойств механических колебательных систем требуют детализации представлений в зависимости от степени влияния вязкого трения на характер движения механической системы.

Статья посвящена развитию метода оценки свойств механических колебательных систем на основе частотной функции и функции демпфирования, учитывающей силы вязкого трения.

Многие технические объекты транспортного и технологического назначения, работающие в условиях интенсивных вибрационных взаимодействий, в решении задач динамики рассматриваются в первом приближении как механические колебательные системы с сосредоточенными параметрами и обладающие линейными свойствами. В обобщенном виде расчетная схема предполагается состоящей из массо-инерционных элементов и упругих элементов. В определенных случаях учитывается действие диссипативных элементов. Рабочие органы технических средств чаще всего представляют из себя структурные элементы, соединенные между собой кинематическими парами. Поэтому в упрощенных расчетных схемах рассматриваются не просто массы рабочего органа, но и динамические эффекты, возникающие при взаимодействиях с другими элементами конструкции, обладающими массами. В силу таких представлений вводится понятие «массо-инерционный элемент». Аналогичные представления относятся и к упругому элементу, который, в свою очередь, также может состоять из нескольких соединенных между собой элементов. Совокупная упругость такого образования определяется коэффициентом жесткости или упругости.

Рассматривается механическая система с двумя степенями свободы (рис. 1), содержащая массоинерционные элементы  $m_1$  и  $m_2$ , упругие элементы с жесткостями  $k_1$ ,  $k_2$ ,  $k_0$ . Силы вязкого трения в системе представлены коэффициентами  $b_1$ ,  $b_2$ ,  $b_0$ .

В качестве обобщенных координат  $y_1$ ,  $y_2$  выбраны смещения массо-инерционных элементов  $m_1$ ,  $m_2$ , совершающих малые колебания относительно положения статического равновесия. Кинетическая энергия  $T$ , потенциальная энергия  $\Pi$  и функция рассеяния  $F$  имеют вид соответственно:

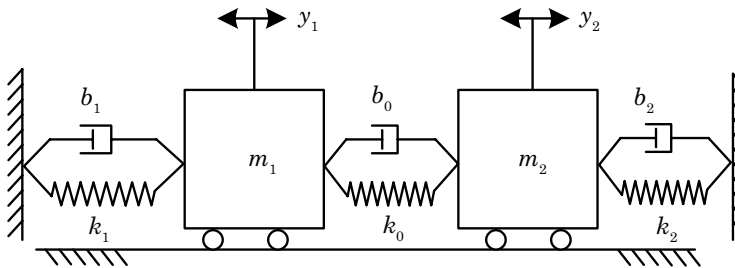


Рис. 1. Механическая колебательная система с учетом вязкого трения

$$T = \frac{1}{2} m_1 \dot{y}_1^2 + \frac{1}{2} m_2 \dot{y}_2^2, \quad (1)$$

$$\Pi = \frac{1}{2} k_1 y_1^2 + \frac{1}{2} k_2 y_2^2 + \frac{1}{2} k_0 (y_2 - y_1)^2, \quad (2)$$

$$F = \frac{1}{2} b_1 \dot{y}_1^2 + \frac{1}{2} b_0 (\dot{y}_2 - \dot{y}_1)^2 + \frac{1}{2} b_2 \dot{y}_2^2. \quad (3)$$

Система уравнений Лагранжа второго рода имеет вид:

$$\begin{cases} \frac{d}{dt} \frac{\partial T}{\partial \dot{y}_1} + \frac{\partial \Pi}{\partial y_1} + \frac{\partial F}{\partial \dot{y}_1} = 0; \\ \frac{d}{dt} \frac{\partial T}{\partial \dot{y}_2} + \frac{\partial \Pi}{\partial y_2} + \frac{\partial F}{\partial \dot{y}_2} = 0. \end{cases} \quad (4)$$

После подстановки выражений  $T$ ,  $\Pi$ ,  $F$  система дифференциальных уравнений (4) принимает вид:

$$\begin{cases} m_1 \ddot{y}_1 + (b_0 + b_1) \dot{y}_1 - b_0 \dot{y}_2 + (k_0 + k_1) y_1 - k_0 y_2 = 0; \\ m_2 \ddot{y}_2 + (b_0 + b_2) \dot{y}_2 - b_0 \dot{y}_1 + (k_0 + k_2) y_2 - k_0 y_1 = 0. \end{cases} \quad (5)$$

Формы движений представленной системы (5) в общем случае определяется собственными числами характеристического уравнения с учетом их кратности. Рассматривается случай простых корней. Движение системы (5) зависит от начальных условий.

Для произвольного комплексного параметра  $p = \sigma + j\omega$  рассматривается движение в виде:

$$\vec{y} = \vec{Y} e^{pt}, \quad (6)$$

где  $\vec{y} = \begin{bmatrix} y_1 \\ y_2 \end{bmatrix}$  – вектор-функция переменной  $t$ ;  $\vec{Y} = \begin{bmatrix} Y_1 \\ Y_2 \end{bmatrix}$  – числовой вектор, определяющий начальные условия. Для характеристики движения (6) вводится коэффициент связности  $\alpha$ , удовлетворяющий условию  $Y_2 = \alpha Y_1$ , которое отображает рычажное свойство связи в форме передаточного отношения.

Задача заключается в построении и оценке экстремальных свойств функциональных характеристик аргумента коэффициента связности, в отображении особенностей свободных движений системы с учетом сил вязкого трения.

Система (5) с учетом представления (6) имеет вид:

$$\begin{bmatrix} m_1 p^2 + (b_0 + b_1)p + k_0 + k_1 & -b_0 p - k_0 \\ -b_0 p - k_0 & m_2 p^2 + (b_0 + b_2)p + k_0 + k_2 \end{bmatrix} \begin{bmatrix} Y_1 \\ Y_2 \end{bmatrix} = 0. \quad (7)$$

Введем обозначения:

$$A = \begin{bmatrix} m_1 & 0 \\ 0 & m_2 \end{bmatrix}, B = \begin{bmatrix} b_0 + b_1 & -b_0 \\ -b_0 & b_0 + b_2 \end{bmatrix}, C = \begin{bmatrix} k_0 + k_1 & -k_0 \\ -k_0 & k_0 + k_2 \end{bmatrix}. \quad (8)$$

С учетом (8) соотношение (5) принимает вид матричного соотношения:

$$(p^2 A + pB + C)\vec{Y} = 0. \quad (9)$$

Умножим скалярно левую и правую части равенства (9) на вектор  $\vec{Y}$ :

$$p^2 \langle A\vec{Y}, \vec{Y} \rangle + p \langle B\vec{Y}, \vec{Y} \rangle + \langle C\vec{Y}, \vec{Y} \rangle = 0. \quad (10)$$

С помощью подстановки  $p = \sigma + j\omega$  приведем (10) к виду:

$$(\sigma^2 - \omega^2 + 2j\sigma\omega) \langle A\vec{Y}, \vec{Y} \rangle + (\sigma + j\omega) \langle B\vec{Y}, \vec{Y} \rangle + \langle C\vec{Y}, \vec{Y} \rangle = 0. \quad (11)$$

Пусть для координат вектора  $\vec{Y}$  выполнено соотношение:

$$Y_2 = \alpha Y_1, \quad (12)$$

где  $\alpha$  – коэффициент формы связности. В этом случае вектор  $\vec{Y}$  может быть представлен в виде:

$$\vec{Y} = Y_1 \vec{\alpha}, \quad (13)$$

где  $\vec{\alpha} = \begin{bmatrix} 1 \\ \alpha \end{bmatrix}$  – вектор определяемый коэффициентом связности  $\alpha$ . После подстановки (13) выражение (11) принимает вид:

$$(\sigma^2 - \omega^2 + 2j\sigma\omega)A_\alpha + (\sigma + j\omega)B_\alpha + C_\alpha = 0, \quad (14)$$

где  $A_\alpha = \langle A\vec{\alpha}, \vec{\alpha} \rangle$ ,  $B_\alpha = \langle B\vec{\alpha}, \vec{\alpha} \rangle$ ,  $C_\alpha = \langle C\vec{\alpha}, \vec{\alpha} \rangle$  – вещественные функции коэффициента формы связности  $\alpha$ . Уравнение (14) может быть представлено эквивалентной системой нелинейных уравнений:

$$\begin{cases} \omega^2 A_\alpha = \sigma^2 A_\alpha + \sigma B_\alpha + C_\alpha; \\ 2\sigma\omega A_\alpha + \omega B_\alpha = 0, \end{cases} \quad (15)$$

где  $\omega(\alpha)$  называется частотной функцией;  $\sigma(\alpha)$  – функцией демпфирования.

Дискриминант  $B_\alpha^2 - 4A_\alpha C_\alpha$  уравнения  $\sigma^2 A_\alpha + \sigma B_\alpha + C_\alpha = 0$  отражает особенности сил вязкого трения.

*Учет сил вязкого трения.* При условии малости сил вязкого трения

$$B_\alpha^2 < 4A_\alpha C_\alpha \quad (16)$$

решение (15) определяет частотную функцию  $\omega(\alpha)$  и функцию демпфирования  $\sigma(\alpha)$ :

$$\begin{cases} \omega^2 = \frac{C_\alpha}{A_\alpha} - \left( \frac{B_\alpha}{2A_\alpha} \right)^2; \\ \sigma = -\frac{B_\alpha}{2A_\alpha}. \end{cases} \quad (17)$$



Необходимо, что при (16) выполнено равенство:

$$\omega^2 + \sigma^2 = \frac{C_\alpha}{A_\alpha}. \quad (18)$$

При условии больших сил вязкого трения

$$B_\alpha^2 > 4A_\alpha C_\alpha \quad (19)$$

решение (15) определяет частотную функцию  $\omega(\alpha)$ , тождественно равную нулю, и две компоненты функции демпфирования  $\sigma(\alpha)$ :

$$\omega = 0, \quad (20)$$

$$\sigma_1(\alpha) = -\frac{B_\alpha}{2A_\alpha} - \sqrt{\left(\frac{B_\alpha}{2A_\alpha}\right)^2 - \frac{C_\alpha}{A_\alpha}}, \quad \sigma_2(\alpha) = -\frac{B_\alpha}{2A_\alpha} + \sqrt{\left(\frac{B_\alpha}{2A_\alpha}\right)^2 - \frac{C_\alpha}{A_\alpha}}. \quad (21)$$

Компоненты  $\sigma_1(\alpha)$ ,  $\sigma_2(\alpha)$  функции демпфирования удовлетворяют условиям:

$$\sigma_1(\alpha) + \sigma_2(\alpha) = -\frac{B_\alpha}{A_\alpha}, \quad \sigma_1(\alpha) \cdot \sigma_2(\alpha) = \frac{C_\alpha}{A_\alpha}. \quad (22)$$

Условие  $B_\alpha^2 - 4A_\alpha C_\alpha = 0$  требует отдельного анализа.

Частотная функция и функция демпфирования могут быть детализированы для конкретных механических колебательных систем.

Далее рассматриваются варианты механической системы, представленной на рис. 1. Граничные параметры между малыми и большими силами вязкого трения определяются уравнением:

$$B_\alpha^2 = 4A_\alpha C_\alpha, \quad (23)$$

где

$$A_\alpha = m_1 + m_2 \alpha^2, \quad (24)$$

$$B_\alpha = (b_0 + b_1) \alpha^2 - 2\alpha b_0 + b_0 + b_1, \quad (25)$$

$$C_\alpha = (k_0 + k_1) \alpha^2 - 2\alpha k_0 + k_0 + k_1. \quad (26)$$

Условие малых сил вязкого трения имеет неявную форму:

$$((b_0 + b_1) \alpha^2 - 2\alpha b_0 + b_0 + b_1)^2 < 4(m_1 + m_2 \alpha^2)((k_0 + k_1) \alpha^2 - 2\alpha k_0 + k_0 + k_1). \quad (27)$$

В этом случае частотная функция  $\omega^2(\alpha)$  и функция демпфирования  $\sigma(\alpha)$ :

$$\begin{cases} \omega^2(\alpha) = \frac{(k_0 + k_2) \alpha^2 - 2\alpha k_0 + k_0 + k_1}{m_1 + m_2 \alpha^2} - \left( \frac{1}{2} \frac{(b_0 + b_2) \alpha^2 - 2\alpha b_0 + b_0 + b_1}{m_1 + m_2 \alpha^2} \right)^2 \\ \sigma(\alpha) = -\frac{1}{2} \frac{(b_0 + b_2) \alpha^2 - 2\alpha b_0 + b_0 + b_1}{m_1 + m_2 \alpha^2} \end{cases}. \quad (28)$$

Условия больших сил вязкого трения имеют форму:

$$((b_0 + b_1)\alpha^2 - 2\alpha b_0 + b_0 + b_1)^2 > 4(m_1 + m_2\alpha^2)((k_0 + k_1)\alpha^2 - 2\alpha k_0 + k_0 + k_1). \quad (29)$$

При условиях (29) функции  $\omega^2(\alpha)$  и  $\sigma(\alpha)$  имеют вид:

$$\left\{ \begin{array}{l} \omega^2 = 0; \\ \sigma_1(\alpha) = -\frac{1}{2} \frac{(b_0 + b_2)\alpha^2 - 2\alpha b_0 + b_0 + b_1}{m_1 + m_2\alpha^2} - \\ - \sqrt{\left( \frac{1}{2} \frac{(b_0 + b_2)\alpha^2 - 2\alpha b_0 + b_0 + b_1}{m_1 + m_2\alpha^2} \right)^2 - \frac{(k_0 + k_2)\alpha^2 - 2\alpha k_0 + k_0 + k_1}{m_1 + m_2\alpha^2}}, \\ \sigma_2(\alpha) = -\frac{1}{2} \frac{(b_0 + b_2)\alpha^2 - 2\alpha b_0 + b_0 + b_1}{m_1 + m_2\alpha^2} + \\ + \sqrt{\left( \frac{1}{2} \frac{(b_0 + b_2)\alpha^2 - 2\alpha b_0 + b_0 + b_1}{m_1 + m_2\alpha^2} \right)^2 - \frac{(k_0 + k_2)\alpha^2 - 2\alpha k_0 + k_0 + k_1}{m_1 + m_2\alpha^2}}. \end{array} \right. \quad (30)$$

Выражения отражают затухание при отсутствии колебаний.

Обнуление связи инерционного элемента с одной из опорных поверхностей может быть отражено условиями  $b_2 = 0$ ,  $k_2 = 0$ . Полагается, что  $b_1 = b_0$ ,  $k_1 = k_0 = k$ ,  $m_1 = m_2 = m$ . Принципиальная схема представлена на рис. 2.

Система дифференциальных уравнений (5) принимает вид:

$$\left\{ \begin{array}{l} m\ddot{y}_1 + 2b\dot{y}_1 - b\dot{y}_2 + 2ky_1 - ky_2 = 0; \\ m\ddot{y}_2 + b\dot{y}_2 - b\dot{y}_1 + ky_2 - ky_1 = 0. \end{array} \right. \quad (31)$$

Величины  $A_\alpha$ ,  $B_\alpha$ ,  $C_\alpha$  имеют вид:

$$A_\alpha = m(1 + \alpha^2), \quad (32)$$

$$B_\alpha = b(\alpha^2 - 2\alpha + 2), \quad (33)$$

$$C_\alpha = k(\alpha^2 - 2\alpha + 2). \quad (34)$$

Условие малости сил трения могут быть отражено неравенством

$$\left( \frac{b(\alpha^2 - 2\alpha + 2)}{2m(1 + \alpha^2)} \right)^2 \leq \frac{k(\alpha^2 - 2\alpha + 2)}{m(1 + \alpha^2)}. \quad (35)$$

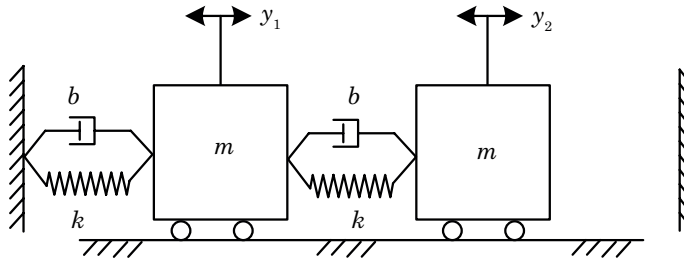


Рис. 2. Механическая система, не соединенная с одной из опорных поверхностей

Преобразуем неравенство (35) к виду

$$\gamma_0 \leq M(\alpha), \quad (36)$$

где  $M(\alpha) = \frac{m(1+\alpha^2)}{(\alpha^2-2\alpha+2)}$  – параметризующая функция;  $\gamma_0 = \frac{b^2}{4k}$  характеризует упруго-диссипативные свойства механической системы.

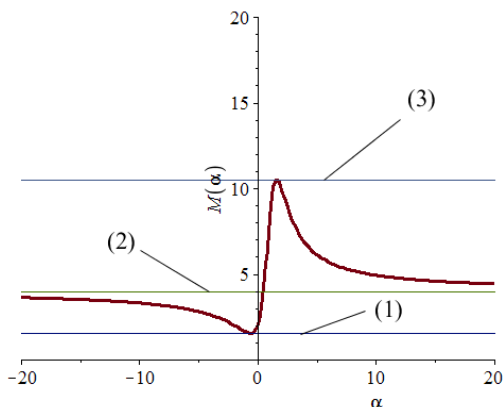


Рис. 3. Параметризующая функция

Сравнение графика параметризующей функции  $M(\alpha)$  с графиком постоянной величины  $\gamma_0$  определяет коэффициенты  $\alpha$  для различных сил трения.

На рис. 3 приведен график параметризующей функции  $M(\alpha)$ . Функция  $M(\alpha)$  имеет три критических значения: глобальный минимум  $M_1$ , глобальный максимум  $M_2$  и горизонтальную асимптоту  $m$ , т.к.  $M(\alpha) \rightarrow m$  при  $\alpha \rightarrow \infty$ .

Изменение значения  $\gamma_0$  в интервалах  $(0, M_1)$ ,  $(M_1, m)$ ,  $(m, M_2)$ ,  $(M_2, \infty)$  определяет коэффициенты  $\alpha$ , отражающие особенности сил трения. В области малых сил трения частотная функция и функция демпфирования имеют вид

$$\begin{cases} \omega^2(\alpha) = \frac{k(\alpha^2 - 2\alpha + 2)}{m(1 + \alpha^2)} - \left( \frac{1}{2} \frac{b(\alpha^2 - 2\alpha + 2)}{m(1 + \alpha^2)} \right)^2; \\ \sigma(\alpha) = -\frac{1}{2} \frac{b(\alpha^2 - 2\alpha + 2)}{m(1 + \alpha^2)}. \end{cases} \quad (37)$$

При больших силах трения частотная функция обращается в ноль, а функция демпфирования имеет два значения:

$$\begin{cases} \omega^2 = 0; \\ \sigma_1(\alpha) = -\frac{1}{2} \frac{b(\alpha^2 - 2\alpha + 2)}{m(1 + \alpha^2)} - \sqrt{\left( \frac{1}{2} \frac{b(\alpha^2 - 2\alpha + 2)}{m(1 + \alpha^2)} \right)^2 - \frac{k(\alpha^2 - 2\alpha + 2)}{m(1 + \alpha^2)}}; \\ \sigma_2(\alpha) = -\frac{1}{2} \frac{b(\alpha^2 - 2\alpha + 2)}{m(1 + \alpha^2)} + \sqrt{\left( \frac{1}{2} \frac{b(\alpha^2 - 2\alpha + 2)}{m(1 + \alpha^2)} \right)^2 - \frac{k(\alpha^2 - 2\alpha + 2)}{m(1 + \alpha^2)}}. \end{cases} \quad (38)$$

Экстремальные свойства частотной функции и функции демпфирования определяют особенности системы с учетом сил вязкого трения.

Рассматривается семейство систем с параметрами  $m = 4$  кг,  $k = 3$  Н/м, коэффициент  $b$  изменяется от 0 до  $\infty$ .

1. Пусть  $0 < \gamma_0 < M_1$ . Для  $-\infty < \alpha < \infty$  выполнены условия малости сил трения. На рис. 4 и 5 представлены функции  $\omega^2(\alpha)$ ,  $\sigma(\alpha)$  с параметрами  $b = 1$  кг/с,  $\gamma_0 \approx 0,1$  кг. Корни уравнения

$$|Ap^2 + Bp + C| = 0 \quad (39)$$

составляют  $p_i = \omega_i + j\sigma_i$ ,  $i = 1 \dots 4$  где  $\omega_1 \approx 0,53$ ,  $\omega_2 \approx 1,36$ ,  $\omega_3 \approx -1,36$ ,  $\omega_4 \approx -0,53$ ,  $\sigma_1 \approx -0,05$ ,  $\sigma_2 \approx -0,33$ ,  $\sigma_3 \approx -0,33$ ,  $\sigma_4 \approx -0,05$ . На рис. 4 экстремальные значения функции  $\omega^2(\alpha)$  составляют  $\omega_1^2 \approx 0,28$  и  $\omega_2^2 \approx 1,86$ . На рис. 5 экстремальные значения  $\sigma(\alpha)$  составляют  $\sigma_1 \approx -0,05$  и  $\sigma_2 \approx -0,33$ . Соответствующие экстремальные значения достигаются в точках  $\alpha_1^* = -0,62$  и  $\alpha_2^* = 1,62$ .

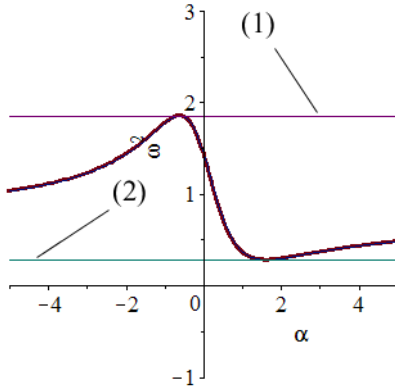


Рис. 4. Частотная функция.  
(1), (2) – экстремальные уровни

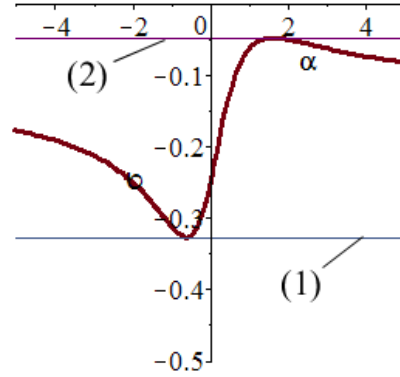


Рис. 5. Функция демпфирования.  
(1), (2) – экстремальные уровни

**2.** Пусть  $M_1 < \gamma_0 < m_2$ ,  $b = 5$  кг/с,  $\gamma_0 \approx 2,08$  кг. Условие малости сил вязкого трения выполнено на множестве  $(-\infty, \alpha_1) \cup (\alpha_2, \infty)$ , где  $\alpha_i$  корни  $M(\alpha) = \gamma_0$ . На рис. 6 и 7 представлены графики  $\omega^2(\alpha)$ ,  $\sigma(\alpha)$ . Корни (39) имеют соответствующие вещественные  $\sigma_1 \approx -0,24$ ,  $\sigma_2 \approx -0,79$ ,  $\sigma_3 \approx -2,48$ ,  $\sigma_4 \approx -0,24$  и мнимые части  $\omega_1 \approx 0,48$ ,  $\omega_2 \approx 0$ ,  $\omega_3 \approx 0$ ,  $\omega_4 \approx -0,48$ . На рис. 6 показано, что локальный экстремум  $\omega^2(\alpha)$  составляет  $\omega_1^2 \approx 0,23$ . На интервале  $(\alpha_1, \alpha_2)$   $\omega^2(\alpha) = 0$ . Функция  $\sigma(\alpha)$  в интервале  $(\alpha_1, \alpha_2)$  двузначна, имеет экстремальные значения  $\sigma_2 \approx -2,48$  и  $\sigma_2 \approx -0,79$  в точке  $\alpha_2^*$ . В области  $(-\infty, \alpha_1) \cup (\alpha_2, \infty)$  функция  $\sigma(\alpha)$  однозначна и имеет один локальный экстремум  $\sigma_4 \approx -0,24$ .

Таким образом, экстремальные свойства частотной функции и функции демпфирования отражают особенности учета сил трения.

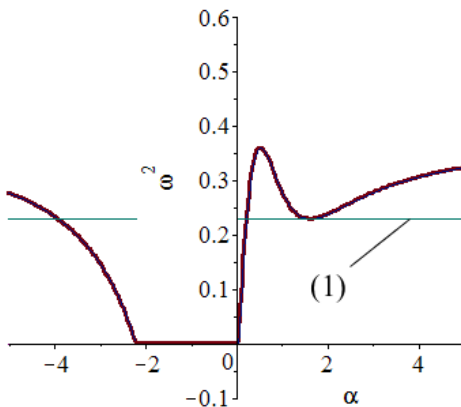


Рис. 6. Частотная функция.  
(1) – экстремальный уровень

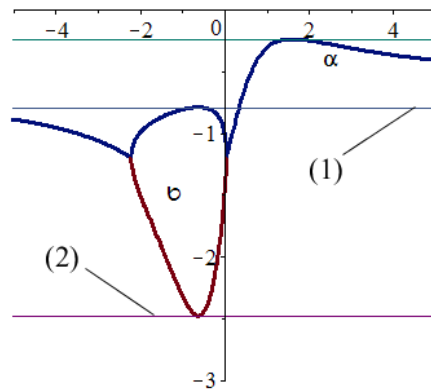


Рис. 7. Функция демпфирования.  
(1), (2), (3) – экстремальные уровни

3. Пусть  $\gamma_0 = m_2$ ,  $b \approx 6,93$  кг/с. Корни (39) имеют вещественные  $\sigma_1 \approx -0,33$ ,  $\sigma_2 \approx -0,49$ ,  $\sigma_3 \approx -4,05$ ,  $\sigma_4 \approx -0,33$  и мнимые части  $\omega_1 \approx 0,42$ ,  $\omega_2 \approx 0$ ,  $\omega_3 \approx 0$ ,  $\omega_4 \approx -0,42$ . Интервал малых сил трения составляет  $(\alpha_1, \infty)$ , где  $\alpha_1 = 0,5$ . На рис. 8 показано, что функция  $\omega^2(\alpha) > 0$  на интервале  $(\alpha_1, \infty)$ . Локальный экстремум совпадает с квадратом мнимой частью корня (39) и равен  $\omega_4^2 \approx 0,18$ .

Функция  $\sigma(\alpha)$  на интервале  $(-\infty, \alpha_1)$  двузначна и достигает одновременно экстремальных значений  $\sigma_2 \approx -0,48$  и  $\sigma_3 \approx -4,05$  в точке  $\alpha_1^* = -0,62$ . Как показано на рис. 9, функция демпфирования в интервале  $(\alpha_2, \infty)$  однозначна и имеет один локальный экстремум  $\sigma_1 \approx -0,33$  в точке  $\alpha_2^*$ .

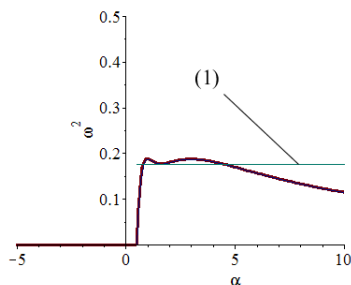


Рис. 8. Частотная функция.  
(1) – экстремальный уровень

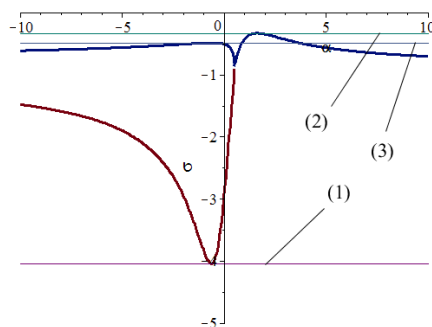


Рис. 9. Функция демпфирования.  
(1), (2), (3) – экстремальные уровни

4. Пусть  $m_2 < \gamma_0 < M_2$ . Для параметра  $b = 1$  кг/с ( $\gamma_0 \approx 8,33$  кг) корни (39) имеют вещественные  $\sigma_1 \approx -0,48$ ,  $\sigma_2 \approx -0,32$ ,  $\sigma_3 \approx -6,23$ ,  $\sigma_4 \approx -0,48$  и мнимые части  $\omega_1 \approx 0,24$ ,  $\omega_2 \approx 0$ ,  $\omega_3 \approx 0$ ,  $\omega_4 \approx -0,24$ . Интервал малых сил трения равен  $(\alpha_1, \alpha_2)$ , где  $\alpha_1 = 1,04$ ,  $\alpha_2 = 2,80$ . На рис. 10 функция  $\omega^2(\alpha) > 0$  на интервале  $(\alpha_1, \alpha_2)$ . Локальный экстремум  $\omega^2(\alpha)$  равен  $\omega_4^2 \approx 0,06$ .

На рис. 11 функция  $\sigma(\alpha)$  двузначна на интервале  $(-\infty, \alpha_1)$  и достигает экстремальных значений  $\sigma_1 \approx -0,32$  и  $\sigma_2 \approx -6,23$  в точке  $\alpha_1^*$ . На интервале  $(\alpha_2, \infty)$  функция  $\sigma(\alpha)$  также двузначна. На интервале  $(\alpha_1, \alpha_2)$  функция  $\sigma(\alpha)$  однозначна, единственный локальный экстремум  $\sigma_1 \approx -0,48$  в точке  $\alpha_2^*$ .

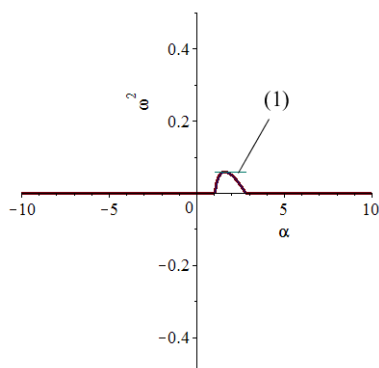


Рис. 10. Частотная функция.  
(1) – экстремальный уровень

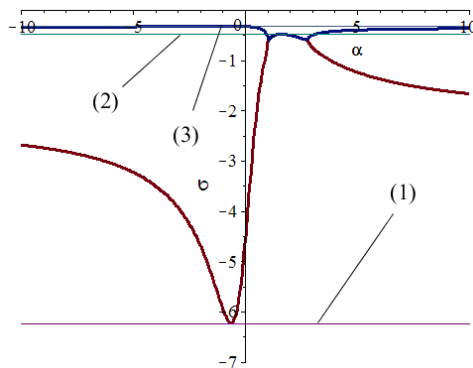


Рис. 11. Функция демпфирования.  
(1), (2), (3) – экстремальные уровни

5. Пусть  $M_2 < \gamma_0 < \infty$ . Для параметров  $b \approx 11,25$  кг/с,  $\gamma_0 \approx 10,55$  кг. Уравнение (39) имеет только вещественные корни  $\sigma_1 \approx -0,28$ ,  $\sigma_2 \approx -0,49$ ,  $\sigma_3 \approx -0,58$ ,  $\sigma_4 \approx -7,09$ .

Функции  $\omega^2(\alpha)$ ,  $\sigma(\alpha)$  представлены на рис. 12 и 13. Интервал выполнения условий малых сил трения вырождается в пустое множество. Частотная функция  $\omega^2(\alpha) = 0$  на всей числовой оси. Функция  $\sigma(\alpha)$  двузначная на всей числовой оси и имеет 4 локальных экстремума  $\sigma_1 \approx -0,28$ ,  $\sigma_2 \approx -0,49$ ,  $\sigma_3 \approx -0,58$ ,  $\sigma_4 \approx -7,09$  в точках  $\alpha_1^*$  и  $\alpha_2^*$ , представляя собой две непересекающихся линии.

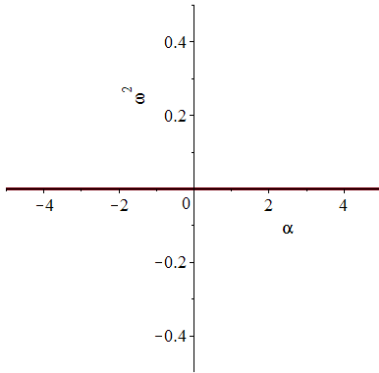


Рис. 12. Частотная функция

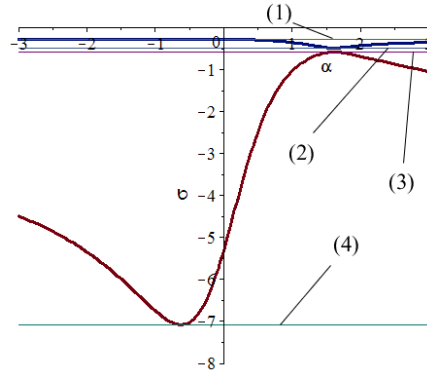


Рис. 13. Функция демпфирования.  
(1)–(4) – экстремальные уровни

Представленные пиктограммы на рис. 14, сопоставленные графикам функций на рис. 4–13, отражают ряд топологических особенности графиков частотной функции и функции демпфирования.

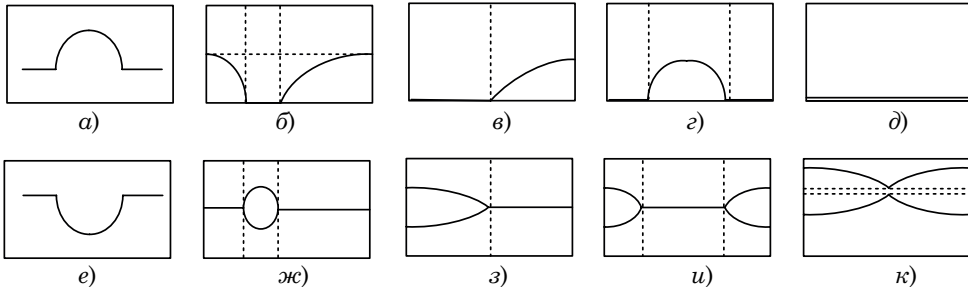


Рис. 14. Пиктограммы топологических особенностей графиков частотной функции и функции демпфирования

а–д – пиктограммы, сопоставленные графикам частотных функций, представленных на рис. 4, 6, 8, 10 и 12 соответственно; е–к – пиктограммы, сопоставленные функциям демпфирования на рис. 5, 7, 9, 11 и 13 соответственно

Таким образом, достигаемые экстремальные значения частотной функции и функции демпфирования связаны с динамическими характеристиками, представленными значениями корней характеристического уравнения. Вопрос существования экстремальных значений частотной функции и функции демпфирования, не совпадающих с квадратами частот собственных колебаний, требует дополнительного рассмотрения.

На основе представленного материала можно отметить следующие моменты.

1. Для механической колебательной системы с учетом сил вязкого трения разработан метод построения частотной функции и функции демпфирования, зависящих от коэффициента форм связности координат свободных движений.

2. Показано, что частотная функция и функции демпфирования аргумента коэффициента связности могут быть представлены в двух вариантах; если коэффициент связности удовлетворяет условию малых сил вязкого трения, то частотная функция принимает положительное значение, а функция демпфирования – одно отрицательное; если коэффициент связности удовлетворяет условию больших сил вязкого трения, то частотная функция принимает нулевое значение, а функция демпфирования – два отрицательных и может рассматриваться как двузначная функция.

3. Установлено, что совокупность экстремальных значений частотной функции и функции демпфирования отображает собственные характеристики механической колебательной системы с учетом сил вязкого трения.

4. Предложен метод построения возможных вариантов частотных функций и функций демпфирования для различных значений параметров системы на основе параметризующей функции, позволяющей определить области значений коэффициента форм связности, в которых выполняется условие малости сил вязкого трения. Предложен критерий классификации частотных функций и функций демпфирования в зависимости от топологических особенностей их графиков.

5. Матричный метод построения частотно-демпфирующей функции для системы двумя степенями свободы может быть распространен на механические колебательные системы, рассматриваемые в различных системах координат. ■

#### Литература

1. Clarence W. de Silva. *Vibration. Fundamentals and Practice*. Boca Raton, London, New York, Washington, D.C. : CRC Press, 2000. – 957 p.
2. Iwnicki Simon. *Handbook of railway vehicle dynamics*. CRC Press Taylor & Francis Group, 2006. – 527 p. ISBN 9780429129803.
3. Banakh L., Kempner M. *Vibrations of Mechanical Systems with Regular Structure*, Berlin ; Heidelberg: Springer, 2010. – 262 p. ISBN 978-3-642-03126-7.
4. Karnovsky I. A., Lebed E. *Theory of Vibration Protection*, Springer International Publishing, Switzerland, 2016. – 708 p. ISBN 978-3-319-28020-2.
5. Eliseev S. V., Eliseev A. V. *Theory of Oscillations. Structural Mathematical Modeling in Problems of Dynamics of Technical Objects*. Series: Studies in Systems, Decision and Control, Vol.252, Springer International Publishing, Cham, 2020. – 521 p. ISBN 978-3-030-31295-4.
6. Eliseev S. V., Lukyanov A. V., Reznik Yu. N., Khomenko A. P. *Dynamics of mechanical systems with additional ties*. Irkutsk : Publishing Irkutsk State University, 2006. 316 p. ISBN 5-02-028739-3.
7. Rocard Y. *General Dynamics of Vibrations*. Paris : Masson, 1949. – 458 p.
8. Елисеев А. В. *Динамика машин. Системные представления, структурные схемы и связи элементов : монография / А. В. Елисеев, Н. К. Кузнецов, А. О. Московских*. – М. : Инновационное машиностроение, 2019. – 381 с. ISBN 978-5-907104-28-0.
9. Елисеев С. В. *Прикладная теория колебаний в задачах динамики линейных механических систем / С. В. Елисеев, А. И. Артюнин*. – Новосибирск : Наука, 2016. – 459 с. ISBN 978-5-02-019232-4.
10. Стретт Дж. В. *Теория звука*. – М. : ГИТТЛ, 1955. – Т. 1. – 503 с.
11. Елисеев С. В. *Прикладной системный анализ и структурное математическое моделирование (динамика транспортных и технологических машин: связность движений, вибрационные взаимодействия, рычажные связи) : монография / С. В. Елисеев ; отв. ред. А. И. Артюнин*. – Иркутск : ИрГУПС, 2018. – 692 с. ISBN 978-5-98710-356-2.
12. Хоменко А. П. *Развитие энергетического метода определения частот свободных колебаний механических систем / А. П. Хоменко, С. В. Елисеев // Современные технологии. Системный анализ. Моделирование*. 2016. № 1 (49). С. 8–19. ISSN 1813-9108.
13. Елисеев С. В. *О возможностях использования дополнительных связей инерционного типа в задачах динамики технических систем / С. В. Елисеев, Н. К. Кузнецов,*

- Р. С. Большаков, Д. Х. Нгуен // Вестник Иркутского государственного технического университета. 2016. № 5 (112). С. 19–36. ISSN 1814-3520.
14. Елисеев С. В. Определение частот собственных колебаний механических колебательных систем: особенности использования частотной энергетической функции. – Ч. I / С. В. Елисеев, Р. С. Большаков, Д. Х. Нгуен, К. Ч. Вьонг // Вестник Иркутского государственного технического университета. 2016. № 6 (113). С. 26–33. ISSN 1814-3520.
  15. Елисеев С. В. Определение частот собственных колебаний механических колебательных систем: особенности использования частотной энергетической функции. – Ч. II. / С. В. Елисеев, Р. С. Большаков, Д. Х. Нгуен, К. Ч. Вьонг // Вестник Иркутского государственного технического университета. 2016. № 7 (114). С. 10–23. ISSN 1814-3520.

#### Literature

1. Clarence W. de Silva. Vibration. Fundamentals and Practice. Boca Raton, London, New York, Washington, D.C. : CRC Press, 2000. – 957 p.
2. Iwnicki Simon. Handbook of railway vehicle dynamics. CRC Press Taylor & Francis Group, 2006. – 527 p. ISBN 9780429129803.
3. Banakh L., Kempner M. Vibrations of Mechanical Systems with Regular Structure, Berlin; Heidelberg: Springer, 2010. – 262 p. ISBN 978-3-642-03126-7.
4. Karnovsky I. A., Lebed E. Theory of Vibration Protection, Springer International Publishing, Switzerland, 2016. – 708 p. ISBN 978-3-319-28020-2.
5. Eliseev S. V., Eliseev A. V. Theory of Oscillations. Structural Mathematical Modeling in Problems of Dynamics of Technical Objects. Series: Studies in Systems, Decision and Control, Vol. 252, Springer International Publishing, Cham, 2020. – 521 p. ISBN 978-3-030-31295-4.
6. Eliseev S. V., Lukyanov A. V., Reznik Yu. N., Khomenko A. P. Dynamics of mechanical systems with additional ties. Irkutsk : Publishing Irkutsk State University, 2006. 316 p. ISBN 5-02-028739-3.
7. Rocard Y. General Dynamics of Vibrations. Paris : Masson, 1949. – 458 p.
8. Eliseev A. V. Dynamics of machines. System view, block diagrams and connection elements : monograph / A. V. Eliseev, N. K. Kuznetsov, A. O. Moscow. – M. : Innovative engineering [Dinamika mashin. Sistemnye predstavleniya, strukturnye skhemy i svyazi ehlementov : monografiya / A. V. Eliseev, N. K. Kuznetsov, A. O. Moskovskikh. – M. : Innovatsionnoe mashinostroenie], 2019. – 381 p. ISBN 978-5-907104-28-0.
9. Eliseev S. V., Applied theory of oscillations in problems of dynamics of linear mechanical systems [Prikladnaya teoriya kolebanij v zadachakh dinamiki linejnykh mekhanicheskikh sistem] / S. V. Eliseev, A. I. Altunin. – Novosibirsk : Nauka, 2016. – 459 p. ISBN 978-5-02-019232-4.
10. Strett J. V. Theory of sound [Teoriya zvuka]. – M. : GITTL, 1955. – Vol. 1. – 503 p.
11. Eliseev S. V. Applied system analysis and structural mathematical modeling (dynamics of transport and technological machines: connectivity of movements, vibration interactions, lever connections): monograph [Prikladnoj sistemnyj analiz i strukturnoe matematicheskoe modelirovanie (dinamika transportnykh i tekhnologicheskikh mashin: svyaznost' dvizhenij, vibratsionnye vzaimodejstviya, rychazhnye svyazi) : monografiya] / S. V. Eliseev ; ed. by A. I. Artyunin. – Irkutsk : IrGUPS, 2018. – 692 p. ISBN 978-5-98710-356-2.
12. Khomenko A. P. Development of the energy method for determining the frequencies of free vibrations of mechanical systems / A. P. Khomenko, S. V. Eliseev // Modern technologies. System analysis. Modeling [Razvitie ehnergeticheskogo metoda opredeleniya chastot svobodnykh kolebanij mekhanicheskikh sistem / Sovremennye tekhnologii. Sistemnyj analiz. Modelirovanie]. 2016. № 1 (49). Pp. 8–19. ISSN 1813-9108.
13. Eliseev S. V. Possibilities of using additional inertial type connections in problems of dynamics of technical systems / S. V. Eliseev, N. K. Kuznetsov, R. S. Bolshakov, D. H. Nguyen / Bulletin of the Irkutsk State Technical University [O vozmozhnostyakh ispol'zovaniya dopolnitel'nykh svyazey inertsionnogo tipa v zadachakh dinamiki tekhnicheskikh sistem / Vestnik Irkutskogo gosudarstvennogo tekhnicheskogo universiteta]. 2016. № 5 (112). Pp. 19–36. ISSN 1814-3520.
14. Eliseev S. V. Determination of the frequencies of natural oscillations of mechanical oscillatory systems: features of the use of the frequency energy function. – Ch. I. / S. V. Eliseev, R. S. Bolshakov, D. H. Nguyen, K. C. Vyong // Bulletin of the Irkutsk State Technical



University [Opredelenie chastot sobstvennykh kolebanij mekhanicheskikh kolebatel'nykh sistem: osobennosti ispol'zovaniya chastotnoj ehnergeticheskoy funktsii. – CH. I // Vestnik Irkutskogo gosudarstvennogo tekhnicheskogo universiteta]. 2016. № 6 (113). Pp. 26–33. ISSN 1814-3520.

15. Eliseev S. V. Determination of the frequencies of natural oscillations of mechanical oscillatory systems: features of the use of the frequency energy function. – Part II / S. V. Eliseev, R. S. Bolshakov, D. H. Nguyen, K. C. Vyong // Bulletin of the Irkutsk State Technical University [Opredelenie chastot sobstvennykh kolebanij mekhanicheskikh kolebatel'nykh sistem: osobennosti ispol'zovaniya chastotnoj ehnergeticheskoy funktsii. – CH. II // Vestnik Irkutskogo gosudarstvennogo tekhnicheskogo universiteta]. 2016. № 7 (114). Pp. 10–23. ISSN 1814-3520.

*Статья сдана в редакцию 11 декабря 2020 года*

В. Д. Павлов

**Математические модели резонансных и антирезонансных процессов**

UDC 531.391

V. D. Pavlov

**Mathematical models of resonance and antiresonance processes****Аннотация**

Использование символического (комплексного) метода существенно упростило исследование резонансных и околорезонансных явлений, в частности, позволило глубоко унифицировать и формализовать рассмотрение различных механических систем. Громоздкие и трудоемкие операции, связанные с составлением и решением дифференциальных уравнений, заменены простыми алгебраическими преобразованиями. В основе метода лежит механический аналог закона Ома в комплексном представлении и понятие о механических реактансе, резистансе, импедансе, сассептансе, кондактансе и адмитансе. Определены резонансы и антирезонансы сил и скоростей. Резонансы возникают при сочетаниях параллельного соединения элементов и источника силы либо последовательного соединения и источника скорости. Антирезонансы возникают при сочетаниях параллельного соединения и источника скорости либо последовательного соединения и источника силы. Эти понятия являются обобщением на механику понятий «источник напряжения» и «источник тока» из теоретической электротехники. Наиболее близким к источнику скорости по своим свойствам является кривошипно-кулисный (-шатунный) механизм с массивным маховиком. Источнику силы больше соответствует шток существенно меньшего из двух сообщающихся пневмоцилиндров.

**Ключевые слова:** реактанс, резистанс, импеданс, сассептанс, кондактанс, адмитанс.

DOI: 10.20291/2079-0392-2021-1-17-27

**Abstract**

The use of the symbolic (complex) method has significantly simplified the study of resonance and near-resonance phenomena, in particular, it has made it possible to deeply unify and formalize the consideration of various mechanical systems. The cumbersome and time-consuming operations associated with composing and solving differential equations have been replaced by simple algebraic transformations. The method is based on the mechanical analogue of Ohm's law in a complex representation and the concept of mechanical reactance, resistance, impedance, susceptance, conductance and admittance. Resonances and antiresonances of forces and velocities are determined. Resonances occur when the elements are connected in parallel with a force source, or when the elements are connected in series with a velocity source. Antiresonances occur when a parallel connection and a speed source are combined, or a serial connection and a force source are combined. These concepts are a generalization to mechanics of the concepts of «voltage source» and «current source» from theoretical electrical engineering. The closest to the source of speed in its properties is a crank-rocker (connecting rod) mechanism with a massive flywheel. The source of force corresponds more to the rod of the significantly smaller of the two connected pneumatic cylinders.

**Key words:** reactance, resistance, impedance, susceptance, conductance, admittance.

DOI: 10.20291/2079-0392-2021-1-17-27

*Статья рекомендована к опубликованию канд. техн. наук, доцентом Уральского государственного университета путей сообщения А. В. Параниным. E-mail: AParanin@usurt.ru.*

**Валентин Дмитриевич Павлов**, канд. техн. наук; начальник научно-информационного отдела Владимирского электромеханического завода; г. Владимир, Россия. E-mail: pavlov.val.75@mail.ru. ORCID 0000-0003-2125-4897.

*The article is recommended for publishing by Candidate of Technical Science, Associate Professor of the Ural State University of Railway Transport A. V. Parandin. E-mail: AParanin@usurt.ru.*

**Valentin Dmitrievich Pavlov**, Candidate of Technical Science; Head of the Scientific and Information Department of the Vladimir Electromechanical Plant; Vladimir, Russia. E-mail: pavlov.val.75@mail.ru. ORCID 0000-0003-2125-4897.

В установившемся режиме при гармонических воздействиях удобно использовать комплексное представление величин. При этом символический (комплексный) метод существенно упрощает исследование резонансных и околорезонансных явлений [1–4]. В отличие от классического метода, здесь нет необходимости в составлении и решении дифференциальных уравнений [5–8].

По аналогии с электротехникой гармоническую величину можно представить в виде

$$a = A \sin(\omega t + \varphi) = \operatorname{Im}[Ae^{i(\omega t + \varphi)}],$$

где  $Ae^{i(\omega t + \varphi)}$  – вращающийся в комплексной плоскости вектор;  $\omega$  – циклическая частота;  $\varphi$  – начальная фаза.

Векторы в комплексной плоскости принято изображать для нулевого момента времени. При этом величина  $Ae^{i(\omega t + \varphi)} = Ae^{i\varphi} = \underline{A}$  называется комплексной амплитудой.

В основе исследования механических систем лежит дуально-инверсный аналог закона Ома для участка электрической цепи [9]

$$\dot{\underline{V}} = \frac{\dot{\underline{F}}}{\underline{z}} = \dot{\underline{F}} \underline{y}, \quad (1)$$

где  $\dot{\underline{V}}$  и  $\dot{\underline{F}}$  – комплексные амплитуды скорости и силы;  $\underline{z}$  и  $\underline{y}$  – механические импеданс (impedance) и адмиттанс (admittance) в комплексном представлении.

Над комплексными величинами, не являющимися изображениями синусоиды, точка не ставится – такие величины подчеркиваются.

Далее рассматриваются параллельное и последовательное соединения элементов механической системы.

Аналитические описания резонанса в курсах теоретической механики соответствуют параллельному соединению.

Источниками внешнего механического гармонического воздействия на

систему выступает либо источник силы, либо источник скорости.

Существуют устройства, в удовлетворительном приближении способные выполнять функции источников силы и источников скорости. Источником гармонической скорости может выступать привод с кривошипно-кулисным механизмом и маховиком с большим моментом инерции. Источником гармонической силы может выступать шток пневмоцилиндра, полость которого сообщается с полостью другого пневмоцилиндра, чей диаметр неизмеримо выше, чем у первого, а поршень совершает гармонические колебания.

Источник силы характеризуется комплексной амплитудой силы:

$$\dot{\underline{F}} = \underline{F}e^{i0}. \quad (2)$$

Источник скорости характеризуется комплексной амплитудой скорости:

$$\dot{\underline{V}} = \underline{V}e^{i0}. \quad (3)$$

Механические гармонические воздействия, описываемые в курсах теоретической механики, соответствуют источнику силы.

Параллельное соединение характеризуется следующими величинами [9].

Инертный реактанс (reactance):

$$\underline{x}_m = \omega m e^{i\pi/2} = x_m e^{i\pi/2}, \quad (4)$$

где  $m$  – масса.

Упругий реактанс:

$$\underline{x}_k = \frac{k}{\omega} e^{-i\pi/2} = x_k e^{-i\pi/2}, \quad (5)$$

где  $k$  – коэффициент упругости.

Механический резистанс (resistance):

$$\underline{r} = r e^{i0} = r,$$

где  $r$  – коэффициент вязкого сопротивления.

Механический импеданс:

$$\underline{z} = Z e^{i\varphi}, \text{ где} \\ Z = \sqrt{r^2 + (x_m - x_k)^2}, \varphi = \arctg \frac{x_m - x_k}{r}. \quad (6)$$

Последовательное соединение характеризуется следующими величинами [9].

Инертный сассептанс (susceptance):

$$\underline{b}_m = \frac{1}{\omega m} e^{-i\pi/2} = b_m e^{-i\pi/2}. \quad (7)$$

Упругий сассептанс:

$$\underline{b}_k = \frac{\omega}{k} e^{i\pi/2} = b_k e^{i\pi/2}. \quad (8)$$

Механический кондактанс (conductance):

$$\underline{g} = g e^{i0} = g.$$

Для элемента (инертного, упругого, резистивного), рассматриваемого вне связи с другими механическими элементами,  $\underline{b}_m = 1/x_m$ ,  $\underline{b}_k = 1/x_k$ ,  $\underline{g} = 1/r$ .

Механический адмитанс:

$$\underline{y} = Y e^{i\varphi}, \text{ где} \\ Y = \sqrt{g^2 + (b_k - b_m)^2}, \varphi = \arctg \frac{b_k - b_m}{g}. \quad (9)$$

**Параллельное соединение и источник силы. Резонанс сил**

Комплексная амплитуда скорости (см. формулу (1)):

$$\dot{\underline{V}} = \frac{\dot{F}}{\underline{z}} = \frac{F}{z} e^{-i\varphi} = V e^{-i\varphi}. \quad (10)$$

Комплексная амплитуда инертной силы:

$$\dot{\underline{F}}_m = \underline{x}_m \dot{\underline{V}} = x_m V e^{i(\pi/2-\varphi)} = F_m e^{i(\pi/2-\varphi)}. \quad (11)$$

Комплексная амплитуда упругой силы:

$$\dot{\underline{F}}_k = \underline{x}_k \dot{\underline{V}} = x_k V e^{-i(\pi/2+\varphi)} = F_k e^{-i(\pi/2+\varphi)}. \quad (12)$$

Комплексная амплитуда резистивной силы:

$$\dot{\underline{F}}_r = \underline{r} \dot{\underline{V}} = r V e^{-i\varphi} = F_r e^{-i\varphi}. \quad (13)$$

Разумеется,

$$\dot{\underline{F}}_m + \dot{\underline{F}}_k + \dot{\underline{F}}_r = \dot{\underline{F}}. \quad (14)$$

Из закона Гука ((12) и (5)) следует выражение для комплексной амплитуды отклонения:

$$\begin{aligned} \dot{\underline{X}} &= \frac{\dot{\underline{F}}_k}{k} = \frac{x_k V e^{-i(\pi/2+\varphi)}}{k} = \\ &= \frac{k V e^{-i(\pi/2+\varphi)}}{\omega k} = \frac{V}{\omega} e^{-i(\pi/2+\varphi)} = X e^{-i(\pi/2+\varphi)}. \end{aligned} \quad (15)$$

Из второго закона Ньютона ((11) и (4)) следует выражение для комплексной амплитуды ускорения:

$$\begin{aligned} \dot{\underline{A}} &= \frac{\dot{\underline{F}}_m}{m} = \frac{x_m V e^{i(\pi/2-\varphi)}}{m} = \\ &= \frac{\omega m V e^{i(\pi/2-\varphi)}}{m} = \omega V e^{i(\pi/2-\varphi)} = A e^{i(\pi/2-\varphi)}. \end{aligned} \quad (16)$$

Разумеется,  $A = \omega V = \omega^2 X$ .

Из (10)–(16) и (4)–(6) следуют амплитудно-частотные характеристики:

$$\begin{aligned} F_k(\omega) &= \frac{kF}{\omega \sqrt{r^2 + (\omega m - k/\omega)^2}}, \\ X(\omega) &= \frac{F}{\omega \sqrt{r^2 + (\omega m - k/\omega)^2}}, \\ F_r(\omega) &= \frac{rF}{\sqrt{r^2 + (\omega m - k/\omega)^2}}, \\ V(\omega) &= \frac{F}{\sqrt{r^2 + (\omega m - k/\omega)^2}}, \end{aligned} \quad (17)$$

$$\begin{aligned} F_m(\omega) &= \frac{\omega m F}{\sqrt{r^2 + (\omega m - k/\omega)^2}}, \\ A(\omega) &= \frac{\omega F}{\sqrt{r^2 + (\omega m - k/\omega)^2}}. \end{aligned} \quad (18)$$

Разумеется,

$$F = \sqrt{F_r^2 + (F_k - F_m)^2}. \quad (19)$$

Графики функций  $X(\omega)$ ,  $V(\omega)$ ,  $A(\omega)$  ведут себя качественно так же, как, соответственно,  $F_k(\omega)$ ,  $F_r(\omega)$ ,  $F_m(\omega)$ .

Частота  $\omega_k$ , на которой функции  $X(\omega)$  и  $F_k(\omega)$  имеют максимум, определяется из условия

$$\frac{d}{d\omega} \left\{ \omega^{-1} \left[ (k\omega^{-1} - m\omega)^2 + r^2 \right]^{-1/2} \right\} = 0.$$

Решение этого уравнения:

$$\begin{aligned} \omega_k &= \sqrt{\frac{k}{m}} \sqrt{1 - r^2 / (2km)} = \\ &= \omega_0 \sqrt{1 - r^2 / (2x_w^2)} = \omega_0 \sqrt{1 - d^2 / 2}, \end{aligned}$$

где  $x_w = \sqrt{km}$  – волновое сопротивление (системы);  $d = r/x_w$  – затухание (системы) (по аналогии с электротехникой).

$$\begin{aligned} F_{k\max} &= F_k(\omega_k) = \frac{Q}{\sqrt{1 - d^2/4}} F, \\ X_{\max} &= X(\omega_k) = \frac{Q}{\sqrt{1 - d^2/4}} \frac{F}{k} = \\ &= \frac{Q}{\sqrt{1 - d^2/4}} X_0, \end{aligned}$$

где  $Q = 1/d$  – добротность (системы) (по аналогии с электротехникой);  $X_0 = X(0) = F/k$  – статическое отклонение.

Частота  $\omega_r$ , на которой функции  $V(\omega)$  и  $F_r(\omega)$  имеют максимум, очевидным образом равна  $\omega_r = \sqrt{k/m} = \omega_0$ :

$$\begin{aligned} F_{r\max} &= F_r(\omega_0) = F, \\ V_{\max} &= V(\omega_0) = \frac{F}{r}. \end{aligned} \quad (20)$$

Частота  $\omega_m$ , на которой функции  $A(\omega)$  и  $F_m(\omega)$  имеют максимум, определяется из условия

$$\frac{d}{d\omega} \left\{ \omega \left[ (k\omega^{-1} - m\omega)^2 + r^2 \right]^{-1/2} \right\} = 0.$$

Решение этого уравнения:

$$\omega_m = \sqrt{\frac{k}{m}} \frac{1}{\sqrt{1 - r^2 / (2km)}} = \frac{\omega_0}{\sqrt{1 - d^2/2}}. \quad (21)$$

$$\begin{aligned} F_{m\max} &= F_m(\omega_m) = \frac{Q}{\sqrt{1 - d^2/4}} F, \\ A_{\max} &= A(\omega_m) = \frac{Q}{\sqrt{1 - d^2/4}} \frac{F}{m} = \\ &= \frac{Q}{\sqrt{1 - d^2/4}} A_0, \end{aligned} \quad (22)$$

где  $A_0 = A(0) = F/m$  – постоянное ускорение (при нулевой частоте).

При  $d^2/2 > 1$  функции  $X(\omega)$ ,  $A(\omega)$ ,  $F_k(\omega)$ ,  $F_m(\omega)$  не имеют максимумов в вещественном диапазоне частот.

Примечательно, что

$$\omega_k \omega_m = \omega_0^2, \quad (23)$$

$$F_{k\max} = F_{m\max}, \quad (24)$$

$$A_{\max} = \omega_0^2 X_{\max}, \quad (25)$$

$$\frac{A_{\max}}{\omega_m} = \omega_k X_{\max} = \frac{V_{\max}}{\sqrt{1 - d^2/4}}. \quad (26)$$

Другие характерные точки:

$$\begin{aligned} F_m(\omega_k) &= \frac{Q - d/2}{\sqrt{1 - d^2/4}} F, \\ A(\omega_k) &= \frac{Q - d/2}{\sqrt{1 - d^2/4}} A_0, \end{aligned} \quad (27)$$

$$\begin{aligned} F_k(\omega_m) &= \frac{Q - d/2}{\sqrt{1 - d^2/4}} F, \\ X(\omega_m) &= \frac{Q - d/2}{\sqrt{1 - d^2/4}} X_0, \end{aligned} \quad (28)$$

$$\begin{aligned} F_m(\omega_0) &= QF, \quad A(\omega_0) = QA_0, \\ F_k(\omega_0) &= QF, \quad X(\omega_0) = QX_0, \end{aligned} \quad (29)$$

$$\begin{aligned} F_r(\omega_k) &= F_r(\omega_m) = \frac{\sqrt{1 - d^2/2}}{\sqrt{1 - d^2/4}} F, \\ V(\omega_k) &= V(\omega_m) = \frac{\sqrt{1 - d^2/2}}{\sqrt{1 - d^2/4}} \frac{F}{r} = \\ &= \frac{\sqrt{1 - d^2/2}}{\sqrt{1 - d^2/4}} V(\omega_0). \end{aligned} \quad (30)$$

Характерные отношения:

$$\begin{aligned} \frac{F_k(\omega_k)}{F_m(\omega_k)} &= \frac{F_m(\omega_m)}{F_k(\omega_m)} = \frac{F_k(\omega_k)}{F_k(\omega_m)} = \\ &= \frac{F_m(\omega_m)}{F_m(\omega_k)} = \frac{X(\omega_k)}{X(\omega_m)} = \frac{A(\omega_m)}{A(\omega_k)} = \\ &= \frac{1}{1-d^2/2}, \end{aligned} \quad (31)$$

$$\frac{F_k(\omega_k)}{F_r(\omega_k)} = \frac{F_m(\omega_m)}{F_r(\omega_m)} = \frac{Q}{\sqrt{1-d^2/2}}, \quad (32)$$

$$\frac{F_k(\omega_m)}{F_r(\omega_m)} = \frac{F_m(\omega_k)}{F_r(\omega_k)} = Q\sqrt{1-d^2/2}. \quad (33)$$

На рис. 1 представлены подлинные резонансные кривые для системы с параметрами:  $F = 100$  Н,  $m = 10$  кг,  $k = 40$  кг·с<sup>-2</sup>,  $r = 10$  кг·с<sup>-1</sup>.

На том основании, что амплитуда отклонения  $X$  имеет максимум на частоте  $\omega_k$  ( $\omega_k < \omega_0$ ), она ( $\omega_k$ , а не  $\omega_0$ ) считается резонансной частотой [10].

Это было бы сильным решением, если бы  $X$  был единственным значимым кинематическим параметром. Однако не менее значимыми параметрами являются амплитуды скорости  $V$  и ускорения  $A$ . При этом первая имеет максимум на частоте  $\omega_0$ , а вторая – на частоте  $\omega_m$  ( $\omega_m > \omega_0$ ). Таким образом,

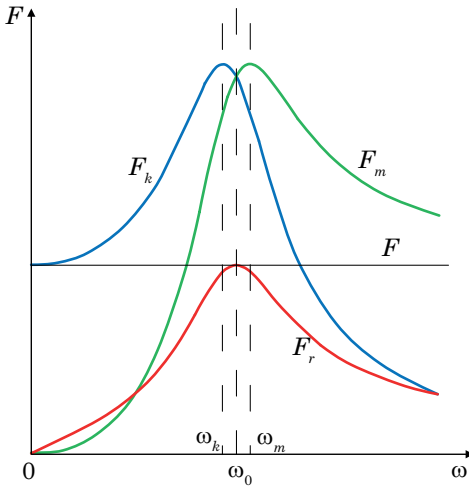


Рис. 1. Резонанс сил

$\omega_k$  ничем не лучше, чем  $\omega_0$  и  $\omega_m$ . Единственным аргументом при выборе резонансной частоты остается соображение симметрии (усиленное выражением (23)), в соответствии с которым резонансная частота –  $\omega_0$ .

Этот выбор становится еще более очевидным, если обратиться к силам.

Амплитуда упругой силы  $F_k$  имеет максимум на частоте  $\omega_k$ , амплитуда инертной силы  $F_m$  – на частоте  $\omega_m$ . Отдать предпочтение той или другой частоте невозможно. Однако именно на частоте  $\omega_0$  имеет место резонанс сил, при котором реактивные силы  $F_k$  и  $F_m$  равны и противоположны, а их сумма, соответственно, равна нулю.

Кроме того, величина импеданса механической системы  $Z = \sqrt{r^2 + (x_m - x_k)^2}$ , характеризующего ее свойство оказывать сопротивление приводу, понуждающему ее совершать колебания, на частоте  $\omega_0$  имеет минимальное значение. Другими словами, именно на частоте  $\omega_0$  система оказывает приводу минимальное сопротивление.

Таким образом, резонансной частотой является исключительно  $\omega_0$ .

С другой стороны, имея в виду рис. 3, можно вести речь о трех резонансных частотах:  $\omega_k$ ,  $\omega_m$  и  $\omega_0$ . На первой имеет место резонанс упругой силы, на второй – резонанс инертной силы, на третьей – резонанс резистивной силы.

### Параллельное соединение и источник скорости. Антирезонанс сил

Комплексная амплитуда инертной силы:  $\dot{F}_m = \underline{x}_m \dot{V} = x_m V e^{i\pi/2} = F_m e^{i\pi/2}$ .

Комплексная амплитуда упругой силы:  $\dot{F}_k = \underline{x}_k \dot{V} = x_k V e^{-i\pi/2} = F_k e^{-i\pi/2}$ .

Комплексная амплитуда резистивной силы:  $\dot{F}_r = \underline{r} \dot{V} = r V e^{i0} = F_r e^{i0}$ .

Разумеется,  $\dot{F}_m + \dot{F}_k + \dot{F}_r = \dot{F}$ .

Комплексная амплитуда отклонения:

$$\begin{aligned}\dot{X} &= \frac{\dot{F}_k}{k} = \frac{x_k V e^{-i\pi/2}}{k} = \frac{k V e^{-i\pi/2}}{\omega k} = \\ &= \frac{V}{\omega} e^{-i\pi/2} = X e^{-i\pi/2}.\end{aligned}\quad (34)$$

Комплексная амплитуда ускорения:

$$\begin{aligned}\dot{A} &= \frac{\dot{F}_m}{m} = \frac{x_m V e^{i\pi/2}}{m} = \frac{\omega m V e^{i\pi/2}}{m} = \\ &= \omega V e^{i\pi/2} = A e^{i\pi/2}.\end{aligned}\quad (35)$$

Комплексная амплитуда силы (см. формулу (1)):  $\dot{F} = \dot{V} \underline{z} = V z e^{i\varphi} = F e^{i\varphi}$ .

Амплитудно-частотная характеристика:

$$F(\omega) = V \sqrt{r^2 + (\omega m - k/\omega)^2}.$$

При  $\omega \rightarrow 0$  и  $\omega \rightarrow \infty$  кривая  $F(\omega)$  устремляется в бесконечность. При сверхмалых частотах условие (3) порождает чрезмерные деформации упругого элемента (34), сопровождаемые, соответственно, чрезмерными силами упругости. При сверхвысоких частотах условие (3) порождает чрезмерные ускорения (35) и чрезмерные инерционные силы.

При  $\omega_0$  график проходит через минимум  $F_{\min} = F(\omega_0) = Vr = F_r$ . Имеет место антирезонанс сил, при котором реактивные силы  $F_k$  и  $F_m$  равны и противоположны, а их сумма, соответственно, равна нулю.

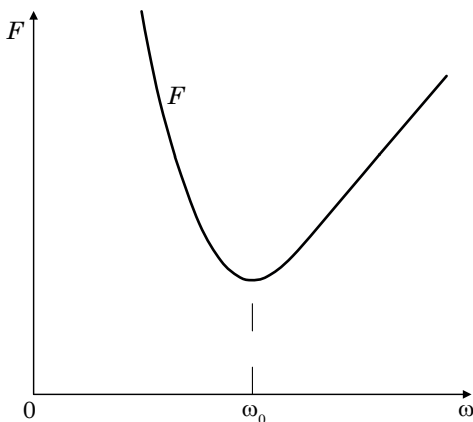


Рис. 2. Антирезонанс сил

Для антирезонанса разнотений со смещением антирезонансной частоты (она же резонансная) не возникает.

На рис. 2 представлена подлинная антирезонансная кривая для системы, отличающейся от первой тем, что  $V = 10 \text{ м} \cdot \text{с}^{-1}$ .

### Последовательное соединение и источник скорости. Резонанс скоростей

Комплексная амплитуда силы (см. формулу (1)):

$$\dot{F} = \frac{\dot{V}}{y} = \frac{V}{y} e^{-i\varphi} = F e^{-i\varphi}.\quad (36)$$

Комплексная амплитуда скорости инертного элемента:

$$\dot{V}_m = \underline{b}_m \dot{F} = b_m F e^{-i(\pi/2+\varphi)} = V_m e^{-i(\pi/2+\varphi)}.\quad (37)$$

Комплексная амплитуда скорости изменения длины упругого элемента:

$$\dot{V}_k = \underline{b}_k \dot{F} = b_k F e^{i(\pi/2-\varphi)} = V_k e^{i(\pi/2-\varphi)}.\quad (38)$$

Комплексная амплитуда скорости изменения длины резистивного элемента:

$$\dot{V}_r = \underline{g} \dot{F} = g F e^{-i\varphi} = V_r e^{-i\varphi}.\quad (39)$$

Разумеется,

$$\dot{V}_m + \dot{V}_k + \dot{V}_r = \dot{V}.\quad (40)$$

Из (37) следует выражение для комплексной амплитуды импульса:

$$\begin{aligned}\dot{P} &= m \dot{V}_m = m b_m F e^{-i(\pi/2+\varphi)} = \\ &= m \frac{1}{\omega m} F e^{-i(\pi/2+\varphi)} = \frac{F}{\omega} e^{-i(\pi/2+\varphi)} = \\ &= P e^{-i(\pi/2+\varphi)}.\end{aligned}\quad (41)$$

Из (38) следует выражение для комплексной амплитуды производной силы (специального названия не имеет, приводится здесь как дуальный аналог преобразования (16)):

$$\begin{aligned}\dot{B} &= k \dot{V}_k = k b_k F e^{i(\pi/2-\varphi)} = \\ &= k \frac{\omega}{k} F e^{i(\pi/2-\varphi)} = \omega F e^{i(\pi/2-\varphi)} = \\ &= B e^{i(\pi/2-\varphi)}.\end{aligned}\quad (42)$$

Это соответствует преобразованию

$$kv = k \frac{dx}{dt} = \frac{d(kx)}{dt} = \frac{dF}{dt} = B. \quad (43)$$

Разумеется,

$$B = \omega F = \omega^2 P. \quad (44)$$

Из выражений (36)–(42) и (7)–(9) следуют амплитудно-частотные характеристики:

$$V_m(\omega) = \frac{V}{\omega m \sqrt{1/r^2 + [\omega/k - 1/(\omega m)]^2}}, \quad (45)$$

$$P(\omega) = \frac{V}{\omega \sqrt{1/r^2 + [\omega/k - 1/(\omega m)]^2}},$$

$$V_r(\omega) = \frac{gV}{\sqrt{1/r^2 + [\omega/k - 1/(\omega m)]^2}}, \quad (46)$$

$$F(\omega) = \frac{V}{\sqrt{1/r^2 + [\omega/k - 1/(\omega m)]^2}},$$

$$V_k(\omega) = \frac{\omega V}{k \sqrt{1/r^2 + [\omega/k - 1/(\omega m)]^2}}, \quad (47)$$

$$B(\omega) = \frac{\omega V}{\sqrt{1/r^2 + [\omega/k - 1/(\omega m)]^2}}.$$

Разумеется,

$$V = \sqrt{V_r^2 + (V_k - V_m)^2}. \quad (48)$$

Графики функций  $P(\omega)$ ,  $F(\omega)$ ,  $B(\omega)$  ведут себя качественно так же, как, соответственно,  $V_m(\omega)$ ,  $V_r(\omega)$ ,  $V_k(\omega)$ .

Частота  $\omega_m$ , на которой функции  $P(\omega)$  и  $V_m(\omega)$  имеют максимум, определяется из условия

$$\frac{d}{d\omega} \left\{ \omega^{-1} \left[ (k^{-1}\omega - m^{-1}\omega^{-1})^2 + r^{-2} \right]^{-1/2} \right\} = 0.$$

Решение этого уравнения:

$$\begin{aligned}\omega_m &= \sqrt{\frac{k}{m}} \sqrt{1 - mk/(2r^2)} = \\ &= \omega_0 \sqrt{1 - x_w^2/(2r^2)} = \omega_0 \sqrt{1 - Q^2/2}.\end{aligned}\quad (49)$$

$$V_{m \max} = V_m(\omega_m) = \frac{d}{\sqrt{1 - Q^2/4}} V,$$

$$P_{m \max} = P_m(\omega_m) = \frac{d}{\sqrt{1 - Q^2/4}} Vm = \quad (50)$$

$$= \frac{d}{\sqrt{1 - Q^2/4}} P_0,$$

где  $P_0 = P(0) = Vm$  – постоянный импульс (при нулевой частоте).

Частота  $\omega_r$ , на которой функции  $F(\omega)$  и  $V_r(\omega)$  имеют максимум, очевидным образом равна

$$\omega_r = \sqrt{\frac{k}{m}} = \omega_0.$$

$$V_{r \max} = V_r(\omega_0) = V,$$

$$F_{\max} = F(\omega_0) = \frac{V}{g}, \quad (51)$$

$$F_{\max} = F(\omega_0) = \frac{V}{g}.$$

Частота  $\omega_k$ , на которой функции  $B(\omega)$  и  $V_k(\omega)$  имеют максимум, определяется из условия

$$\frac{d}{d\omega} \left\{ \omega \left[ (k^{-1}\omega - m^{-1}\omega^{-1})^2 + r^{-2} \right]^{-1/2} \right\} = 0.$$

Решение этого уравнения:

$$\omega_k = \sqrt{\frac{k}{m}} \frac{1}{\sqrt{1 - km/(2r^2)}} = \frac{\omega_0}{\sqrt{1 - Q^2/2}}. \quad (52)$$

$$V_{k \max} = V_k(\omega_k) = \frac{d}{\sqrt{1 - Q^2/4}} V,$$

$$B_{\max} = B(\omega_k) = \frac{d}{\sqrt{1 - Q^2/4}} Vk = \quad (53)$$

$$= \frac{d}{\sqrt{1 - Q^2/4}} B_0,$$



где  $B_0 = B(0) = Vk$  – постоянная производная силы (при нулевой частоте).

При  $Q^2/2 > 1$  функции  $P(\omega)$ ,  $B(\omega)$ ,  $V_m(\omega)$ ,  $V_k(\omega)$  не имеют максимумов в вещественном диапазоне частот.

Примечательно, что

$$\omega_k \omega_m = \omega_0^2, \quad (54)$$

$$V_{k\max} = V_{m\max}, \quad (55)$$

$$B_{\max} = \omega_0^2 P_{\max}, \quad (56)$$

$$\frac{B_{\max}}{\omega_k} = \omega_m P_{\max} = \frac{F_{\max}}{\sqrt{1 - Q^2/4}}. \quad (57)$$

Другие характерные точки:

$$\begin{aligned} V_m(\omega_k) &= \frac{d - Q/2}{\sqrt{1 - Q^2/4}} V, \\ P(\omega_k) &= \frac{d - Q/2}{\sqrt{1 - Q^2/4}} P_0, \end{aligned} \quad (58)$$

$$\begin{aligned} V_k(\omega_m) &= \frac{d - Q/2}{\sqrt{1 - Q^2/4}} V, \\ B(\omega_m) &= \frac{d - Q/2}{\sqrt{1 - Q^2/4}} B_0, \end{aligned} \quad (59)$$

$$\begin{aligned} V_m(\omega_0) &= d \cdot V, \quad P(\omega_0) = d \cdot P_0, \\ V_k(\omega_0) &= d \cdot V, \quad B(\omega_0) = d \cdot B_0, \end{aligned} \quad (60)$$

$$V_r(\omega_k) = V_r(\omega_m) = \frac{\sqrt{1 - Q^2/2}}{\sqrt{1 - Q^2/4}} V,$$

$$\begin{aligned} F(\omega_k) &= F(\omega_m) = \\ &= \frac{\sqrt{1 - Q^2/2}}{\sqrt{1 - Q^2/4}} \frac{V}{g} = \frac{\sqrt{1 - Q^2/2}}{\sqrt{1 - Q^2/4}} F(\omega_0). \end{aligned} \quad (61)$$

Характерные отношения:

$$\begin{aligned} \frac{V_k(\omega_k)}{V_m(\omega_k)} &= \frac{V_m(\omega_m)}{V_k(\omega_m)} = \frac{V_k(\omega_k)}{V_k(\omega_m)} = \\ &= \frac{V_m(\omega_m)}{V_m(\omega_k)} = \frac{P(\omega_m)}{P(\omega_k)} = \frac{B(\omega_k)}{B(\omega_m)} = \\ &= \frac{1}{1 - d^2/2}, \end{aligned} \quad (62)$$

$$\frac{V_k(\omega_k)}{V_r(\omega_k)} = \frac{V_m(\omega_m)}{V_r(\omega_m)} = \frac{d}{\sqrt{1 - Q^2/2}}, \quad (63)$$

$$\frac{V_k(\omega_m)}{V_r(\omega_m)} = \frac{V_m(\omega_k)}{V_r(\omega_k)} = d\sqrt{1 - Q^2/2}. \quad (64)$$

Амплитуда импульса  $P$  имеет максимум на частоте  $\omega_m$  ( $\omega_m < \omega_0$ ), амплитуда силы  $F$  – на частоте  $\omega_0$ , амплитуда производной силы  $B$  – на частоте  $\omega_k$  ( $\omega_k > \omega_0$ ).

Амплитуда скорости инертного элемента  $V_m$  имеет максимум на частоте  $\omega_m$ , амплитуда скорости изменения длины упругого элемента  $V_k$  – на частоте  $\omega_k$ .

На частоте  $\omega_0$  имеет место резонанс скоростей, при котором (реактивные) скорости  $V_m$  и  $V_k$  равны и противоположны, а их сумма, соответственно, равна нулю.

Величина адмитанса механической системы  $Y = \sqrt{g^2 + (b_k - b_m)^2}$ , характеризующего ее свойство не оказывать сопротивление приводу, понуждающему ее совершать колебания, на частоте  $\omega_0$  имеет минимальное значение. Другими словами, именно на частоте  $\omega_0$  система оказывает приводу максимальное сопротивление.

Таким образом, резонансной частотой является исключительно  $\omega_0$ .

Для системы с параметрами, отличающимися от параметров второй тем, что  $r = 40 \text{ кг} \cdot \text{с}^{-1}$ , подлинные резонансные кривые полностью совпадают с изображенными на рис. 1 при заменах  $F_k \rightarrow V_m$ ,  $F_m \rightarrow V_k$ ,  $F_r \rightarrow V_r$ ,  $\omega_k \rightarrow \omega_m$ ,  $\omega_m \rightarrow \omega_k$ .

С другой стороны, имея в виду рис. 1, можно вести речь о трех резонансных частотах:  $\omega_m$ ,  $\omega_k$  и  $\omega_0$ . На первой имеет место резонанс скорости инертного элемента, на второй – резонанс скорости изменения длины упругого элемента, на третьей – резонанс скорости изменения длины резистивного элемента.

#### Последовательное соединение и источник силы. Антирезонанс скоростей

Комплексная амплитуда скорости инертного элемента:

$$\dot{V}_m = \dot{\underline{b}}_m \dot{F} = b_m F e^{-i\pi/2} = V_m e^{-i\pi/2}.$$

Комплексная амплитуда скорости изменения длины упругого элемента:

$$\dot{V}_k = \dot{\underline{b}}_k \dot{F} = b_k F e^{i\pi/2} = V_k e^{-i\pi/2}.$$

Комплексная амплитуда скорости изменения длины резистивного элемента:

$$-\dot{V}_r = \dot{\underline{g}} \dot{F} = g F e^{i0} = V_r e^{i0}.$$

$$\text{Разумеется, } \dot{V}_m + \dot{V}_k + \dot{V}_r = \dot{V}.$$

Комплексная амплитуда импульса:

$$\begin{aligned} \dot{P} &= m \dot{V}_m = m b_m F e^{-i\pi/2} = \\ &= m \frac{1}{\omega m} F e^{-i\pi/2} = \frac{F}{\omega} e^{-i\pi/2} = P e^{-i\pi/2}. \end{aligned} \quad (65)$$

Комплексная амплитуда производной силы:

$$\begin{aligned} \dot{B} &= k \dot{V}_k = k b_k F e^{i\pi/2} = \\ &= k \frac{\omega}{k} F e^{i\pi/2} = \omega F e^{i\pi/2} = B e^{i\pi/2}. \end{aligned} \quad (66)$$

Комплексная амплитуда скорости (см. формулу (1)):  $\dot{V} = \dot{F} \underline{y} = F y e^{i\varphi} = V e^{i\varphi}$ .

Амплитудно-частотная характеристика:

$$V(\omega) = F \sqrt{g^2 + (\omega/k - 1/(\omega m))^2}.$$

При  $\omega \rightarrow 0$  и  $\omega \rightarrow \infty$  кривая  $V(\omega)$  устремляется в бесконечность. При сверхмалых частотах условие (2) порождает чрезмерный импульс (65), сопровождаемый, соответственно, чрезмерной скоростью инертного элемента. При сверхвысоких частотах условие (2) порождает чрезмерную производную силы (66) и чрезмерную скорость изменения длины упругого элемента. При  $\omega_0$  график проходит через минимум  $V_{\min} = V(\omega_0) = Fg = V_r$ . Имеет место антирезонанс скоростей, при котором (реактивные) скорости  $V_m$  и  $V_k$  равны

и противоположны, а их сумма, соответственно, равна нулю.

Для системы, отличающейся от третьей тем, что  $F = 100$  Н, подлинная антирезонансная кривая полностью совпадает с изображенной на рис. 2 при замене  $F \rightarrow V$ .

## Заключение

Использование символического (комплексного) метода существенно упростило исследование резонансных и околорезонансных явлений, в частности, позволило глубоко унифицировать и формализовать рассмотрение различных дуально инверсных механических систем. Громоздкие и трудоемкие операции, связанные с составлением и решением дифференциальных уравнений, заменены простыми алгебраическими преобразованиями.

В основе метода лежат механический аналог закона Ома в комплексном представлении (1) и понятие о механических реактансе, резистансе, импедансе, сассептансе, кондактансе и адмитансе.

С помощью этого метода получены новые результаты, в т. ч. (14), (17)–(33), (40)–(64).

В дополнение к классическому методу рассмотрено последовательное соединение механических элементов и источник скоростей.

Классическое рассмотрение доставляет одну амплитудно-частотную характеристику, символический (комплексный) метод – восемь при значительно большем числе характерных точек и характерных отношений.

Установлено, что вопреки классическому подходу резонансной частотой является исключительно  $\omega_0$  (а не  $\omega_k$ ). Другими словами, резонансная частота не сдвигается от частоты свободных колебаний. Это обусловлено тем, что при классическом рассмотрении не установлена симметрия частот (23), (54), а при символическом она очевидна.

С другой стороны, можно вести речь о трех резонансных частотах:  $\omega_k$ ,  $\omega_m$  и  $\omega_0$ .

На первой имеют место резонанс упругой силы и резонанс скорости изменения длины упругого элемента, на второй – резонанс инертной силы и резонанс скорости инертного элемента, на третьей – резонанс резистивной силы и резонанс скорости изменения длины резистивного элемента.

Определены резонанс и антирезонанс сил, резонанс и антирезонанс скоростей, которые не были определены классическим методом. Резонансы

возникают при сочетаниях параллельного соединения элементов и источника силы либо последовательного соединения и источника скорости. Антирезонансы возникают при сочетаниях параллельного соединения и источника скорости либо последовательного соединения и источника силы.

Для всех описанных случаев фазочастотные характеристики особой оригинальностью не отличаются и поэтому не рассматриваются. ■

### Литература

1. Тарасян В. С., Куликова И. В. Разработка процедуры построения нечеткого регулятора и ее применение для управления движением перевернутого маятника // Вестник УрГУПС. 2013. № 1 (17). С. 34–42. ISSN 2079-0392.
2. Гучинский Р. В. Расчет частоты собственных изгибных колебаний кузова вагона электропоезда с учетом податливости опор // Вестник УрГУПС. 2019. № 2 (42). С. 4–11. ISSN 2079-0392.
3. Румянцев С. А., Астанков К. Ю., Ермаков В. А. Разработка методики проведения испытания вибропогружения свай с использованием бигармонических колебаний // Вестник УрГУПС. 2013. № 4 (20). С. 18–25. ISSN 2079-0392.
4. Пановко Г. Я., Шохин А. Е., Еремейкин С. А. Об одной задаче настройки вибрационных машин на резонансный режим // Вестник Московского государственного технического университета им. Н. Э. Баумана. – Сер. : Машиностроение. – 2017. – № 4 (115). – С. 106–111. ISSN 0236-3941.
5. Павлов А. М., Темнов А. Н. Использование симметрии в собственных колебаниях стержневых систем // Вестник Московского государственного технического университета им. Н. Э. Баумана. – Сер. : Машиностроение. – 2017. – № 4 (115). – С. 28–41. ISSN 0236-3941.
6. Леоненко Д. В. Колебания трехслойной цилиндрической оболочки в упругой среде под действием осесимметричных динамических нагрузок // Фундаментальные и прикладные проблемы техники и технологии. 2018. № 3 (329). С. 64–72. ISSN 2073-7408.
7. Румянцев С. А., Алексеева О. Н. Динамика двухмассных вибротранспортирующих машин с самосинхронизирующимися вибровозбудителями на нижней массе // Вестник УрГУПС. 2010. № 4 (8). С. 4–10. ISSN 2079-0392.
8. Дерябин И. П., Головачев С. Ю., Гималетдинов А. А. Исследование влияния осевых колебаний при сверлении глубоких отверстий // Справочник. Инженерный журнал. 2018. № 8 (257). С. 43–47. ISSN 2073-7408.
9. Попов И. П. Реактансы и другие параметры механических систем // Вестник УрГУПС. 2020. № 4 (48). С. 4–12. ISSN 2079-0392.
10. Яворский Б. М., Детлаф А. А. Справочник по физике. М. : Наука, 1980. 512 с.

### Literature

1. Tarasyan V. S., Kulikova I. V. Development of the procedure for constructing a fuzzy controller and its application for controlling the movement of an inverted pendulum // Herald of USURT [Razrabotka protsedury postroeniya nechetkogo regul'yatora i ee primeneniye dlya upravleniya dvizheniem perevernutogo mayatnika // Vestnik UrGUPS.], 2013. № 1 (17). Pp. 34–42. ISSN 2079-0392.
2. Guchinsky R. V. Calculation of frequency of proper bending vibrations of the body of an electric train car taking into account the pliability of supports // Herald of USURT. [Raschet chastoty sobstvennykh izgibnykh kolebanij kuzova vagona ehlektropoezda s uchetom podatlivosti opor // Vestnik UrGUPS.] 2019. № 2 (42). Pp. 4–11. ISSN 2079-0392.
3. Rumyantsev S. A., Astankov K. Yu., Ermakov V. A. Development of method for testing pile vibration loading using biharmonic vibrations // Herald of USURT [Razrabotka metodiki

- provedeniya ispytaniya vibropogruzheniya svaj s ispol'zovaniem bigarmonicheskikh kolebanij // Vestnik UrGUPS], 2013. № 4 (20). Pp. 18–25. ISSN 2079-0392.
4. Panovko G. Ya., Shokhin A. E., Ereimeikin S. A. On problem of tuning vibration machines to the resonant mode // Bulletin of the Bauman Moscow State Technical University. – Ser. : Mechanical engineering. [Ob odnoj zadache nastrojki vibratsionnykh mashin na rezonansnyj rezhim // Vestnik Moskovskogo gosudarstvennogo tekhnicheskogo universiteta im. N. E.H. Baumana. – Ser. : Mashinostroenie.] – 2017. – № 4 (115). – Pp. 106–111. ISSN 0236-3941.
5. Pavlov A. M., Temnov A. N. The use of symmetry in proper oscillations of rod systems // Bulletin of the Bauman Moscow State Technical University. – Ser.: Mechanical engineering. [Isol'zovanie simmetrii v sobstvennykh kolebaniyakh sterzhnevyykh sistem // Vestnik Moskovskogo gosudarstvennogo tekhnicheskogo universiteta im. N.EH. Baumana. – Ser. : Mashinostroenie.] – 2017. – № 4 (115). – Pp. 28–41. ISSN 0236-3941.
6. Leonenko D. V. Vibrations of a three-layer cylindrical shell in an elastic medium under the action of axisymmetric dynamic loads // Fundamental and applied problems of engineering and technology. [Kolebaniya trekhslonnoj tsilindricheskoj obolochki v uprugoy srede pod dejstviem osesimmetrichnykh dinamicheskikh nagruzok // Fundamental'nye i prikladnye problemy tekhniki i tekhnologii.] 2018. № 3 (329). Pp. 64–72. ISSN 2073-74.
7. Rumyantsev S. A., Alekseeva O. N. Dynamics of two-mass vibro-transporting machines with self-synchronizing vibration exciters on the lower mass. [Dinamika dvukhmassnykh vibrotransportiruyushchikh mashin s samosinkhroniziruyushhimisya vibrovozbuditelyami na nizhnej masse // Vestnik UrGUPS.] 2010. № 4 (8). Pp. 4–10. ISSN 2079-0392.
8. Deryabin I. P., Golovachev S. Yu., Himaletdinov A. A. Investigation of the influence of axial vibrations when drilling deep holes. Engineering Journal. [Issledovanie vliyaniya osevykh kolebanij pri sverlenii glubokikh otverstij // Spravochnik. Inzhenernyj zhurnal.] 2018. № 8 (257). Pp. 43–47. ISSN 2073-7408.
9. Popov I. P. Reactances and other parameters of mechanical systems // Herald of USURT. [Reaktansy i drugie parametry mekhanicheskikh sistem // Vestnik UrGUPS.] 2020. № 4 (48). Pp. 4–12. ISSN 2079-0392.
10. Yavorsky B. M., Detlaf A. A. Handbook of Physics. Moscow: Nauka [Spravochnik po fizike. M. : Nauka], 1980. 512 p.

*Статья сдана в редакцию 13 января 2021 года*

# Механика машин и роботов

УДК 629.423.1

А. А. Воробьев, Р. С. Сметанин

## Методика анализа надежности оборудования электровозов 2ЭС10

UDC 629.423.1

A. A. Vorobyov, R. S. Smetanin

## Methodology for analyzing reliability of the equipment of electric locomotives 2ES10

### Аннотация

Рассматриваются анализ надежности оборудования электровозов 2ЭС10 с асинхронными тяговыми двигателями как сложной системы и часто встречающиеся при эксплуатации отказы оборудования. Все представленные отказы разделены по видам оборудования. На основе анализа Парето определены основные лимитирующие узлы указанных электровозов с самой низкой надежностью.

На основе анализа Парето определены часто отказывающие составляющие основных лимитирующих узлов, в качестве которых приняты механическая часть, колесные пары, тормозное оборудование, тяговый привод и тяговые двигатели.

Данные узлы оказывают наибольшее влияние на безопасность движения поездов и поэтому крайне важна постоянная оценка состояния данных узлов.

Акцентируется внимание на анализе рисков, связанных с возможным образованием эксплуатационных отказов, системе планово-предупредительного ремонта, методах и инструментах оценки надежности, некорректном нормативно-документационным обеспечением и фиксации эксплуатационных дефектов, их последующей обработке.

Такое исследование позволяет повысить безопасность перевозочного процесса путем тщательного мониторинга наиболее уязвимых мест подвижного состава.

Этим выявляется предотказное состояние до его возникновения. Результаты исследования можно взять за основу при корректировке действующей структуры ремонтного цикла в части уменьшения межремонтных пробегов.

**Ключевые слова:** качественный анализ надежности, новые электровозы, отказы оборудования, критерии, методы и инструменты оценки, критерии оценки надежности электровозов с асинхронными двигателями.

DOI: 10.20291/2079-0392-2021-1-28-39

### Abstract

The article deals with the analysis of reliability of the equipment of 2ES10 electric locomotives with

Статья рекомендована к опубликованию д-ром техн. наук, профессором Российского университета транспорта Н. М. Шереметом. E-mail: shenimih@yandex.ru.

Александр Алексеевич Воробьев, д-р техн. наук, профессор; кафедра «Электропоезда и локомотивы» Российский университет транспорта (МИИТ); Москва, Россия. E-mail: vorobyov-a@yandex.ru. ORCID 0000-0002-7767-8114.

Руслан Сергеевич Сметанин, аспирант; кафедра «Электропоезда и локомотивы» Российский университет транспорта (МИИТ); Москва, Россия. E-mail: smetanin.rus95@gmail.com. ORCID 0000-0002-6735-0844.

The article is recommended for publishing by D-r of tech.science, Professor of Russian University of Transport N. M. Sheremet. E-mail: shenimih@yandex.ru.

Alexander Alekseyevich Vorobyov, Doctor of Technical Science, Professor; Department of «Electric Trains and Locomotives» Russian University of Transport (MIIT); Moscow, Russia. E-mail: vorobyov-a@yandex.ru. ORCID 0000-0002-7767-8114.

Ruslan Sergeyevich Smetanin, Post-graduate student; Department of «Electric Trains and Locomotives» Russian University of Transport (MIIT); Moscow, Russia. E-mail: smetanin.rus95@gmail.com. ORCID 0000-0002-6735-0844.

asynchronous traction motors as a complex system and equipment failures that are often encountered during operation. All submitted failures are divided by type of equipment. Based on the Pareto analysis, the main limiting units of these electric locomotives with the lowest reliability are determined.

Based on the Pareto analysis, the frequently failing elements of the main limiting components are determined, which are the mechanical part, wheel pairs, brake equipment, traction drive and traction motors. These elements have

a major impact on the safety of train traffic and therefore it is extremely important to constantly assess the condition of these elements.

Attention is focused on the analysis of risks associated with the possible formation of operational failures, the system of planned preventive maintenance, methods and tools for assessing reliability, incorrect regulatory and documentation support and fixing operational defects, and their subsequent processing.

Such a study makes it possible to improve the safety of the transportation process

by careful monitoring of the most vulnerable areas of the rolling stock. This reveals the pre-failure state before it occurs. The results of the study can be used as a basis for adjusting the current structure of the repair cycle in terms of reducing inter-repair runs.

**Keywords:** qualitative reliability analysis, new electric locomotives, equipment failures, evaluation criteria, methods and tools, criteria for evaluating the reliability of electric locomotives with asynchronous motors.

DOI: 10.20291/2079-0392-2021-1-28-39

Электроподвижной состав в России подвергается высоким динамическим нагрузкам, вызванными взаимодействием колёс с рельсами при проезде стыков и неровностей из-за переменности нагрузок – резких скачков температуры обмоток электрических машин, изменений температуры и влажности окружающей среды в различные времена года. Также значительное влияние оказывает заполнение узлов трения различными продуктами износа [1]. Изнашивание – это процесс постепенного изменения размеров тела при трении, заключающийся в отделении от поверхности трения частиц материала и (или) появление остаточных деформаций [2]. Все это сильно влияет на функционирование и скорость износа оборудования локомотивов.

В многоотраслевом хозяйстве железных дорог большое влияние уделяется локомотивному парку, непосредственно осуществляющему перевозки [3].

Одна из ключевых задач – обеспечение бесперебойной надёжной работы всех технических средств, так как из-за отказов в пути следования задерживаются поезда, уменьшается проходимость участков, что, в свою очередь, снижает безопасность движения и приводит к большим экономическим потерям.

Под надёжностью понимается свойство локомотива выполнять заданные функции без существенного изменения своих эксплуатационных показателей в определённых пределах в течение заданного временного промежутка эксплуатации. Надёжность локомотива устанавливается его безотказностью, сохраняемостью, долговечностью и ремонтно-пригодностью [4].

Решением всех вопросов, связанных с определением состояния технических объектов и характера его изменения с течением времени, занимается техническая диагностика [5]. Параметры любого технического изделия изменяются при эксплуатации. Отслеживая эти изменения, можно дать заключение о состоянии технического объекта.

Под технической диагностикой понимается процесс периодического мониторинга состояния различных технических объектов. При диагностировании фиксируют конкретные значения рассматриваемых параметров или признаков, которые сравнивают с установленными значениями (допусками) в нормативной документации. Собранные данные дают возможность оценить техническое состояние узлов и деталей, позволяют спрогнозировать дальнейшую динамику изменения этих параметров и предположительные сроки замены.



В ОАО «РЖД» регулярно проводится мониторинг технического состояния всех локомотивов эксплуатируемого парка.

Основная цель мониторинга заключается в сборе сведений о нарушениях работоспособности локомотивов. В таком исследовании очень важны достоверность и объем исходных данных [6]. В результате обработки и анализа данных о допущенных отказах можно определить часто встречающиеся причины отказа оборудования локомотивов и разработать систему по предупреждению отказов при последующей эксплуатации.

После реализации различных мероприятий, направленных на снижение отказов, анализ необходимо повторить – это позволяет оценить эффективность использования предложенных мероприятий, сравнить новые результаты с полученными ранее.

Для выполнения качественного анализа надежности всего оборудования электровозов с асинхронными тяговыми двигателями сформированы эксплуатационные данные по работе оборудования

электровозов 2ЭС10, а именно, информация по эксплуатационным отказам оборудования за 2018 г.

Основная масса дефектов и основных материальных затрат наступает по многим причинам. Анализ Парето дает возможность выявить ключевые факторы, которые отражают наиболее сильное влияние на работоспособность оборудования [7].

В расчетах использованы 152 электровоза 2ЭС10 эксплуатируемого парка на полигонах Свердловской и Западно-Сибирской железных дорог.

Результаты, полученные при фиксации отказов по каждому определенному виду оборудования, количество отказов в процентном выражении, а также накопленный процент для построения общей диаграммы Парето для электровозов 2ЭС10 приведены в таблице 1. На основании данных таблицы 1 построены общая диаграмма Парето (рис. 1), диаграмма Парето по отказам, приходящимся на единицу изделия (рис. 2).

Таблица 1

Исходные вводные данные для построения диаграммы Парето по отказам оборудования электровозов 2ЭС10 за 2018 г.

Узел	Отказы, кол-во	Кол-во отказов, %	Накопленный процент
Механическая часть	239	17,0	17
Тяговый преобразователь	182	12,9	30
Компрессорный агрегат	176	12,5	42
Тяговый привод	151	10,7	53
Электроаппаратура	136	9,7	63
Тормозное оборудование, УКТОЛ	132	9,4	72
Токоприемники	86	6,1	84
Приборы безопасности	76	5,4	78
Вспомогательные машины	66	4,7	88
Кабина машиниста	44	3,1	92
Блок вспомогательных трансформаторов	42	3,0	95
Пневматическое оборудование	37	2,6	97
Система пожаротушения	11	0,8	98
МПСУиД, СВЛТР	9	0,6	99
Дроссель сетевого фильтра	8	0,6	100
Всего	1395	–	–

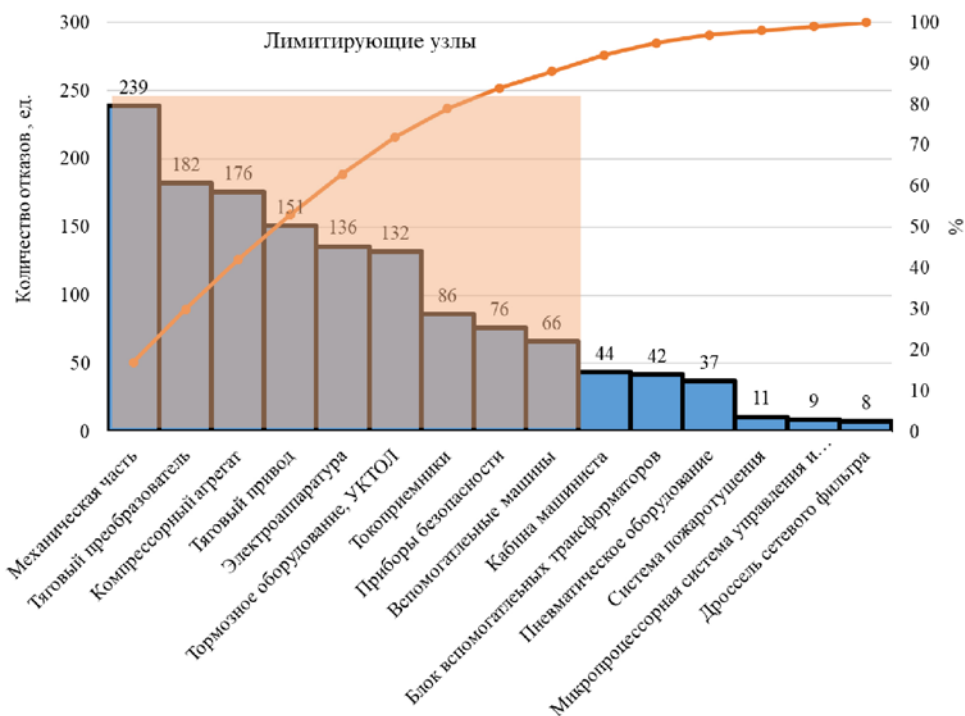


Рис. 1. Диаграмма Парето по отказам оборудования электровозов 2ЭС10 за 2018 г.

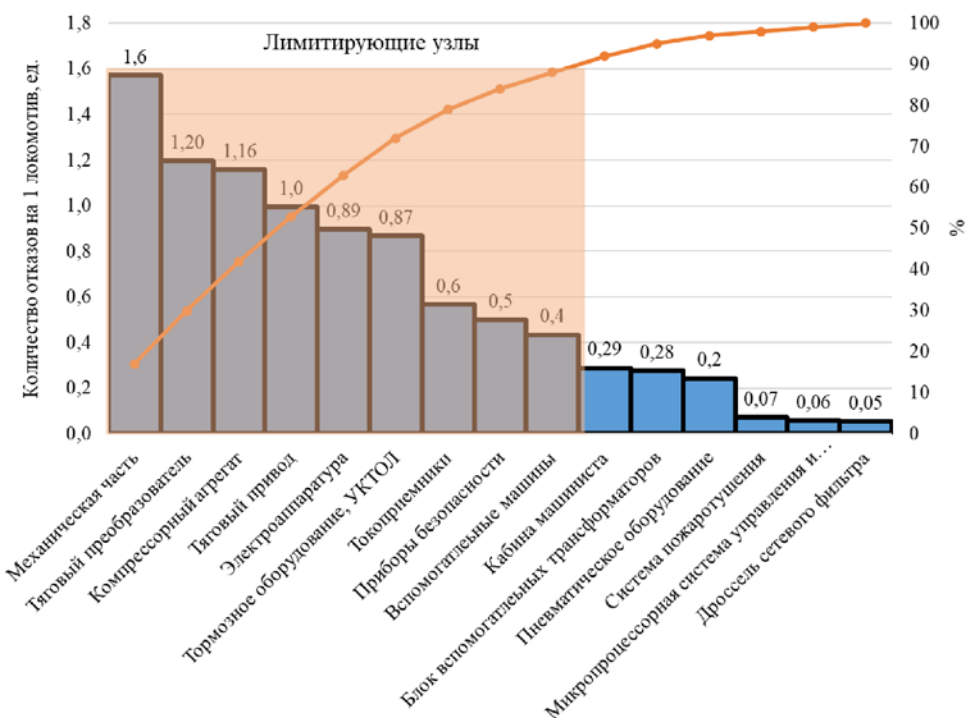


Рис. 2. Диаграмма Парето по отказам оборудования электровозов 2ЭС10 (на единицу изделия) за 2018 г.



Итак, лимитирующими узлами для электровозов 2ЭС10 служат механическая часть, тяговый преобразователь, компрессорный агрегат, тяговый привод, электроаппаратура, тормозное оборудование, приборы безопасности, токоприемники и вспомогательные машины.

Разберем механическую часть электровозов 2ЭС10 подробнее. Для этого сформируем перечень составляющих и информацию по их отказам (таблица 2). На основании данных таблицы 2 построим диаграмму Парето (рис. 3), диаграмму Парето по отказам, приходящимся на единицу изделия (рис. 4).

Таблица 2

Исходные вводные данные для построения диаграммы Парето по отказам оборудования механической части электровоза 2ЭС10 за 2018 г.

Узел	Отказы, кол-во	Кол-во отказов, %	Накопленный процент
Колесная пара	170	59,0	59
Автосцепное устройство	38	13,3	73
Гидродемпферы	27	9,4	82
Буксовый узел	5	1,7	84
Буксовое подвешивание	5	1,7	86
Песочный рукав	5	1,7	87
Маятниковая подвеска ТЭД	4	1,4	89
Кузов	4	1,4	90
Автоматический гребнесмазыватель	3	1,0	91
Кузовное подвешивание	1	0,3	92
Прочее	24	8,4	100

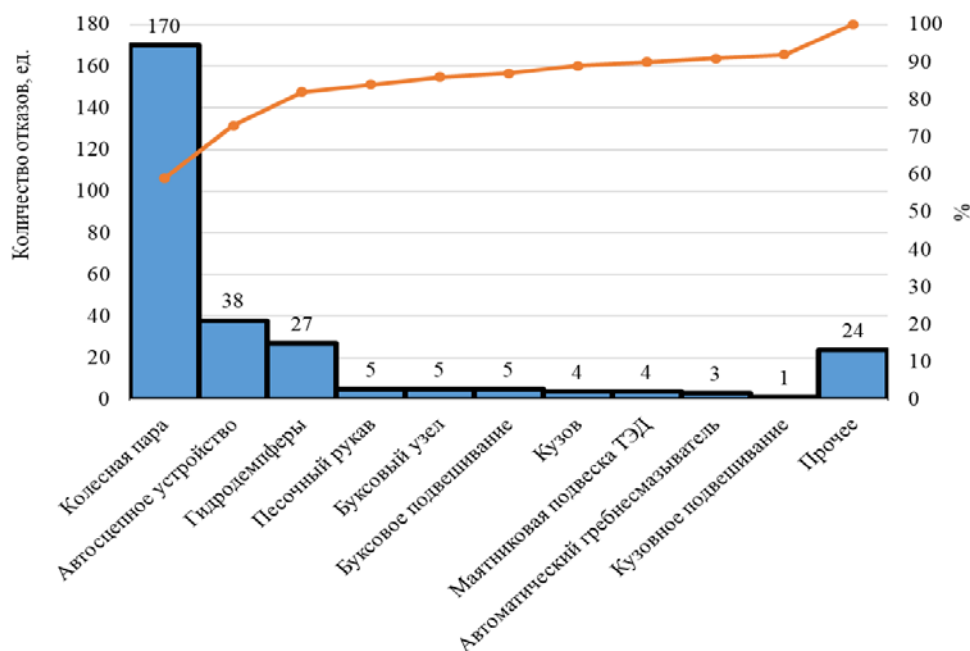


Рис. 3. Диаграмма Парето по отказам оборудования механической части электровозов 2ЭС10 за 2018 г.

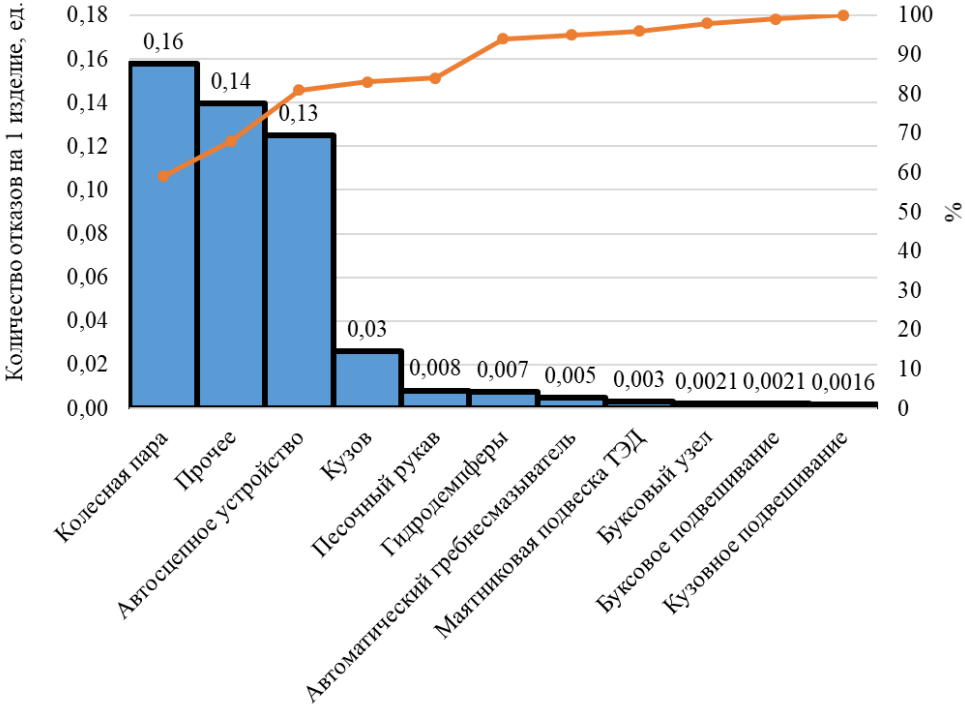


Рис. 4. Диаграмма Парето по отказам оборудования механической части электровозов 2ЭС10 (на единицу изделия) за 2018 г.

Таким образом, в отказах механической части электровозов 2ЭС10 доминируют колесные пары (170 случаев за 2018 г.).

С использованием диаграммы Парето проведем анализ причин отказов колесных пар. Для этого сведем все неисправности колесных пар и соответствующее им количество отказов в таблицу 3.

Затем построим диаграммы Парето по отказам колесных пар (рис. 5) по отказам колесных пар, приходящимся на единицу изделия (рис. 6).

Наиболее частая причина отказов колесных пар заключается в предельном износе бандажей колесных пар (63 случая за 2018 г.) и повышенной вибрации (53 случая).

Таблица 3

Исходные вводные данные для построения диаграммы Парето по отказам колесных пар электровозов 2ЭС10 за 2018 г.

Причина отказа	Отказы, кол-во	Кол-во отказов, %	Накопленный процент
Предельный износ бандажа КП	63	37,7	38
Вибрация	53	31,7	69
Дефект при проведении УЗК	16	9,6	79
Обточка КП вне планового ремонта	20	12,0	91
Проворот бандажа КП	7	4,2	95
Трещина бандажа КП	6	3,6	99
Прочее	2	1,2	100

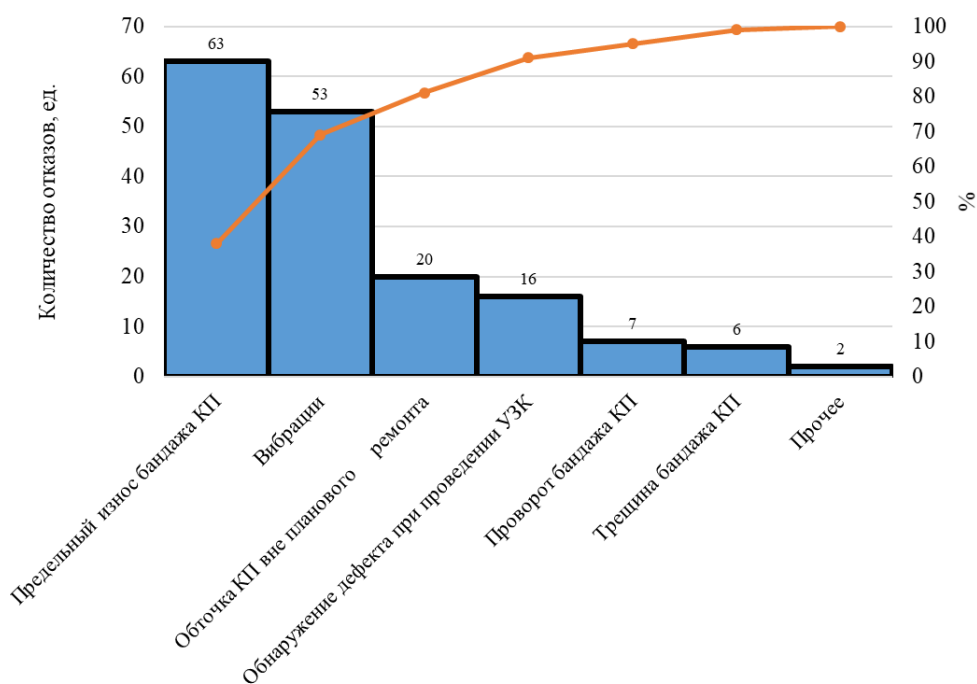


Рис. 5. Диаграмма Парето по отказам колесных пар электровозов 2ЭС10 за 2018 г.

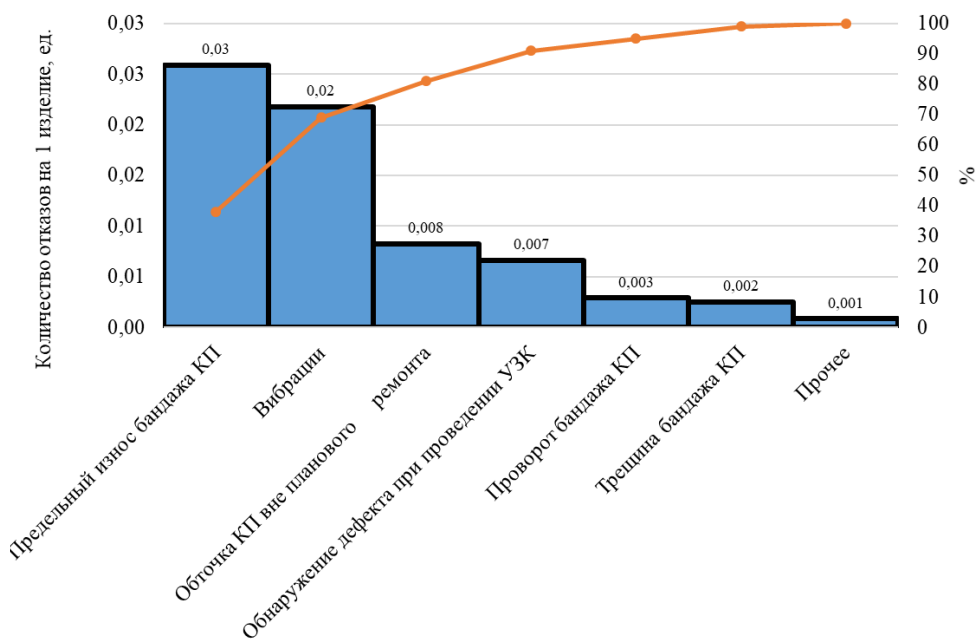


Рис. 6. Диаграмма Парето по отказам колесных пар электровозов 2ЭС10 (на единицу изделия) за 2018 г.

Рассмотрим еще один лимитирующий узел электровозов 2ЭС10 «Гранит» – тормозное оборудование.

Объединим перечень составляющих, входящих в тормозное оборудование, в таблицу 4. На основе данных

таблицы 4 покажем распределение указанных отказов тормозного оборудования за 2018 год графически (рис. 7), а также диаграмму Парето по отказам тормозного оборудования, приходящимся на единицу изделия (рис. 8).

Таблица 4

Исходные вводные данные для построения диаграммы Парето по отказам тормозного оборудования электровозов 2ЭС10 за 2018 г.

Узел	Отказы, кол-во	Кол-во отказов, %	Накопленный процент
Кран машиниста	43	29,5	30
Тормозной цилиндр	25	17,1	47
Тормозная рычажная передача	25	17,1	64
Электропневматический вентиль шкафа УКТОЛ	24	16,4	80
Устройство блокировки тормозов	7	4,8	85
Кран вспомогательного тормоза	4	2,7	88
Воздухораспределитель	3	2,1	90
Тормозные колодки	2	1,4	91
Прочее	10	6,8	100

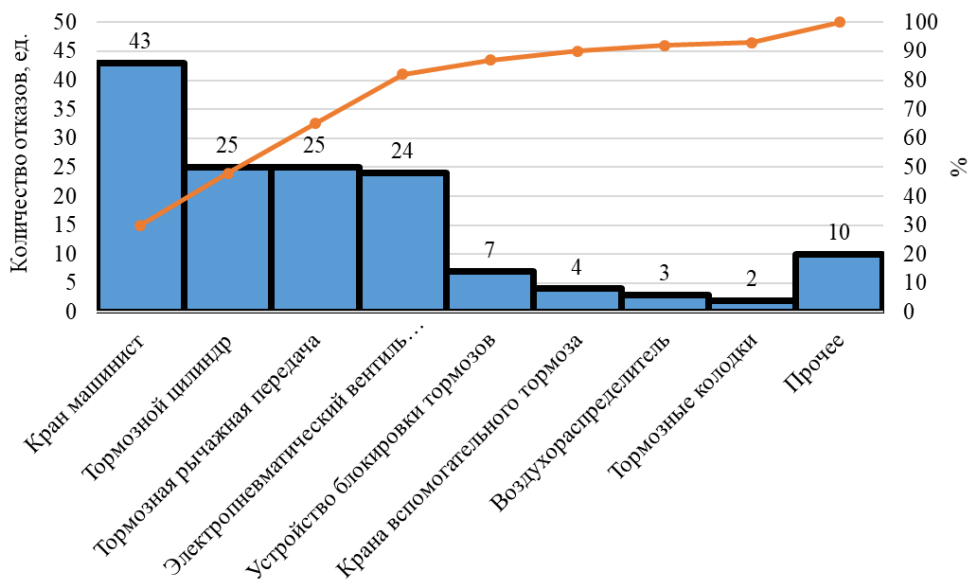


Рис. 7. Диаграмма Парето по отказам тормозного оборудования электровоза 2ЭС10 за 2018 г.

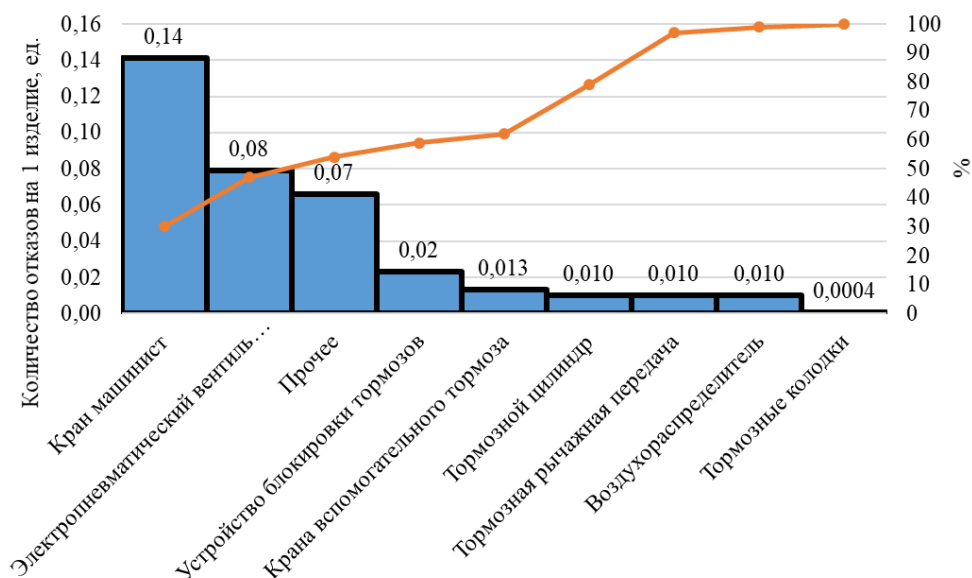


Рис. 8. Диаграмма Парето по отказам тормозного оборудования электровоза 2ЭС10 (на единицу изделия) за 2018 г.

Диаграммы подтверждают, что в тормозном оборудовании рассматриваемых электровозов серии 2ЭС10 чаще всего отказывает кран машиниста.

Тяговый привод попадает в лимитирующие узлы электровоза 2ЭС10. Достоинства механической передачи заключаются в простоте конструкции, компактности, сравнительно малом весе, низкой стоимости изготовления и довольно высоким средним коэффициентом полезного действия [8]. Однако к надежности все равно есть вопросы. Выделим отказывающие составляющие тягового привода (таблица 5) и покажем диаграмму Парето

(рис. 9), а также диаграмму Парето по отказам тягового привода на единицу изделия (рис. 10).

Диаграммы подтверждают, что большинство отказов составляют неисправности датчика оборотов (70 случаев за 2018 г.) и тягового двигателя (40 случаев).

Проанализируем причины таких отказов с применением диаграммы Парето. Для этого сведем причины его отказов в таблицу 6 и построим диаграмму Парето (рис. 11) и диаграмму Парето по отказам тягового электродвигателя, приходящимся на единицу изделия (рис. 12).

Таблица 5

Исходные входные данные для построения диаграммы Парето по отказам тягового привода электровоза 2ЭС10 за 2018 г.

Узел	Отказы, кол-во	Кол-во отказов, %	Накопленный процент
Датчик оборотов	70	40,5	41
Тяговый электродвигатель	40	23,1	64
Тяговый редуктор	32	18,5	82
Датчик температуры	26	15,0	98
Заземляющие шунты	5	2,9	100

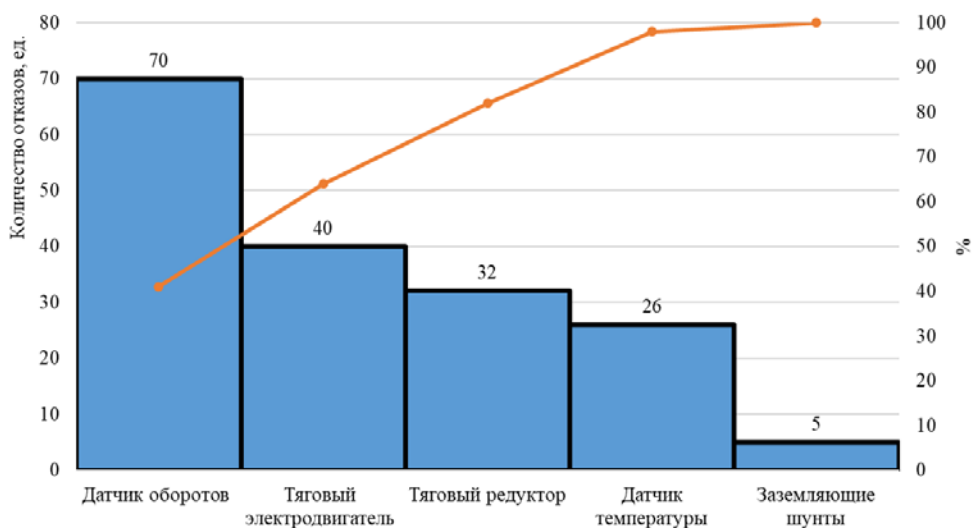


Рис. 9. Диаграмма Парето по отказам тягового привода электровоза 2ЭС10 за 2018 г.

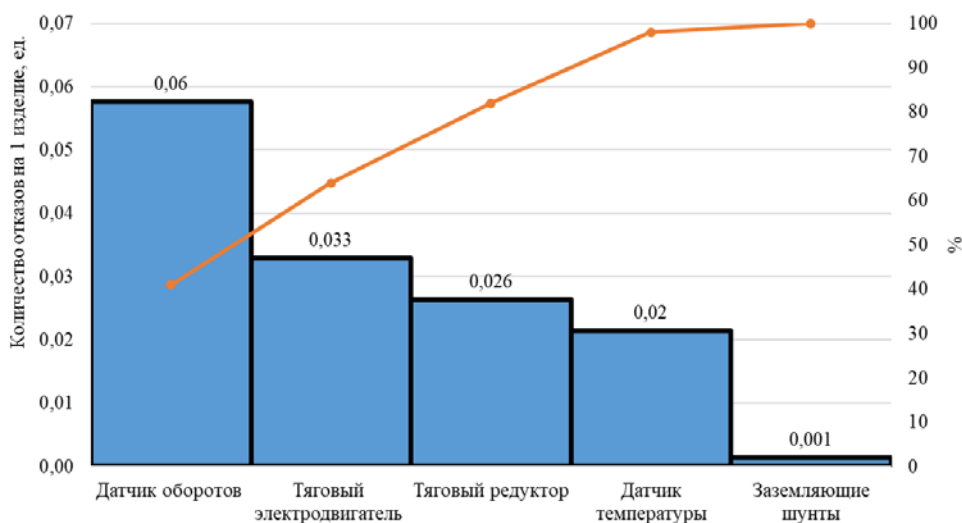


Рис. 10. Диаграмма Парето по отказам тягового привода электровоза 2ЭС10 (на единицу изделия) за 2018 г.

Таблица 6

Исходные вводные данные для построения диаграммы Парето по отказам тягового двигателя электровоза 2ЭС10 за 2018 г.

Причина отказов	Отказы, кол-во	Кол-во отказов, %	Накопленный процент
Пробой изоляции статорной обмотки ТЭД	20	50,0	50
Перетирание изоляции подводящих кабелей ТЭД	9	22,5	73
Неисправность якорного подшипника ТЭД	8	20,0	93
Снижение изоляции ТЭД	2	5,0	98
Механическое повреждение ТЭД	1	2,5	100

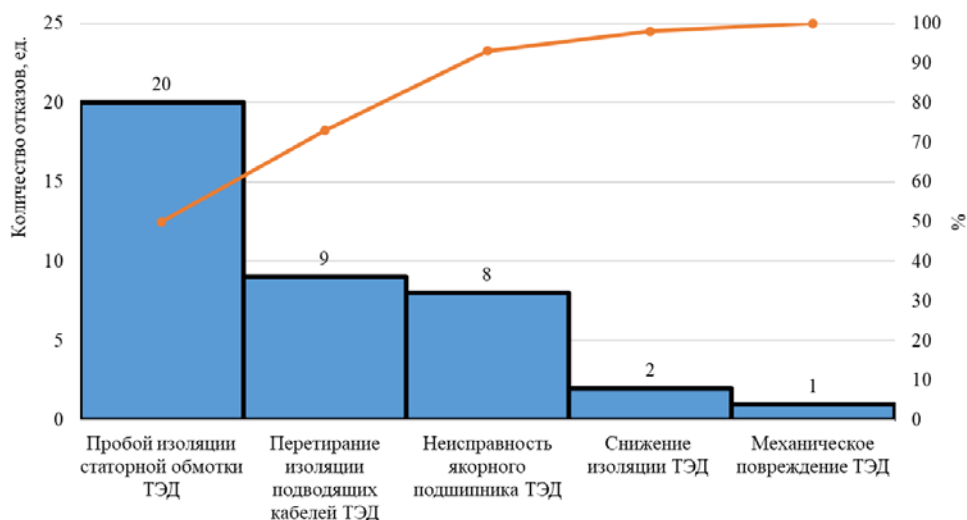


Рис. 11. Диаграмма Парето по отказам тягового двигателя электровоза 2ЭС10 за 2018 г.

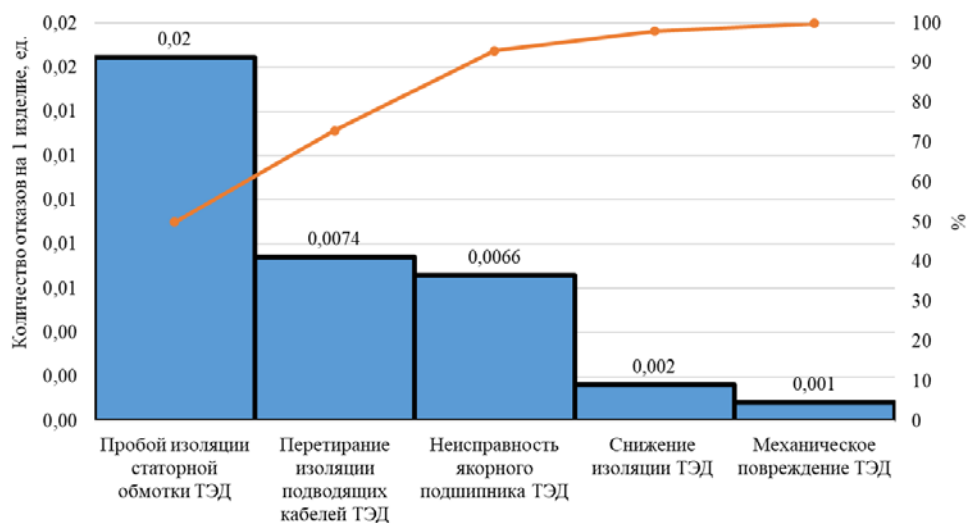


Рис. 12. Диаграмма Парето по отказам тягового двигателя электровозов 2ЭС10 (на единицу изделия) за 2018 г.

Диаграмма подтверждает, что пробой изоляции — самая частая причина отказа тягового электродвигателя.

Таким образом, мониторинг состояния оборудования новых электровозов позволяет повысить безопасность

движения за счет проведения комплекса мероприятий, выявляющих и устраняющих различные дефекты. Это предотвращает неплановые ремонты и связанные с этим простои локомотива. ■

**Литература**

1. Крагельский И. В. Трение и износ. – М. : Машиностроение. – 1968. – 71 с.
2. Бирюков И. В., Савоськин А. Н., Бурчак Г. П. Механическая часть подвижного состава : учебник для вузов ж.-д. трансп. / под ред. И. В. Бирюкова. – М. : Транспорт. – 1992. – 177 с. ISBN 5-277-01136-6.
3. Горский А. В. Надежность электроподвижного состава : учебник / А. В. Горский, А. А. Воробьев. – М. : 2005. – 53 с. ISBN 5-89035-170-2.
4. Раков В. А. Локомотивы и моторвагонный подвижной состав. – М. : Транспорт. – 1979. – 117 с.
5. Четвергов В. А., Овчаренко С. М., Бухтеев В. Ф. Техническая диагностика локомотивов : учебное пособие / под ред. В.А. Четвергова. – М. : ФГБОУ «Учебно-методический центр по образованию на железнодорожном транспорте». – 2014. – 6 с. ISBN 978-5-89035-752-6.
6. Деминг Э. Лекция перед японскими менеджерами // Методы менеджмента качества. – 2000. № 10. – 24 с. ISSN 0130-6898.
7. Хитосе Кумэ. Статистические методы повышения качества / Пер. с англ. – М. : Финансы и статистика. – 1990. – 27 с.
8. Кузьмич В. Д., Пахомов Э. К., Русаков Г. М., Бородулин И. П. Тепловозы. – М. : Транспорт. – 1979. – 181 с. ISBN 5-277-00920-5.

**Literature**

1. Kragelsky I. V. Friction and wear. – М. : Mashinostroenie [Mashinostroenie]. – 1968. – 71 p.
2. Biryukov I. V., Savos'kin A. N., Burchak G. P. Mechanical part of the rolling stock : textbook for railway universities. edited. by I. V. Biryukova [Mekhanicheskaya chast' podvizhnogo sostava : uchebnik dlya vuzov zh.-d. transp. / pod red. I. V. Biryukova. – М. : Transport]. – М. : Transport. – 1992. – 177 p. ISBN 5-277-01136-6.
3. Gorsky A. V. Reliability of electric rolling stock : textbook [Nadezhnost' ehlektropodvizhnogo sostava : uchebnik] / V. A. Gorsky, A. A. Vorobyov. – М. : 2005. – 53 p. ISBN 5-89035-170-2.
4. Rakov V. A. Locomotives and railcar rolling stock [Lokomotivy i motorvagonnyj podvizhnoj sostav]. – М. : Transport. – 1979. – 117 c.
5. Chetvergova V. A., Ovcharenko S. M., Bukhteev V. F. Technical diagnostics of locomotives : a textbook / edited by V. A. Chetvergova. – М. : FGBOU «Educational and Methodological Center for education on railway transport» [Tekhnicheskaya diagnostika lokomotivov : uchebnoe posobie / pod red. V. A. Chetvergova. – М. : FGBOU «Uchebno-metodicheskij tsentr po obrazovaniyu na zheleznodorozhnom transporte»]. – 2014. – 6 p. ISBN 978-5-89035-752-6.
6. Deming E. Lecture to Japanese managers // Methods of quality management [Lektsiya pered yaponskimi menedzherami // Metody menedzhmenta kachestva]. – 2000. № 10. – 24 p. ISSN 0130-6898.
7. Hitoshe Kume. Statistical methods of improving quality / Trans. from English-M. : Finance and Statistics [Statisticheskie metody povysheniya kachestva / Per. s angl. – М. : Finansy i statistika]. – 1990. – 27 p.
8. Kuzmich V. D., Pakhomov E. K., Rusakov G. M., Borodulin I. P. Diesel locomotives. – М. : Transport [Teplovozy. – М. : Transport]. – 1979. – 181 p. ISBN 5-277-00920-5.

*Статья сдана в редакцию 10 января 2021 года*



# Управление в технических системах

УДК 629.471

*И. С. Цихалевский, А. Г. Русаков*

## Ключевой показатель нового бизнес-процесса организации эксплуатации и ремонта как инструмент контроля технического состояния локомотивов

UDC 629.471

*I. S. Tsikhalevsky, A. G. Rusakov*

## A key indicator of the new business process of the organization of operation and repair as a tool for monitoring the technical condition of locomotives

### Аннотация

Пересмотр бизнес-процесса эксплуатации и ремонта локомотивов повлек за собой и пересмотр показателей, дающих характеристику качества выполняемых ремонтов и обслуживания. В статье рассматривается новый показатель, характеризующий качество работы локомотиворемонтных предприятий сервисных компаний. Исследованы составляющие уравнения и разобран порядок расчета коэффициента технической готовности. Произведен анализ распоряжения, регламентирующего

порядок учета времени нахождения секции локомотива в состоянии. По результатам анализа все учетные состояния собраны в группы в соответствии с формулой расчета. Определен источник получения исходных данных о нахождении секции локомотива в учетном состоянии. Произведен анализ исходных данных и представлены результаты. Произведен расчет фактического значения коэффициента технической готовности с учетом и без учета административных издержек. Определен термин «коридор

технической готовности локомотива». Рассчитано фактическое наличие исправных локомотивов в распоряжении эксплуатационного локомотивного депо по верхней и нижней границам коридора. Выявлено, что новый показатель может применяться для характеристики качества и полноты работ, выполненных сервисной компанией, но для оценки фактического наличия исправного тягового подвижного состава его недостаточно.

**Ключевые слова:** локомотив, сервисное обслуживание, календарный фонд

*Статья рекомендована к опубликованию начальником центра мониторинга технического состояния локомотивов новых серий ООО «СТМ-Сервис», канд. техн. наук Д. Л. Худояровым. E-mail: Khudojarovd@mail.ru.*

**Игорь Станиславович Цихалевский**, канд. техн. наук, доцент; кафедра «Электрическая тяга» Уральского государственного университета путей сообщения; Екатеринбург, Россия. E-mail: itsihalevsky@usurt.ru ORCID 0000-0002-1509-6768.

**Антон Геннадьевич Русаков**, аспирант; кафедра «Электрическая тяга» Уральского государственного университета путей сообщения; Екатеринбург, Россия. E-mail: An96Ru@ya.ru ORCID 0000-0002-2349-8302.

*The article is recommended for publishing by the head of the centre for technical condition monitoring of the new series locomotives at LLC «STM-Service», Candidate of Technical Science D. L. Khudojarov. E-mail: Khudojarovd@mail.ru.*

**Igor Stanislavovich Tsikhalevsky**, Candidate of Technical Sciences, Associate Professor; Chair of «Electric Traction» of the Ural State University of Railway Transport; Yekaterinburg, Russia. E-mail: itsihalevsky@usurt.ru ORCID 0000-0002-1509-6768.

**Anton Gennadyevich Rusakov**, Post-graduate student; Chair of «Electric Traction» of the Ural State University of Railway Transport; Yekaterinburg, Russia. E-mail: An96Ru@ya.ru ORCID 0000-0002-2349-8302.

времени, показатель, коэффициент технической готовности, учетное состояние, ремонтное предприятие.

DOI: 10.20291/2079-0392-2021-1-40-45

### Abstract

The revision of the business process of operation and repair of locomotives also led to revision of the indicators that characterize the quality of repairs and maintenance performed. The article considers a new indicator that characterizes the quality of work of locomotive repair enterprises of service companies. The components of the equation are investigated and the procedure for calculating the technical readiness

coefficient is analyzed. The analysis of the order regulating the procedure for accounting for the time when the locomotive section is in the condition was made. According to the results of the analysis, all accounting conditions are collected in groups in accordance with the calculation formula. The source of obtaining the initial data on the location of the locomotive section in the accounting condition is determined. The initial data is analyzed and the results are presented. The actual value of the technical readiness coefficient is calculated with and without taking into account administrative costs. The term «locomotive technical

readiness corridor» is defined. The actual availability of serviceable locomotives at the disposal of the operational locomotive depot along the upper and lower boundaries of the corridor is calculated. It is revealed that the new indicator can be used to characterize the quality and completeness of the work performed by the service company, but it is not enough to assess the actual availability of serviceable traction rolling stock.

**Keywords:** locomotive, service, calendar time fund, indicator, coefficient of technical readiness, accounting condition, repair company.

DOI: 10.20291/2079-0392-2021-1-40-45

В результате реформы локомотивного комплекса изменился бизнес-процесс организации эксплуатации и ремонта тягового подвижного состава в части передачи функций обслуживания и ремонта специализированным операторам фирменного сервисного обслуживания.

Так, по состоянию на 1.06.2014 г. почти 19 тыс. ед. тягового подвижного состава и 108 ремонтных предприятий перешли в руки частных сервисных компаний в соответствии с условиями заключенных договоров.

Более шести лет локомотивный комплекс работает по-новому, однако вопросы, связанные с содержанием парка локомотивов, остаются актуальными. Для безусловного выполнения плана по перевозкам сегодня необходима исправная локомотивная тяга, дефицит которой периодически возникает на отдельных участках сети дорог.

Трансформирование устоявшегося бизнес-процесса повлекло за собой пересмотр приоритетов в использовании показателей, характеризующих качество работы ремонтного предприятия [1].

Ключевой показатель для нового бизнес-процесса характеризует надежность тягового подвижного состава, определяемый как отношение фонда времени пребывания локомотива в работоспособном состоянии к общему фонду времени за рассматриваемый календарный период [2]:

$$КТГ = \frac{T_{рсл}}{T_{рсл} + T_{отл} + T_{плл} + T_{анз}}, \quad (1)$$

где  $T_{рсл}$  – время пребывания локомотива  $n$ -й серии в работоспособном состоянии;  $T_{плл}$  – время пребывания локомотивов в неработоспособном состоянии в связи с обслуживанием;  $T_{отл}$  – время пребывания локомотивов в неработоспособном состоянии в связи с гарантийным ремонтом локомотивов;  $T_{анз}$  – суммарное время ожидания сервисного обслуживания и иных административных издержек.

Этот показатель нормируется. При выполнении или превышении заданного значения коэффициента технической готовности (КТГ) сервисная компания

выполняет принятые на себя обязательства. При более низком значении сервисная компания должна компенсировать дефицит локомотивов за счет собственного парка или за счет соответствующих штрафов [3, 5].

Жесткая привязка выполнения заданного показателя к финансовым результатам работы мотивирует сервисную компанию на достижение установленных плановых значений.

Расчет фактического значения КТГ производится на основании данных о времени нахождения локомотива в учетных состояниях, принимаемых из автоматизированной системы организации оперативного управления перевозками на железной дороге (АСОУП-2) [2].

Все события регистрируются в информационной системе при помощи набора кодов, которые передаются с рабочих мест ответственными работниками.

Система учета локомотивного парка ОАО «РЖД» и порядок формирования внутренней статистической отчетности утверждены в [4], содержащем перечень кодов с описанием состояний, относящихся к локомотивному комплексу, для учета локомотивного парка.

Такие состояния проработаны и разделены на группы состояний в соответствии с формулой расчета планового значения КТГ. Результаты деления

кодов АСОУП-2 по группам состояний представлены на рис. 1.

Из рис. 1 ясно, что время неработоспособного состояния складывается из времени нахождения локомотивов в учетных состояниях, связанных с ремонтом и административными издержками.

Время в ремонте зависит от готовности ремонтного предприятия выполнить цикловые работы в установленные сроки [5, 6]. Административные издержки: время, затраченное на ожидание ремонта, передислокацию со станции до места ремонта, кратковременные перерывы производственных процессов из-за отказов на инфраструктуре предприятия.

При расчете фактического значения КТГ к учету принимается все время нахождения локомотива в неработоспособном состоянии только по ответственности сервисной компании. Поэтому выполнение показателя КТГ на заданном уровне не может полноценно охарактеризовать текущее техническое состояние локомотивного парка.

Для подтверждения достоверности теории, что сумма времени во всех учетных состояниях по данным системы АСОУП-2 соответствует календарному фонду времени в рассматриваемом периоде и определения максимально и минимально возможных значений КТГ, обработаны статистические данные о времени нахождения локомотива

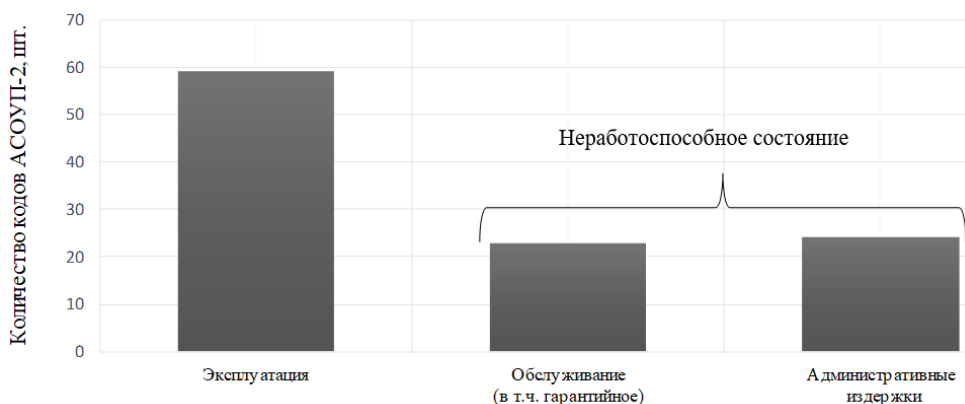


Рис. 1. Количество кодов АСОУП-2 по группам состояний

в учетных состояниях. Для анализа приняты данные по локомотивному парку серии 2ЭС6 эксплуатационного локомотивного депо Свердловск-Сортировочный за октябрь 2020 года. Результаты обработки данных сведены в таблицу 1.

Принимая календарный фонд времени как величину, значение которой в периоде не изменяется, построим график отклонения статистических данных относительно календарного фонда времени (рис. 2).

Результаты обработки данных о нахождении локомотивов в учетных состояниях имеют высокую степень достоверности, поэтому в соответствии с формулой (1) рассчитаем два значения фактического КТГ (без задержек и с учетом всех задержек сервисного обслуживания).

На основании статистических данных о времени нахождения секций

локомотивов в состояниях определим количество локомотивов в эксплуатационном локомотивном депо в соответствии с рассматриваемыми периодами:

$$N_{\text{расп.депо}} = \frac{\sum_n^m N_{\text{лок}} \cdot (T_{\text{рсл}} + T_{\text{отл}} + T_{\text{плл}} + T_{\text{анз}})}{24}, \quad (2)$$

где  $n$  – дата начала периода суммирования значений;  $m$  – дата окончания периода суммирования значений.

На основании статистических данных о времени нахождения секций локомотивов в рабочих и нерабочих состояниях определим количество локомотивов эксплуатируемого парка в соответствии с рассматриваемыми периодами:

$$N_{\text{экспл}} = \frac{\sum_n^m N_{\text{лок}} \cdot T_{\text{рсл}}}{24}. \quad (3)$$

Таблица 1

Результаты обработки данных

Период наблюдения	Наблюдаемые объекты, секции, кол-во	Календарный фонд времени, ч	Статистические данные, ч	Отклонение, %
01.10–05.10	350	42 000	40 822	97
06.10–10.10	350	42 000	42 165	100
11.10–15.10	350	42 000	40 673	97
16.10–20.10	350	42 000	42 232	101
20.10–25.10	350	42 000	42 378	101
26.10–31.10	350	50 400	48 074	95
Октябрь 2020	350	260 400	256 344	98

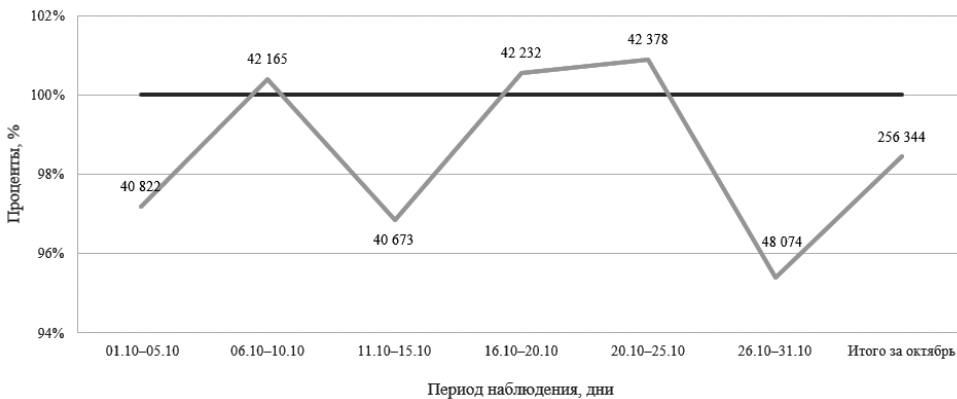


Рис. 2. График отклонения статистических данных относительно календарного фонда времени

По формулам (2) и (3) составим равенство:

$$N_{\text{расп.депо}} \cdot \text{КТГ}_{\text{факт}} = N_{\text{экспл.}} \quad (4)$$

Равенство (4) выполняется при условии, что все задержки проведения обслуживания и ремонта локомотивов принимаются в расчет значения КТГ. В иных случаях равенство не выполняется, а возникшее отклонение показывает величину расхождения значений по содержанию парка локомотивов.

Выполним расчет и построим коридор значений технической готовности (таблица 2 и рис. 3).

По результатам расчета получаем коридор значений технической готовности, нижняя граница которого показывает реальную картину по текущему

техническому состоянию парка локомотивов.

Результаты построения графика представлены на рис. 3.

Все значения, не попадающие в нижнюю границу коридора значений, и есть потенциальное значение коэффициента технической готовности, так как не все задержки выполнения плановых видов обслуживания и ремонта возникают по вине ремонтного предприятия.

Представленный анализ и вычисления показывают, что КТГ может применяться в роли показателя, характеризующего качество и полноту сервисного обслуживания сервисной компаний. Принимаемые из системы АСОУП-2 данные о времени нахождения в учетных состояниях имеют высокую степень достоверности.

Таблица 2

Результаты расчета

Период наблюдения	Кол-во секций $N_{\text{расп.депо}}$	КТГ с а.и.*	КТГ без а.и.	$N_{\text{экспл.}}$ при КТГ с а.и.	$N_{\text{экспл.}}$ при КТГ без а.и.	Откл., секции
01.10–05.10	340	0,905	0,940	308	320	12
06.10–10.10	351	0,846	0,905	297	318	21
11.10–15.10	339	0,841	0,891	285	302	17
16.10–20.10	352	0,829	0,875	292	308	16
20.10–25.10	353	0,860	0,898	304	317	13
26.10–31.10	334	0,892	0,925	298	309	11
Октябрь 2020	344	0,863	0,906	297	312	15

\*а.и. – административные издержки.

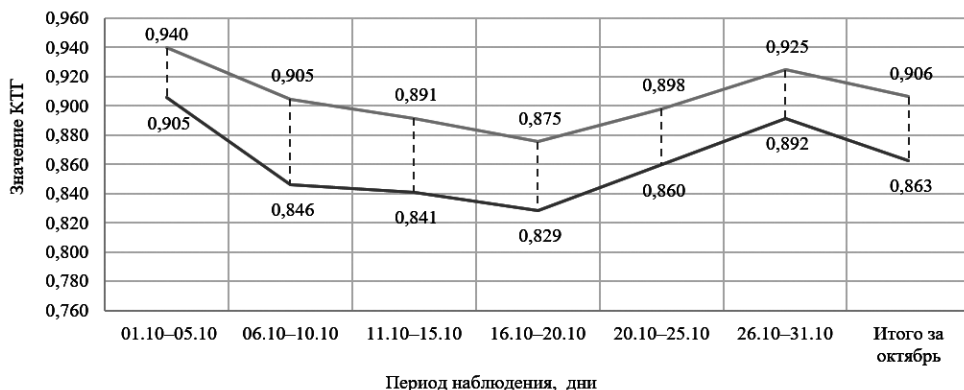


Рис. 3. График выполнения КТГ

Полученные результаты вычисления позволяют сделать вывод, что для контроля наличия исправного тягового подвижного состава на заданные объемы

перевозок требуется другой показатель, который будет сигнализировать о действительной текущей ситуации. ■

#### Литература

1. Бегагоин Э. И., Русаков А. Г. Оценка энергетической эффективности рекуперативного торможения // Научно-технический вестник Поволжья. 2014. № 1. С. 57–60.
2. Кокшаров В. А., Казачинская Д. И. Методический подход к оценке сервисного обслуживания локомотивов // Colloquium-journal. 2019. № 8-7 (32). С. 49–53. ISSN 2520-6990.
3. Лебедев А. А., Ламкин А. Г. Концепция и целевая модель сервисного обслуживания локомотивов в ОАО «РЖД» // Локомотив. 2013. № 11 (683). С. 2–4. ISSN 0869-8147.
4. Распоряжение об утверждении инструктивных указаний по формированию формы внутренней статистической отчетности ТО-4 ВЦ «Показатели о наличии и состоянии локомотивов» от 27.11.2013 № 2597р. – М. : Изд-во ОАО «РЖД», 2013. С. 1–21
5. Пустовой В. Н. Перспективы оптимизации системы ремонта локомотивов // Локомотив. 2015. № 11 (707). С. 6–11. ISSN 0869-8147.
6. Буйносов А. П., Пышный И. М., Тихонов В. А. Модель эксплуатационного износа сложной технической системы // Фундаментальные и прикладные проблемы техники и технологии. 2013. № 1. С. 52–57.
7. Шантаренко, С. Г., Капустьян М. Ф., Осяев А. Т. Оптимизация локомотиворемонтного комплекса // Железнодорожный транспорт. 2013. № 8. С. 49–51. ISSN 0044-4448.
8. Бабков Ю. В., Перминов В. А., Белова Е. Е., Авдеев М. А. Гарантийные локомотивы – упущенная готовность // Локомотив. 2013. № 5 (677). С. 34–35. ISSN 0869-8147.

#### Literature

1. Begagoin E. I., Rusakov A. G. Evaluation of the energy efficiency of regenerative braking // Scientific and Technical Bulletin of the Volga Region. [Otsenka ehnergeticheskoy ehffektivnosti rekuperativnogo tormozheniya // Nauchno-tekhnikeskij vestnik Povolzh'ya.] 2014, № 1. P. 57–60.
2. Koksharov V. A., Kazachinskaya D. I. Methodical approach to evaluation of serviceable maintenance of locomotives. // Colloquium-journal. [Metodicheskij podkhod k otsenke servisnogo obsluzhivaniya lokomotivov // Colloquium-journal.] 2019, № 8-7 (32). P. 49–53. ISSN 2520-6990.
3. Lebedev A. A., Lamkin A. G. Concept and target model of locomotive servicing in JSC «Russian Railways» // Locomotive. [Kontseptsiya i tselevaya model' servisnogo obsluzhivaniya lokomotivov v ОАО «RZHD» // Lokomotiv.] 2013. № 11 (683). P. 2–4. ISSN 0869-8147.
4. Order on approval of guidelines on the formation of the form of internal statistical reporting TO-4 of the VC «Indicators on the availability and condition of locomotives» dated 27.11.2013 № 2597r. – М. : Publishing House of JSC «Russian Railways» [Rasporyazhenie ob utverzhdenii instrukivnykh ukazaniy po formirovaniyu formy vnutennej statisticheskoy otchetnosti TO-4 VTS «Pokazateli o nalichii i sostoyanii lokomotivov» ot 27.11.2013 № 2597r. – М. : Izd-vo ОАО «RZHD»], 2013. P. 1–21.
5. Pustovoy V. N. Prospects for optimizing the locomotive repair system. [Perspektivy optimizatsii sistemy remonta lokomotivov // Lokomotiv.] 2015. № 11 (707). Pp. 6–11. ISSN 0869-8147.
6. Buinosov A. P., Pyshny I. M., Tikhonov V. A. Model of operational wear of a complex technical system // Fundamental and applied problems of engineering and technology. [Model' ehkspluatatsionnogo iznosa slozhnoj tekhnicheskoy sistemy // Fundamental'nye i prikladnye problemy tekhniki i tekhnologii.] 2013. № 1. Pp. 52–57.
7. Shantarenko, S. G., Kapustyan, M. F., Osyayev, A. T. Optimization of the locomotive repair complex // Railway transport. [Optimizatsiya lokomotivoremontnogo kompleksa // ZHeleznodorozhnyj transport.] 2013. № 8. Pp. 49–51. ISSN 0044-4448.
8. Babkov Yu. V., Perminov V. A., Belova E. E., Avdeev M. A. Warranty locomotives – availability missed. [Garantijnye lokomotivy – upushhennaya gotovnost' // Lokomotiv.] 2013. № 5 (677). Pp. 34–35. ISSN 0869-8147.

*Статья сдана в редакцию 3 февраля 2021 года*



УДК 658.5.011

А. Л. Каштанов, А. А. Комяков, М. М. Никифоров

## Прогнозирование и верификация ключевых показателей энергетической эффективности железнодорожного транспорта

UDC 658.5.011

A. L. Kashtanov, A. A. Komyakov, M. M. Nikiforov

## Forecasting and verification of railway transport energy efficiency key indicators

### Аннотация

В статье отражены вопросы прогнозирования целевых показателей энергетической эффективности на примере ОАО «Российские железные дороги».

Рассмотрены подходы, выбранные для оценки количественных значений ключевых показателей эффективности холдинга «РЖД» при разработке Энергетической стратегии на период до 2020 г. и на перспективу до 2030 г. Принятые методы условно классифицированы на четыре группы, в том числе: эвристический метод, на основе анализа временных трендов, косвенный метод на основании известных значений показателей и с применением математических моделей.

Подробно рассмотрен метод прогнозирования удельного расхода электроэнергии и дизельного топлива на тягу поездов и энергоёмкости производственной деятельности ОАО «РЖД». Разработаны регрессионные модели, характеризующие зависимость удельного расхода ТЭР от таких показателей как объем перевозочной работы, средняя масса поезда, доля грузовой работы в общей приведенной работе.

Для оценки точности полученных прогнозных значений показателей, вошедших в Энергетическую стратегию ОАО «РЖД», выполнена их верификация по итогам 2017–2019 гг. Полученные результаты позволяют говорить о достаточной эффективности рассмотренных в статье подходов к прогнозированию КПЭ ОАО «РЖД». Погрешность прогнозирования основного показателя энергоэффективности ОАО «РЖД» – энергоёмкости производственной деятельности – составила 0,06 %.

**Ключевые слова:** прогнозирование, топливно-энергетические ресурсы, верификация, энергетическая эффективность.

DOI: 10.20291/2079-0392-2021-1-46-54

### Abstract

The article reflects the issues of forecasting the target indicators of energy efficiency on the example of JSC «Russian Railways».

The approaches selected for assessing the quantitative values of the key performance indicators of the Russian Railways holding in the development of the Energy Strategy for the period up to 2020 and for the future up to 2030 are considered. The accepted methods are conventionally classified into four groups, including: a heuristic method based on the analysis of time trends, an indirect method based on known values of indicators and using mathematical models.

The method of forecasting the specific consumption of electricity and diesel fuel for train traction and the energy intensity of the production activity of JSC «Russian Railways» is considered in detail. Regression models have been developed that characterize the dependence of the specific fuel and energy consumption on such indicators as the volume of transportation work, the average mass of the train, and the share of freight work in the total work.

In order to assess the accuracy of the obtained forecast values of the indicators included in the energy strategy of JSC «Russian Railways», they were verified by the results of 2017–2019. The results obtained allow us to speak about the sufficient effectiveness of the approaches considered in the article to predict the KPI of JSC «Russian Railways». The error in forecasting the main indicator of energy efficiency of JSC «Russian Railways» – the energy intensity of production activities – was 0,06 %.

**Keywords:** forecasting, fuel and energy resources, verification, energy efficiency.

DOI: 10.20291/2079-0392-2021-1-46-54

Статья рекомендована к опубликованию д-ром техн. наук, профессором Омского государственного университета путей сообщения [В. М. Черемисиным].

Алексей Леонидович Каштанов, канд. техн. наук, доцент; кафедра «Теоретическая электротехника» Омского государственного университета путей сообщения; г. Омск, Россия. E-mail: al.kashtanov@mail.ru. ORCID 0000-0002-7610-1946.

Александр Анатольевич Комяков, канд. техн. наук, доцент; кафедра «Теоретическая электротехника» Омского государственного университета путей сообщения; г. Омск, Россия. E-mail: tskom@mail.ru. ORCID 0000-0002-1960-3018.

Михаил Михайлович Никифоров, канд. техн. наук, заместитель директора научно-исследовательского института энергосбережения на железнодорожном транспорте Омского государственного университета путей сообщения; г. Омск, Россия. E-mail: nikiforovmm@mail.ru. ORCID 0000-0001-7629-7072.

The article is recommended for publishing by D-r of tech. science, Professor, Omsk state university of railway transport [V. M. Cheremisin].

Alexey Leonidovich Kashtanov, Candidate of Technical Science, Associate Professor; Department of «Theoretical Electrical Engineering» of Omsk State University of Railway Transport; Omsk, Russia. E-mail: al.kashtanov@mail.ru. ORCID 0000-0002-7610-1946.

Alexander Anatolyevich Komyakov, Candidate of Technical Science, Associate Professor; Department of «Theoretical Electrical Engineering» of Omsk State University of Railway Transport; Omsk, Russia. E-mail: tskom@mail.ru. ORCID 0000-0002-1960-3018.

Mikhail Mikhailovich Nikiforov, Candidate of Technical Science, Deputy Director of the Research Institute of Energy Saving on Railway Transport of Omsk State University of Railway Transport; Omsk, Russia. E-mail: nikiforovmm@mail.ru. ORCID 0000-0001-7629-7072.

Организации, осуществляющие регулируемые виды деятельности, в том числе ОАО «РЖД» [1], должны иметь программу энергосбережения, которая содержит целевые показатели энергоэффективности и механизмы их достижения [2]. Энергосберегающая деятельность таких компаний должна ориентироваться на выполнение указанных целевых показателей.

Действующая редакция Энергетической стратегии, разработанная в 2016 г. специалистами Омского государственного университета путей сообщения (ОмГУПС) [3–5], ориентирована на период до 2020 г.; в 2021 г. планируется ее актуализация (при участии ВНИИЖТ и ОмГУПС).

В действующей Энергетической стратегии сформирована система из 24-х ключевых показателей эффективности (КПЭ) холдинга «РЖД» для трех сценариев (консервативный, базовый, оптимистичный) [6]. Пять КПЭ ориентированы на повышение энергоэффективности перевозочного процесса, столько же – на развитие комплекса теплоснабжения и водоотведения, четыре – на развитие электросетевого комплекса, три – на развитие инфраструктурного комплекса, зданий и сооружений, нетяговой энергетики, один – на развитие энергохозяйства дочерних и зависимых обществ. Также установлены шесть КПЭ, ориентированных на общие показатели развития холдинга.

Для оценки количественных значений указанных показателей на 2020–2030 гг. использованы методы, которые можно разделить на четыре условные группы.

Значительная часть показателей определяется эвристическим методом по программам развития или прогнозам соответствующих подразделений ОАО «РЖД», например, износ объектов теплоснабжения, водоснабжения и водоотведения, производство ТЭР от возобновляемых источников энергии, реконструкция контактной сети, количество тяговых подстанций, оснащенных АСКУЭ, протяженность бесстыкового пути и др.

Для прогнозирования таких показателей, как небаланс электрической энергии в тяговой сети [7, 8], расход ТЭР на отопление, вентиляцию и горячее водоснабжение зданий, сокращение потерь электрической энергии в электросетях при ее передаче и т.п. анализируется выборка значений за предшествующие периоды и формируется временной ряд. Затем на основе анализа временных трендов осуществляется прогнозирование нужных значений [9, 10].

Такой показатель, как удельные выбросы парниковых газов, определяется косвенным методом на основании известных значений других КПЭ.

Наибольшую сложность представляет задача прогнозирования удельных показателей энергоэффективности (энергоёмкости), которые в соответствии с 261-ФЗ определяются как отношение полезного эффекта от использования энергоресурсов к их затратам. Основная проблема состоит в том, что необходимо не только спрогнозировать расход энергоресурсов, на который влияет множество факторов, но и оценить при этом изменение полезного эффекта, т.е. объем производственной деятельности. К числу таких КПЭ относятся удельный расход электроэнергии и дизельного топлива на тягу поездов (УРЭ и УРД), энергоёмкость производственной деятельности ОАО «РЖД».

Прогнозные значения перевозочной работы на электрической и дизельной тяге рассчитывались на основе исходных данных о грузообороте и пассажирообороте за 2003–2015 гг., которые определены как основные влияющие факторы [6]. Кроме того, рассматривалась возможность использования и других исходных данных (протяженность электрифицированных линий, доля электрической тяги в общей перевозочной работе), однако их применение существенно улучшило показатели точности моделей.

На основе представленных данных определена работа в приведенных тонно-километрах:



$$\sum PL_{\text{прив}} = \sum PL + K \sum AL, \quad (1)$$

где  $K$  – коэффициент приведения пассажиро-км к т · км.

На основе полученных выборок сформированы регрессионные модели, характеризующие зависимость перевозочной работы на электрической и дизельной тяге от работы в приведенных тонно-километрах.

Для электротяги:

$$A_{\text{эл}} = -441768 + 1611 \sum PL_{\text{прив}}. \quad (2)$$

Для дизельной тяги:

$$A_{\text{диз}} = 196061 + 169,6 \sum PL_{\text{прив}}. \quad (3)$$

Так как показатели точности моделей оказались на достаточном уровне (коэффициент корреляции для электрической тяги составил 0,98, для дизельной – 0,80), то нет необходимости в использовании других методов моделирования (искусственные нейронные сети, метод опорных векторов и др.).

Для прогнозирования объема перевозочной работы на период до 2030 г. использовалась информация о плановых значениях грузо- и пассажирооборота, представленная Департаментом экономической конъюнктуры и стратегического развития ОАО «РЖД».

Для формирования математических моделей, характеризующих зависимость удельного расхода энергоресурсов в расчете на единицу перевозочной работы, использовались ретроспективные исходные данные за 2003–2015 гг. На основе корреляционного анализа отобраны факторы, оказывающие наибольшее влияние на удельные энергозатраты на тягу поездов: объем перевозочной работы на электротяге и дизельной тяге (в дальнейшем обозначен  $X_1$ ), эксплуатационная длина электрифицированных линий ( $X_2$ ), средняя масса поезда ( $X_3$ ), среднесуточная производительность локомотива ( $X_4$ ), средняя участковая скорость ( $X_5$ ), доля грузовой работы в общей приведенной работе ( $X_6$ ).

С учетом рассматриваемых факторов разработаны регрессионные модели, характеризующие зависимость удельного расхода ТЭР от указанных показателей, которые имеют вид

$$w_{\text{уд}} = X_1 a_1 + X_2 a_2 + X_3 a_3 + X_4 a_4 + X_5 a_5 + X_6 a_6 + B, \quad (4)$$

где  $a_1$ – $a_6$ ,  $B$  – коэффициенты уравнения регрессии (таблица).

Коэффициенты уравнения регрессии для прогнозирования удельных энергозатрат на тягу поездов

Коэффициент	Электротяга	Дизельная тяга
$B$	279,8433144	162,6326995
$a_1$	–0,0000020	–0,0000039
$a_2$	–2,5002181	0
$a_3$	–0,0071647	–0,0064651
$a_4$	0,0012712	0,0052860
$a_5$	–0,1187696	–0,0230648
$a_6$	–44,7541767	–122,0539347

Коэффициент корреляции регрессионных уравнений для электрической тяги составил 0,993, для дизельной – 0,987.

Прогнозные значения удельного расхода энергоресурсов на тягу поездов до 2030 г. приведены на рис. 1 и 2.

В соответствии с «Методикой определения энергоемкости и удельной энергетической эффективности производственной деятельности ОАО «РЖД» [11], объем работ и услуг, связанных с производственной деятельностью, включает в себя следующие составляющие, приведенные в т · км нетто через соответствующие коэффициенты: эксплуатационный грузооборот, оплаченный порожний пробег собственного (арендованного) подвижного состава, пассажирооборот в дальнем следовании и пригородном сообщении, объем работ и услуг ОАО «РЖД», связанных с перевозочными видами производственной деятельности.

Если прогноз первых трех составляющих с учетом имеющихся данных

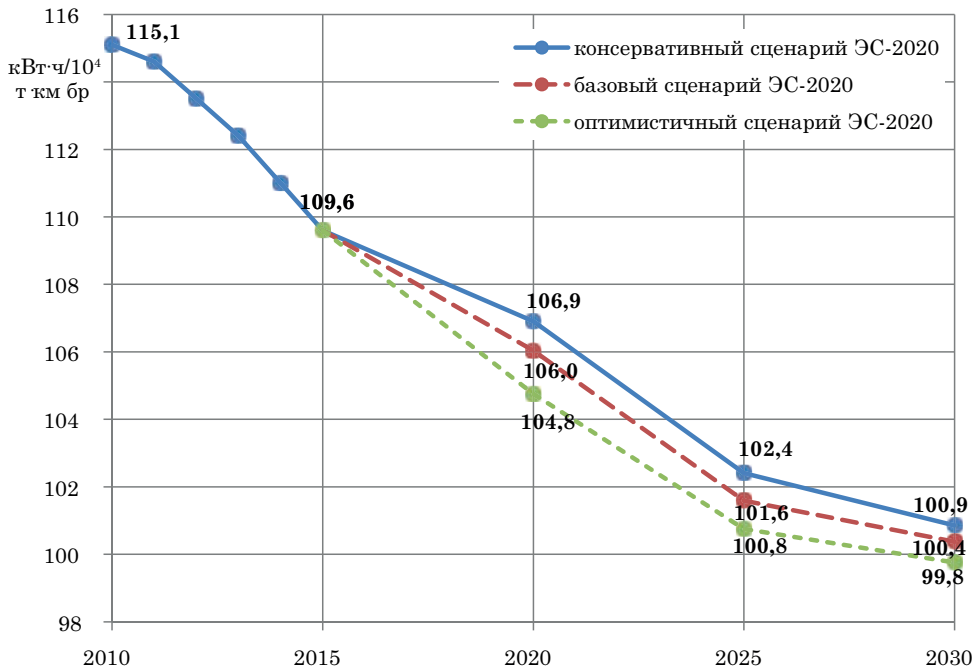


Рис. 1. Прогноз изменения УРЭ во всех видах движения до 2030 г.

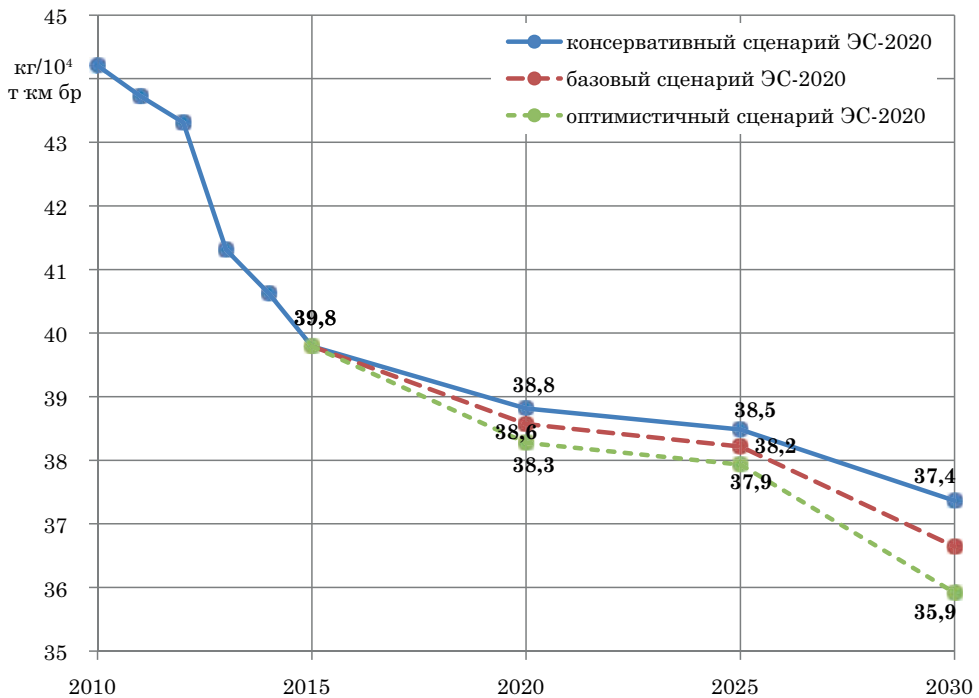


Рис. 2. Прогноз изменения УРД во всех видах движения до 2030 г.

о грузообороте и пассажирообороте достаточно прост, то оценить прогнозный объем работ и услуг ОАО «РЖД», связанных с неперевозочными видами производственной деятельности, до 2030 г. затруднительно, так как этот показатель рассчитывается через соотношение доходов ОАО «РЖД» по неперевозочным видам деятельности и по обычным видам деятельности. Эта составляющая сформирована на основе авторегрессионной модели с применением искусственных нейронных сетей (ИНС).

Наилучшей конфигурацией ИНС стал многослойный перцептрон типа MLP 1-3-1 с одним нейроном на входном и выходном слоях и тремя на скрытом, типы активационных функций на скрытом слое – тангенциальная, на выходном – тождественная, коэффициент корреляции для обучающей выборки – 0,69. На основе сформированной ИНС рассчитан прогнозный объем работ и услуг ОАО «РЖД», связанных с неперевозочными видами производственной деятельности, а затем определены прогнозные значения объемов работ и услуг, связанных с производственной деятельностью.

На основе указанных данных рассчитаны прогнозные значения энергоемкости ОАО «РЖД» для различных

сценариев развития (рис. 3). Этот показатель устанавливается Федеральной антимонопольной службой в качестве основного целевого показателя энергоэффективности ОАО «РЖД».

Для оценки точности прогнозных значений КПЭ выполнена их верификация по итогам 2017–2019 гг.

Сначала необходимо оценить фактические значения основных производственных показателей ОАО «РЖД» (основу для формирования математических моделей), влияющих на энергетическую эффективность. Так как разработка Энергетической стратегии предусматривала определение показателей для конкретных временных периодов (2020 г. и 2030 г.), прогнозные значения за 2017–2019 гг. рассчитаны методом интерполяции между значениями за 2015 г. (факт) и 2020 г. (прогноз).

Фактические значения основных производственных показателей холдинга за 2017, 2018 и 2019 гг. приняты на основе годового отчета ОАО «РЖД», анализа использования ТЭР в ОАО «РЖД» и работы Трансэнерго.

Согласно фактическим отчетным данным, развитие железнодорожного транспорта в рассматриваемый период осуществлялось в основном опережающими темпами в сравнении

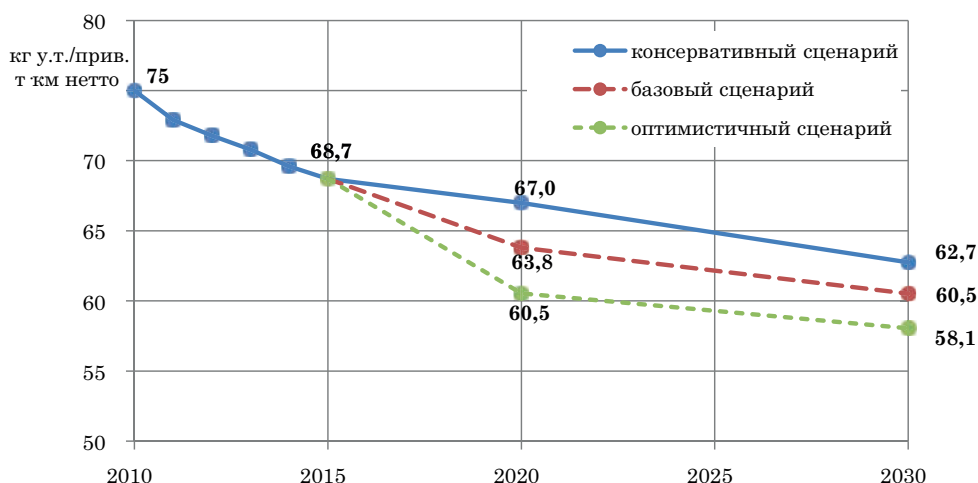


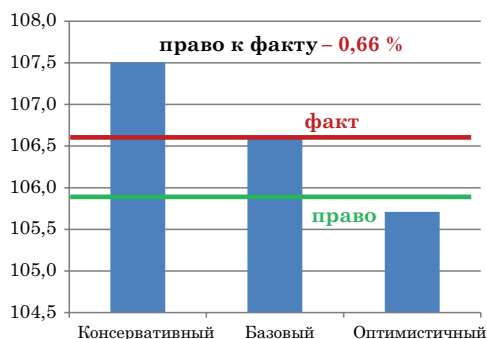
Рис. 3. Прогноз изменения энергоемкости производственной деятельности холдинга «РЖД» на период до 2030 года

с прогнозами, установленными в проектах финансового плана и инвестиционной программы ОАО «РЖД» на 2017 г. и на плановый период 2018 и 2019 гг. и в Генеральной схеме развития сети железных дорог ОАО «РЖД» до 2020 и 2025 гг. Намного выше ожиданий оказался эксплуатационный грузооборот (по итогам 2019 г. – на 2,2 % в сравнении с оптимистичными ожиданиями), что повлияло на увеличение перевозочной работы. Но перевозочная работа на дизельной тяге росла медленнее, чем на электрической (наблюдается тенденция увеличения доли электрической тяги в общей перевозочной работе). Пассажирооборот по итогам 2019 г. тоже оказался выше оптимистичного сценария на 1,1 %.

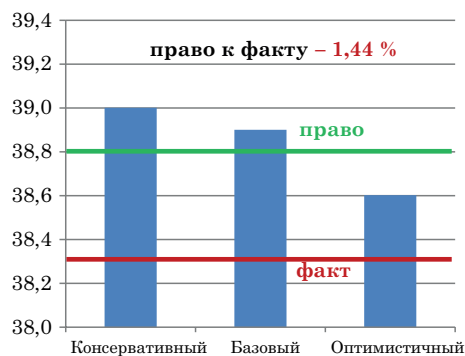
Из числа эксплуатационных показателей движения ниже консервативного

сценария оказалась среднесуточная производительность локомотивов, показатели средней массы грузового поезда и средней участковой скорости – в пределах базового и консервативного сценариев. Лучше ожидаемого оказались эксплуатационная длина электрифицированных линий и доля грузовой работы в общей приведенной работе, что положительно сказывается на снижении показателей энергоёмкости.

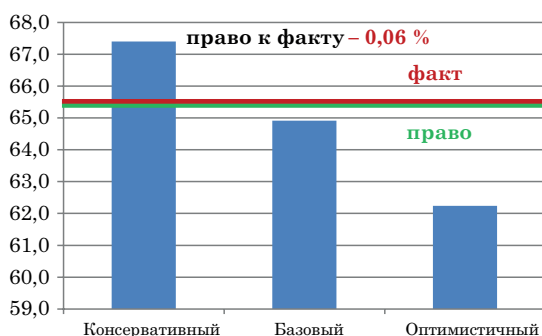
Результаты верификации (рис. 4) показывают, что фактическое значение УРЭ находится на уровне базового сценария, а УРД несколько лучше оптимистичного сценария. Основным же показатель энергоэффективности ОАО «РЖД» – энергоёмкость производственной деятельности – находится на уровне базового сценария, запланированно-го согласно предложенным моделям.



УРЭ на тягу поездов,  
кВт·ч/10<sup>4</sup> т км брутто



УРД на тягу поездов,  
кг/10<sup>4</sup> т км брутто



Энергоёмкость производственной деятельности  
холдинга «РЖД», кг у.т./прив. т км нетто

Рис. 4. Результаты верификации ключевых показателей энергоэффективности ОАО «РЖД», влияющих на энергетическую эффективность, 2019 г.

Объективный метод верификации качества предложенных моделей – сравнение фактических значений показателей не с плановым значением, а с «правом». Под данным термином понимается значение показателя, определенное для фактически достигнутых за рассматриваемый период значений влияющих факторов согласно разработанной модели. Как видно из рис. 4, расхождение «права» к факту по итогам 2019 г. для УРД на тягу поездов составила 1,44 %, для УРЭ на тягу поездов – 0,66 %.

Погрешность прогнозирования основного показателя энергоэффективности ОАО «РЖД» – энергоёмкость производственной деятельности – составила 0,06 %.

Если рассматривать период 2017–2019 гг., то расхождение «права» к факту для УРЭ находится в пределах 0,09 – 0,66 %, для УРД 1,03 – 1,44 %, для энергоёмкости 0,06 – 0,45 %.

Полученные результаты позволяют говорить о достаточной эффективности применяемых к прогнозированию КПЭ ОАО «РЖД» подходов.

Тем не менее при выполнении работ по актуализации действующей Энергетической стратегии ОАО «РЖД» в 2021 г. следует обратить внимание

на следующие перспективные задачи прогнозирования КПЭ.

1. Верификация действующих КПЭ по итогам 2020 г. должна учитывать изменение внешних и внутренних условий функционирования ОАО «РЖД» (пандемия и экономический кризис) на основании SWOT-анализа; при необходимости целесообразно пересмотреть состав КПЭ.

2. Необходимо дообучить математические модели на основе фактических данных за 2016–2020 гг. для уточнения значений коэффициентов, приведенных в таблице.

3. Необходимо рассмотреть возможность изменения метода прогнозирования УРД, например, с применением методов машинного обучения, т.к. точность существующей модели несколько ниже, чем у аналогичных моделей для других КПЭ.

Положительные результаты верификации предложенных методов прогнозирования ключевых показателей энергетической эффективности железнодорожного транспорта позволяют использовать их при разработке в 2021 году Энергетической стратегии ОАО «Российские железные дороги» на период до 2025 года и на перспективу до 2035 года. ■

#### Литература

1. Черемисин В. Т. Основные направления реализации Федерального закона «Об энергосбережении...» № 261-ФЗ ОТ 23.11.09 в холдинге «Российские железные дороги» / В. Т. Черемисин, М. М. Никифоров // Известия Транссиба. – 2010. – № 2 (2). – С. 119–123. ISSN 2220-4245.
2. Никифоров М. М. Целевые показатели энергосбережения и повышения энергетической эффективности системы тягового электроснабжения и электропотребления на нетяговые нужды // Известия Транссиба. – 2010. – № 3 (3). – С. 110–116. ISSN 2220-4245.
3. Энергетическая стратегия холдинга «Российские железные дороги» на период до 2020 г. и на перспективу до 2030 г. : утв. распоряжением ОАО «РЖД» от 14.12.2016. № 2537р. М. : ОАО «РЖД». 2016. – 76 с.
4. Каштанов А. Л. Актуализация энергетической стратегии холдинга «Российские железные дороги» / А. Л. Каштанов, М. М. Никифоров, А. А. Комяков // Инновационные проекты и технологии в образовании, промышленности и на транспорте : М-лы научной конференции / Омский гос. ун-т путей сообщения. – Омск. – 2015. – С. 141–147.
5. Никифоров М. М. О работе по актуализации энергетической стратегии холдинга «Российские железные дороги» на период до 2020 года и на перспективу до 2030 года / М. М. Никифоров, А. Л. Каштанов, А. А. Комяков // Повышение энергетической эффективности наземных транспортных систем : М-лы второй науч.-практич. конф. / Омский гос. ун-т путей сообщения. – Омск. – 2016. – С. 159–165.

6. Комяков А. А. Методология организации ресурсосберегающих производственных систем на железнодорожном транспорте // Известия Самарского научного центра РАН. – 2020. – Т. 22. – № 2. – С. 16–24. ISSN 1990-5378.
7. Никифоров М. М. Прогнозирование небаланса электрической энергии на тягу поездов в границах железных дорог // М. М. Никифоров, С. Ю. Ушаков, А. Г. Зверев / Инновационные проекты и технологии в образовании, промышленности и на транспорте : М-лы научной конференции / Омский гос. ун-т путей сообщения. – Омск. – 2016. – С. 106–112.
8. Давыдов А. И. Прогнозирование небаланса электроэнергии на тягу поездов на основе статистических закономерностей / А. И. Давыдов, М. М. Никифоров // Вестник Ростовского государственного университета путей сообщения. – 2016. – № 2 (62). С. 111–115. ISSN 0201-727X.
9. Каштанов А. Л. Планирование заданий по экономии энергоресурсов на нетяговые нужды железнодорожного транспорта на основе аппроксимации временных рядов / А. Л. Каштанов, А. А. Комяков, М. М. Никифоров // Вестник Ростовского государственного университета путей сообщения. – 2019. – № 1 (73). – С. 106–112. ISSN 0201-727X.
10. Давыдов А. И. Определение тренда изменения удельного расхода электроэнергии на тягу поездов при долгосрочном прогнозировании / А. И. Давыдов, М. М. Никифоров, О. О. Комякова // Вестник Ростовского государственного университета путей сообщения. – 2019. – № 2 (74). – С. 140–148. ISSN 0201-727X.
11. Степанец В. А. Оценка энергетической эффективности производственной деятельности холдинга «РЖД» / В. А. Степанец, Д. Б. Рожицкий // Главный энергетик. – 2012. – № 3. – С. 22–25. ISSN 2074-7489.

#### Literature

1. Cheremisin V. T. Main directions of implementation of the Federal Law» On energy saving... «№ 261-FZ as of 23.11.09 in the «Russian Railways» holding / V. T. Cheremisin, M. M. Nikiforov // Izvestiya Transsib [Osnovnye napravleniya realizatsii Federal'nogo zakona «Ob ehnergoberezhении...» № 261-FZ OT 23.11.09 v kholdinge «Rossijskie zheleznye dorogi» / Izvestiya Transsiba]. – 2010. – № 2 (2). – P. 119–123. ISSN 2220-4245.
2. Nikiforov M. M. Target indicators of energy saving and energy efficiency improvement of the traction power supply and power consumption system for non-traction needs // Izvestiya Transsib [TSelevye pokazateli ehnergoberezheniya i povysheniya ehnergeticheskoy ehffektivnosti sistemy tyagovogo ehlektrosnabzheniya i ehlektropotrebleniya na netyagovye nuzhdy // Izvestiya Transsiba]. – 2010. – № 3 (3). – P. 110–116. ISSN 2220-4245.
3. Energy strategy of the «Russian Railways» holding for the period up to 2020 and long term to 2030 : approved. by the order of JSC «Russian Railways» dated 14.12.2016. № 2537p. M. : JSC «Russian Railways» [EHnergeticheskaya strategiya kholdinga «Rossijskie zheleznye dorogi» na period do 2020 g. i na perspektivu do 2030 g. : utv. rasporyazheniem OAO «RZHD» ot 14.12.2016. № 2537r. M. : OAO «RZHD»]. 2016. – 76 p.
4. Kashtanov A. L. Actualization of the energy strategy of the «Russian Railways» holding / A. L. Kashtanov, M. M. Nikiforov, A. A. Komyakov / Innovative projects and technologies in education, industry and transport : Proceedings of the scientific conference / Omsk State University of Railway Transport [Aktualizatsiya ehnergeticheskoy strategii kholdinga «Rossijskie zheleznye dorogi» / Innovatsionnye proekty i tekhnologii v obrazovanii, promyshlennosti i na transporte : M-ly nauchnoj konferentsii / Omskij gos. un-t putej soobshheniya]. – Omsk, 2015. – P. 141–147.
5. Nikiforov M. M. The work on updating the energy strategy of the «Russian Railways» holding for the period up to 2020 and long term to 2030 / M. M. Nikiforov, A. L. Kashtanov, A. A. Komyakov / Improving the energy efficiency of ground transport systems : Proceeding of 2<sup>nd</sup> scientific and practical conference / Omsk State University of Railway Transport [O rabote po aktualizatsii ehnergeticheskoy strategii kholdinga «Rossijskie zheleznye dorogi» na period do 2020 goda i na perspektivu do 2030 goda / Povyshenie ehnergeticheskoy ehffektivnosti nazemnykh transportnykh sistem : M-ly vtoroj nauch.-prakt. konf. / Omskij gos. un-t putej soobshheniya]. – Omsk. – 2016. – P. 159–165.
6. Komyakov A. A. Methodology of the organization of resource-saving production systems on railway transport / RAS, Samara Research Centre [Metodologiya organizatsii resursoberegayushhikh proizvodstvennykh sistem na zheleznodorozhnom transporte //

- Izvestiya Samarskogo nauchnogo tsentra RAN]. – 2020. – Vol. 22. № 2. – P. 16–24. ISSN 1990-5378.
7. Nikiforov M. M. Predicting the unbalance of electric energy for train traction within the boundaries of railways / M. M. Nikiforov, S. Yu. Ushakov, A. G. Zverev / Innovative projects and technologies in education, industry and transport : Proceedings of the scientific conference / Omsk State University of Railway Transport [Prognozirovanie nebalansa ehlektricheskoy ehnergii na tyagu poezdov v granitsakh zheleznykh dorog / Innovatsionnye proekty i tekhnologii v obrazovanii, promyshlennosti i na transporte : M-ly nauchnoj konferentsii / Omskij gos. un-t putej soobshheniya]. – Omsk. – 2016. – P. 106–112.
  8. Davydov A. I. Forecasting of unbalance of electric power on train traction on the basis of statistical consistent patterns / A. I. Davydov, M. M. Nikiforov // Bulletin of Rostov State University of Railway Transport [Prognozirovanie nebalansa ehlektroehnergii na tyagu poezdov na osnove statisticheskikh zakonomernostej // Vestnik Rostovskogo gosudarstvennogo universiteta putej soobshheniya]. – 2016. – № 2 (62). P. 111–115. ISSN 0201-727X.
  9. Kashtanov A. L. Planning tasks for saving energy resources for non-traction needs of railway transport on the basis of time series approximation / A. L. Kashtanov, A. A. Komyakov, M. M. Nikiforov // Bulletin of Rostov State University of Railway Transport [Planirovanie zadaniy po ehkonomii ehnergoresursov na netyagovye nuzhdy zheleznodorozhnogo transporta na osnove approksimatsii vremennykh ryadov // Vestnik Rostovskogo gosudarstvennogo universiteta putej soobshheniya]. – 2019. – № 1 (73). – Pp. 106–112. ISSN 0201-727X.
  10. Davydov A. I. Determining the trend of changes in the specific consumption of electricity for train traction in long-term forecasting / A. I. Davydov, M. M. Nikiforov, O. O. Komyakova // Bulletin of Rostov State University of Railway Transport [Opredelenie trenda izmeneniya udel'nogo raskhoda ehlektroehnergii na tyagu poezdov pri dolgosrochnom prognozirovanii // Vestnik Rostovskogo gosudarstvennogo universiteta putej soobshheniya]. – 2019. – № 2 (74). – P. 140–148. ISSN 0201-727X.
  11. Stepanets V. A. Evaluation of the energy efficiency of production activities of the Russian Railways Holding / V. A. Stepanets, D. B. Rozhitsky // Glavny energetik [Otsenka ehnergeticheskoy ehffektivnosti proizvodstvennoj deyatel'nosti kholdinga «RZHD» // Glavnyj ehnergetik]. – 2012. – № 3. – P. 22–25. ISSN 2074-7489.

*Статья сдана в редакцию 29 декабря 2020 года*



У.Д. Ниязгулов, Ф. Х. Ниязгулов, А. В. Кривоус

**Исследование точности определения геометрии железнодорожного пути по цифровым снимкам**

U. D. Niyazgulov, F. H. Niyazgulov, A. V. Krivous

**Investigation of the accuracy of determining the geometry of the railway track using digital images****Аннотация**

Цифровая инфраструктура как элемент «цифровой железной дороги» ОАО «РЖД» предусматривает предоставление объективной, полной и актуальной информации об объектах инфраструктуры в цифровом виде для решения широкого круга задач – от инженерных изысканий, проводимых в рамках строительства, ремонта и реконструкции объектов железнодорожной инфраструктуры до функционирования автономного (беспилотного) подвижного состава. Одним из методов получения такой информации является цифровая фотограмметрия. При этом наивысшая точность измерений требуется при определении геометрии железнодорожной колеи.

При высокоточных определениях геометрии железнодорожного пути по цифровым снимкам возникает необходимость учитывать не только параметры аэросъемки и качества цифрового изображения, но и особенности программ обработки изображений. В статье приводятся результаты экспериментальных исследований точности определения геометрии железнодорожного пути по цифровым снимкам в результате обработки их на цифровых фотограмметрических системах (ЦФС) PHOTOMOD и Agisoft Metashape (PhotoScan).

Приведены технические характеристики (ЦФС) PHOTOMOD и Agisoft Metashape (PhotoScan), рассмотрены цели, задачи и содержание выполненных экспериментальных исследований, описаны особенности опытного объекта, характеристики аэросъемочной техники и методы контрольных определений.

**Ключевые слова:** PHOTOMOD, Agisoft Metashape (PhotoScan), аэросъемка, цифровая камера, цифровая фотограмметрическая система (ЦФС), геометрия железнодорожного пути.

DOI: 10.20291/2079-0392-2021-1-55-61

**Abstract**

Digital infrastructure as an element of the «Digital Railway» of JSC «Russian Railways» involves the provision of objective, complete and up-to-date information about infrastructure facilities in digital form to solve a wide range of tasks – from engineering surveys carried out as part of the construction, repair and reconstruction of railway infrastructure facilities to the operation of autonomous (unmanned) rolling stock. One of the methods of obtaining such information is digital photogrammetry. At the same time, the highest measurement accuracy is required when determining the geometry of the railway track.

When determining the geometry of the railway track with high accuracy through digital images, it becomes necessary to take into account not only the parameters of aerial photography and the quality of digital images, but also the features of image processing programs. The article presents the results of experimental studies of the accuracy of determining the geometry of the railway track using digital images as a result of processing them on the digital photogrammetric systems (DFS) PHOTOMOD and Agisoft Metashape (PhotoScan).

The technical characteristics (CFS) of PHOTOMOD and Agisoft Metashape (PhotoScan) are given, the goals, objectives and content of the experimental studies performed are considered, the features of the experimental object, the characteristics of the aerial survey equipment and the methods of control determinations are described.

**Keywords:** PHOTOMOD, Agisoft Metashape (PhotoScan), aerial photography, digital camera, digital photogrammetric system (DFS), railway track geometry.

DOI: 10.20291/2079-0392-2021-1-55-61

*Статья рекомендована к опубликованию канд. техн. наук, доцентом Российского университета транспорта А. А. Сидраковым. E-mail: sidrakov@miit.ru.*

**Урал Давлетшиевич Ниязгулов**, канд. техн. наук, профессор; кафедра «Геодезия, геоинформатика и навигация» Российского университета транспорта (МИИТ); Москва, Россия. E-mail: transgeo@yandex.ru. ORCID 0000-0003-0749-1853.

**Филиз Хайдарович Ниязгулов**, аспирант; кафедра «Геодезия, геоинформатика и навигация» Российского университета транспорта (МИИТ), Москва, Россия. E-mail: filyuz1989@yandex.ru. ORCID 0000-0001-6901-3318.

**Андрей Владиславович Кривоус**, аспирант; кафедра «Геодезия, геоинформатика и навигация» Российского университета транспорта (МИИТ); Москва, Россия. E-mail: andrey-krivous@rambler.ru. ORCID 0000-0002-4408-2509.

*The article is recommended for publishing by Candidate of Technical Science, Associate Professor of the Russian University of Transport A. A. Sidrakov. E-mail: sidrakov@miit.ru.*

**Ural Davletshievich Niyazgulov**, Candidate of Technical Science, Professor; Chair of «Geodesy, Geoinformatics and Navigation» of the Russian University of Transport (MIIT); Moscow, Russia. E-mail: transgeo@yandex.ru. ORCID 0000-0003-0749-1853.

**Filyuz Khaydarovich Niyazgulov**, Postgraduate Student; Chair of «Geodesy, Geoinformatics and Navigation», Russian University of Transport (MIIT), Moscow, Russia. E-mail: filyuz1989@yandex.ru. ORCID 0000-0001-6901-3318.

**Andrey Vladislavovich Krivous**, Postgraduate Student; Chair of «Geodesy, Geoinformatics and Navigation», Russian University of Transport (MIIT); Moscow, Russia. E-mail: andrey-krivous@rambler.ru. ORCID 0000-0002-4408-2509.



В железнодорожной отрасли разрабатывается и реализуется проект «Цифровая железная дорога» ОАО «РЖД», который представляет совокупность цифровых информационных и коммуникационных технологий, процессов и стандартов, построенных на принципах организационного и технологического взаимодействия между пользователями транспортных услуг, системой управления движением и инфраструктурой.

Создание и развитие цифровой инфраструктуры как подсистемы проекта «Цифровая железная дорога» ОАО «РЖД» предусматривает создание технологий информационного моделирования состояния пути и его элементов в едином координатном пространстве на основе спутниковых методов и с применением новых научных и технологических подходов.

Один из перспективных методов создания цифровых моделей объектов инфраструктуры железных дорог – фотограмметрия, технология создания 3D-моделей на основе фотографий реального объекта.

Применение спутниковых методов для геодезического обеспечения результатов цифровой съемки и современные автоматизированные программные средства обработки результатов цифровой съемки привели к широкому внедрению цифровой фотограмметрии в самые различные отрасли производства, науки, мониторинга за объектами и явлениями.

Преимущества применения цифровой фотограмметрии: высокая точность, большой объем информации об объекте, объективность и достоверность результатов измерений, возможность получения в короткий срок информации о состоянии всего объекта и отдельных его частей, изучение неподвижных и движущихся объектов, скоротечных и медленно происходящих процессов, визуальная оценка объектов, дистанционное исследование объектов (когда пребывание в зоне объекта небезопасно) и т.д.

Для обработки результатов съемок за рубежом используют мощные цифровые фотограмметрические станции и системы типа TrimbleINPHO, ERDAS Photogrammetry, InterGraph, PCI Geomatica и др. [1, 2].

В нашей стране при обработке снимков используют ЦФС PHOTOMOD (ООО «Пакурс») [3] и ЦФС Agisoft Metashape Professional (прежнее название – Agisoft PhotoScan) [4]. Проводятся исследования по выявлению точности получения цифровых данных с использованием этих программ обработки снимков, [5–7].

Цель экспериментальных работ: обоснование параметров аэросъемки, оценка результатов аэросъемки при различных параметрах аэросъемки, сравнительная оценка точности обработки полученных снимков на ЦФС PHOTOMOD 6.5.2764×64 и AgiSoft Metashape Pro.

Для сравнительной оценки точности обработки снимков на ЦФС PHOTOMOD 6.5.2764x64 и AGiSoft Metashape Pro 1.6.0 проведены экспериментальные работы.

В качестве первого экспериментального объекта выбран полигон: холмистая местность  $S \sim 1,8 \text{ км}^2$ , разность высот между точками  $\sim 80 \text{ м}$ . На участке тестового полигона расположены 67 замаркированных на местности опорных точек с точностью определения координат 2 см в плане и 3 см по высоте.

Параметры аэросъемки рассчитывались с учетом обеспечения пространственного разрешения пикселя на местности 5 см вычисляемой по формуле

$$PIX = p \frac{H}{f},$$

где  $PIX$  – размер пикселя на местности;  $p$  – размер пикселя съемной камеры;  $H$  – высота фотографирования;  $f$  – фокусное расстояние камеры.

Аэросъемка выполнялась с использованием аэрофотосъемочного комплекса на базе мотоделтаплана «Азимут-2М», оборудованного съемочной камерой Hasselblad H4D-60 aerial с центральным затвором; размер матрицы

камеры 40,2×53,7 мм с размером элемента (пикселя) 6 мкм. Использованы объективы с фокусным расстоянием 35,50 и 100 мм.

Для стабилизации камеры в полете применяли аэрофотоустановку AeroStab-3.

Для определения координат центров фотографирования использовали спутниковый приемник Javad GNSS Sigma, установленный на борту мотоделтаплана.

Аэросъемка выполнялась с каждым фокусным расстоянием камеры двумя блоками с направлением залетов север-юг и восток-запад на одном эшелоне. В каждом блоке продольное перекрытие принималось 70–80 %, а поперечное – 40 %. Такая методика аэрофотосъемки обеспечивала надежность получения конечного продукта – цифровой модели местности, контроль повторяемости результатов фотограмметрической обработки по двум независимым блокам и полевую калибровку съемочной камеры (определение элементов внутреннего ориентирования и параметров фотограмметрической дисторсии съемочной камеры в реальных условиях).

Проект аэросъемки и навигация залетов выполнялись в программе планирования и управления полетом AeroTopol.

Полученные материалы аэросъемки обрабатывались на ЦФС PHOTOMOD 6.5.2764×64 и Agisoft Metashape Pro 1.6.0 Rus (×64) (таблица 1).

Результаты показывают (графы 10 и 16), что обработка снимков на ЦФС Agisoft Metashape Pro обеспечивает более высокую точность, чем ЦФС PHOTOMOD 6.5.2764×64.

Для определения геометрии железнодорожного пути требуется очень высокая точность измерений. Для определения точности измерения геометрии железнодорожной колеи по цифровым снимкам в результате обработки их на ЦФС PHOTOMOD 6.5.2764×64 и Agisoft Metashape Pro 1.6.0 Rus (×64) дополнительно выполнены экспериментальные работы.

В качестве экспериментального объекта выбран участок электрифицированной железной дороги общего пользования длиной около 2,5 км, состоящий из двух главных путей.

В районе опытного участка построена опорная геодезическая сеть для создания и эксплуатации высокоточной координатной системы ОАО «РЖД».

Опорная геодезическая сеть образует однородное по точности геодезическое построение, характеризуемое погрешностью взаимного положения смежных пунктов в плане 8 мм и по высоте 5 мм.

Таблица 1

Сравнительные погрешности определения координат точек (см) при обработке снимков на цифровых фотограмметрических системах

Фокусное расстояние камеры $f$ , мм	Высота фотографирования $H$ , м	Размеры пикселя на местности, см	Маршруты, кол-во	Стереопары, кол-во	PHOTOMOD 6.5.2764×64						Agisoft Metashape Pro 1.6.0 Rus (×64)					
					по опорным точкам			по контрольным точкам			по опорным точкам			по контрольным точкам		
					точки, кол-во			точки, кол-во			точки, кол-во			точки, кол-во		
						$m_{x,y}$	$m_H$		$m_{x,y}$	$m_H$		$m_{x,y}$	$m_H$		$m_{x,y}$	$m_H$
1	2	3	4	5	6	7	8	9	10	11	12	13	14	15	16	17
35	322	5,51	7	81	13	2,80	0,70	34	2,10	4,10	11	1,20	1,15	36	1,93	1,82
50	417	5,21	6	72	16	1,50	0,70	31	2,20	3,90	14	0,17	0,02	31	1,67	2,99
100	843	5,08	6	63	17	1,90	0,90	30	2,20	3,90	14	0,17	0,02	33	2,03	7,66

На основе опорной геодезической сети создана специальная реперная система.

Положение пунктов реперной сети определяют с погрешностью, не более: взаимное плановое положение – 5 мм, превышение – 3 мм, случайная составляющая погрешности нивелирования – 4 мм на 1 км хода.

Для определения плановых координат использовали электронный тахеометр Trimble M3 DR, погрешность измерения угла которого  $\pm 2''$ , расстояния по призме 2 мм –  $\pm 2$  мм/км, высоты определяли методом нивелирования II класса точности с использованием нивелира Koni-007 и инварной нивелирной рейки.

Одновременно вдоль опытного участка железной дороги с обеих сторон железнодорожной насыпи примерно через 50–70 м закладывались и маркировались опознаки.

Координаты опознаков определялись как координаты пунктов рабочей реперной сети: плановые координаты – путем проложения полигонометрического хода с использованием электронного тахеометра Trimble M3 DR, а высоты – методом нивелирования II класса точности.

На основе созданной геодезической сети выполнены исследования по выявлению точности определения геометрии рельсовой колеи железнодорожного пути методами геометрического нивелирования, путеизмерительной тележки, путевого шаблона, цифровой фотограмметрии [8].

На опытном участке на каждом главном пути край каждой десятой шпалы был покрашен белой краской и в створе этих краев шпал белой краской наносились отметки на шейках рельсов для определения в этих местах ширины колеи, превышений между головками рельсов и возвышения наружного рельса в кривых участках пути.

Для исследования точности определения превышений между головками рельсов пути и возвышений наружного

рельса в кривых участках пути отметки головки рельсов на отмеченных точках определялись методом нивелирования II класса точности с использованием нивелира Koni-007 и инварной нивелирной рейки РН-05 с погрешностью определения отметок головки рельсов не более  $\pm 0,5$  мм.

Для исследования точности определения геометрии рельсовой колеи железнодорожного пути путеизмерительной тележкой использовалась система Gedo (Trimble).

Для контроля точности определения геометрических параметров пути с использованием автоматизированной путеизмерительной тележки Gedo ширина колеи и разница возвышения рельсов пути на отмеченных на рельсах точках измерялась путеизмерительным шаблоном ПШ-1520В.

Для исследования точности определения геометрии рельсовой колеи железнодорожного пути методом цифровой фотограмметрии аэросъемка опытного участка производилась с двух видов БВС.

При первом варианте аэросъемка производилась со специализированного профессионального БВС коптерного типа «Геоскан-401» [9] с использованием профессиональной малоформатной фотокамеры Sony DSC-RX1RM2 [10].

«Геоскан-401» снабжен геодезическим спутниковым приемником «Горсop B111», программное обеспечение – Geoscan Planner со встроенными утилитами Geoscan АФС (для планирования маршрутов) и Geoscan АФС Planner (для управления полетами).

Аэросъемка производилась на высоте 28 м с расчетным пространственным разрешением на местности 4 мм/pix, скорость летательного аппарата – 4 м/с, расчетное продольное перекрытие – 80 %, поперечное – 70 %.

При втором варианте аэросъемка опытного участка производилась с шестимоторного БВС (гексакоптер) с использованием среднеформатной профессиональной цифровой камеры Hasselblad HA4D-60 [11].

## Некоторые технические характеристики гексакоптера

Продолжительность полета, мин	до 35
Протяженность маршрута, тах, км	15
Допустимая скорость ветра, тах, м/с	до 15
Скорость полета, км/ч	0–54
Взлетная масса, тах, кг	12
Масса полезной нагрузки, тах, кг	5
Безопасная высота полета, min, м	8
Высота полета, тах, м	1000
Допустимая абсолютная высота работы над уровнем моря, м	до 4000

В полетный контроллер гексакоптера встроена управляющая программа Mission Planner, позволяющая программировать маршруты для площадной и линейной аэрофотосъемки, а также управлять затвором камеры.

Результаты выполненных работ приведены в таблицах 2 и 3.

## Выводы

1. ЦФС PHOTOMOD 6.5.2764×64 является специализированным программ-

Таблица 2

Сравнительные погрешности определения ширины колеи железнодорожного пути (мм) методом цифровой фотограмметрии при обработке снимков на ЦФС (PHOTOMOD 6.5.2764×64 и Agisoft Metashape Professional)

Методы определения ширины колеи железнодорожного пути						
Наименование	Путейский шаблон	Путеизмерительная тележка Gedo (Trimble)	Цифровая фотограмметрия			
			аэросъемка с гексакоптера с использованием камеры Hasselblad HA4D-60, обработка снимков на ЦФС		аэросъемка с «Геоскан-401» с использованием камеры Sony DSC-RX1RM2	
			PHOTOMOD 6.5.276464	Agisoft Metashape Professional	PHOTOMOD 6.5.2764×64	Agisoft Metashape Professional
			Высота фотографирования, 28 м			
Путейский шаблон		0,43	1,25	1,27	1,50	1,67
Путеизмерительная тележка Gedo (Trimble)	0,43		1,26	1,35	1,48	1,68

Таблица 3

Сравнительные погрешности определения возвышений рельсов железнодорожной колеи (мм) методом цифровой фотограмметрии при обработке снимков на ЦФС (PHOTOMOD 6.5.2764×64 и Agisoft Metashape Professional)

Методы определения возвышений рельсов железнодорожного пути							
Наименование	Нивелирования II класса	Путейский шаблон	Путеизмерительная тележка Gedo (Trimble)	Цифровая фотограмметрия			
				аэросъемка с гексакоптера с использованием камеры Hasselblad HA4D-60, обработка снимков на ЦФС		аэросъемка с «Геоскан-401» с использованием камеры Sony DSC-RX1RM2	
				PHOTOMOD 6.5.276464	Agisoft Metashape Professional	PHOTOMOD 6.5.276464	Agisoft Metashape Professional
				Высота фотографирования, 28 м			
Нивелирование II класса		1,04	0,44	3,05	3,45	3,48	4,05
Путейский шаблон	1,04		0,95	2,83	3,44	3,55	4,16
Путеизмерительная тележка Gedo (Trimble)	0,44	0,95		2,91	3,18	3,28	3,91

ным продуктом для обработки снимков по классической схеме фотограмметрии, по точности и скорости обработки не уступающим зарубежным аналогам.

2. Agisoft Metashape Pro – высокоавтоматизированный программный продукт, обеспечивающий получение достоверных и объективных данных при сравнительно небольших затратах.

3. Обработка снимков рельефной местности и неплоских объектов на ЦФС Agisoft Metashape Pro обеспечивает более высокую производительность, чем ЦФС PHOTOMOD 6.5.2764×64.

4. При обработке снимков для получения высокоточных результатов ЦФС PHOTOMOD 6.5.2764×64 обеспечивает более высокие результаты.

5. При измерении снимков плоской поверхности (головки рельсов) в ЦФС Agisoft Metashape Pro возникают определенные трудности с стереонаведением марки.

6. При обработке снимков на ЦФС Agisoft Metashape для получения высокоточных результатов к качеству снимков предъявляются особые требования (выполнение требуемых условий освещенности и методологии съемки).

7. При высокоточных определениях и обработке снимков плоской поверхности предпочтительно обрабатывать снимки на ЦФС PHOTOMOD 6.5.2764×64. ■

#### Литература

1. Кадничанский С. А., Хмелевский С. И. Обзор цифровых фотограмметрических систем // Ежегодный обзор ГИС-Ассоциации. 1999. Вып. 5. С. 21–25.
2. Сечин А. Ю. Эпоха цифровой аэросъемки // Обзор цифровых фотограмметрических систем. Пространственные данные, 2009. № 3. С. 28–29.
3. Цифровая фотограмметрическая система PHOTOMOD. URL: <https://racurs.ru/support/> (дата обращения: 24.12.2020).
4. Цифровая фотограмметрическая система Agisoft Metashape 1.5. URL: [https://www.agisoft.com/pdf/metashape-pro\\_1\\_5\\_ru.pdf](https://www.agisoft.com/pdf/metashape-pro_1_5_ru.pdf) (дата обращения: 24.12.2020).
5. Мышляев В. А. Априорная оценка точности автоматического получения цифровой информации о рельефе по стереоизображениям // Геодезия и картография, 2005. № 5. С. 21–23. ISSN 0016-7126.
6. Нехин С. С. Цифровые фотограмметрические системы: функции, возможности, перспективы развития // Пространственные данные. 2006. № 3. С. 27–41.
7. Оньков И. В., Гормаш А. В. Оценка точности ЦМР по материалам аэрофотосъемки с БЛА «Геоскан 101» // Геопрофи. 2015. № 5. С. 49–51. ISSN 2306-08736.
8. Ниязгулов У. Д., Крестинков В. Г., Ниязгулов Ф. Х. Исследование точности геодезического метода контроля геометрии рельсовой колеи // Качество. Инновации. Образование. 2020. № 3 (167). С. 37–44. ISSN 1999-513X.
9. Технические характеристики BBC «Геоскан-401». URL: <https://www.geoscan.aero/ru/products/geoscan401/geo> (дата обращения: 24.12.2020).
10. Технические характеристики Sony DSC-RX1RM2. URL: <https://www.sony.ru/electronics/cyber-shot-compact-cameras/dsc-rx1rm2/specifications> (дата обращения: 24.12.2020).
11. Технические характеристики Hasselblad h4d-60. URL: [http://static.hasselblad.com/2014/11/uk\\_h4d-60\\_datasheet\\_v11.pdf](http://static.hasselblad.com/2014/11/uk_h4d-60_datasheet_v11.pdf) (дата обращения: 24.12.2020).

#### Literature

1. Kadnichansky S. A., Khmelevsky S. I. Review of digital photogrammetric systems / Annual review of GIS-Association. [Obzor tsifrovyykh fotogrammetricheskikh sistem // Ezhegodnyj obzor GIS-Assotsiatsii.] 1999. Issue 5. Pp. 21–25.
2. Sechin A. Yu. The epoch of digital aerial photography // Review of digital photogrammetric systems. Spatial data [Ehpokha tsifrovoy aehros]emki // Obzor tsifrovyykh fotogrammetricheskikh sistem. Prostranstvennye dannye], 2009. № 3. Pp. 28–29.
3. Digital photogrammetric system PHOTOMOD. [Tsifrovaya fotogrammetricheskaya sistema PHOTOMOD.] URL: <https://racurs.ru/support/> (accessed: 24.12.2020).

4. Digital photogrammetric system Agisoft Metashape 1.5. [TSifrovaya fotogrammetricheskaya sistema Agisoft Metashape 1.5.] URL: [https://www.agisoft.com/pdf/metashape-pro\\_1\\_5\\_ru.pdf](https://www.agisoft.com/pdf/metashape-pro_1_5_ru.pdf) (accessed: 24.12.2020).
5. Myshlyayev V. A. A priori estimation of the accuracy of automatic obtaining of digital information about the terrain from stereo images // Geodesy and Cartography [Apriornaya otsenka tochnosti avtomaticheskogo poluchenich tsifrovoy informatsii o rel'efe po stereoizobrazheniyam // Geodeziya i kartografiya], 2005. № 5. Pp. 21–23. ISSN 0016-7126.
6. Nekhin S. S. Digital photogrammetric systems: functions, opportunities, prospects of development // Spatial data. [TSifrovye fotogrammetricheskie sistemy: funktsii, vozmozhnosti, perspektivy razvitiya // Prostranstvennyye dannye] 2006. № 3. Pp. 27–41.
7. Onkov I. V., Gormash A. V. Estimation of the accuracy of the DEMR based on the materials of aerial photography from the UAV «Geoscan 101» // Geoprofi. [Otsenka tochnosti TSMR po materialam aehrofotos»emki s BLA «Geoskan 101» // Geoprofi.] 2015. № 5. Pp. 49–51. ISSN 2306-08736.
8. Niyazgulov U. D., Krestinkov V. G., Niyazgulov F. H. Investigation of the accuracy of the geodetic method for controlling the geometry of the rail track. Innovation. Education. [Issledovanie tochnosti geodezicheskogo metoda kontrolya geometrii rel'sovoy kolei // Kachestvo. Innovatsii. Obrazovanie.] 2020. № 3 (167). Pp. 37–44. ISSN 1999-513X.
9. Technical characteristics of the BVS «Geoscan-401». [Tekhnicheskie kharakteristiki BVS «Geoskan-401».] URL: <https://www.geoscan.aero/ru/products/geoscan401/geo> (accessed: 24.12.2020).
10. Technical specifications of Sony DSC-RX1RM2. [Tekhnicheskie kharakteristiki Sony DSC-RX1RM2.] URL: <https://www.sony.ru/electronics/cyber-shot-compact-cameras/dsc-rx1rm2/specifications> (accessed: 24.12.2020).
11. Technical specifications of Hasselbl HA4D-60. [Tekhnicheskie kharakteristiki Hasselbl iiipmipmad HA4D-60.] URL: [http://static.hasselblad.com/2014/11/uk\\_h4d-60\\_datasheet\\_v11.pdf](http://static.hasselblad.com/2014/11/uk_h4d-60_datasheet_v11.pdf) (accessed: 24.12.2020).

*Статья сдана в редакцию 26 декабря 2020 года*



А. П. Семенов

## Организация управления жизненным циклом отечественных локомотивов

A. P. Semenov

## Organization of life cycle management of indigineous russian locomotives

### Аннотация

Сервисная система управления жизненным циклом локомотивов сталкивается с проблемой получения объективной информации о техническом состоянии локомотива и его эксплуатации. Проектировщики оборудования и локомотива в целом, локомотивостроительные заводы, сервисные компании, локомотиворемонтные заводы и эксплуатирующая организация имеют собственные, не состыкованные между собой информационные системы. Предлагается создать межплатформенную систему управления базой данных жизненного цикла локомотивов со сбором информации из всех информационных систем всех этапов жизненного цикла локомотивов с соответствующей организацией управления, которая описана в статье. Информация о структуре оборудования локомотива, возможных поставщиках и регламенте технического обслуживания (ТОиР) формируется на этапе конструирования. Информация о номерах и поставщиках установленного оборудования и результатах испытаний формируется на этапе изготовления локомотива. В эксплуатации фиксируются пробег локомотива, тонно-километровая работа, при возможности – расход электроэнергии. В системе ТОиР регистрируются виды и объёмы работ, их продолжительность и стоимость, использованные запасные части и материалы. Также регистрируется замена оборудования. Отдельно разбираются причины отказов и сверхцикловых работ. В результате формируется база данных для многофакторного анализа причин низкой надёжности локомотивов, высокой стоимости жизненного цикла. Вырабатываются корректирующие мероприятия.

**Ключевые слова:** локомотивы, жизненный цикл, сервисное обслуживание и ремонт, система управления базами данных.

DOI: 10.20291/2079-0392-2021-1-62-71

### Abstract

The service system for managing the life cycle of locomotives faces the problem of obtaining objective information about the technical condition of the locomotive and its operation. Designers of equipment and the locomotive as a whole, locomotive-building plants, service companies, locomotive repair plants and the operating organization have their own information systems that are not connected to each other. It is proposed to create a cross-platform management system for the locomotive life cycle database with the collection of information from all information systems at all stages of the locomotive life cycle with the appropriate management organization, which is described in the article. Information about the structure of the locomotive equipment, possible suppliers and maintenance regulations (MRO) is formed at the design stage. Information on the numbers and suppliers of installed equipment and test results is generated at the stage of locomotive manufacturing. In operation, the mileage of the locomotive, the ton-kilometer work, and, if possible, the electricity consumption are recorded. The MRO system registers the types and volumes of work, their duration and cost, and the spare parts and materials used. Equipment replacement is also registered. Separately, the reasons for failures and super-cycle work are analyzed. As a result, the database is formed for multi-factor analysis of the reasons for the low reliability of locomotives, the high cost of the life cycle. Corrective measures are being developed.

**Keywords:** locomotives, life cycle, service and repair, database management system.

DOI: 10.20291/2079-0392-2021-1-62-71

Статья рекомендована к опубликованию д-р техн. наук, профессором Российского университета транспорта И. К. Лакиным. E-mail: [Lakini@yandex.ru](mailto:Lakini@yandex.ru).

Александр Павлович Семенов, канд. техн. наук; генеральный директор НИИ технологии, контроля и диагностики железнодорожного транспорта, г. Омск, Россия. E-mail: [semalex\\_ap@mail.ru](mailto:semalex_ap@mail.ru). ORCID 0000-0003-3434-2458.

The article is recommended for publishing by Doctor of Technical Science, Professor of the Russian University of Transport I. K. Lakin. E-mail: [Lakini@yandex.ru](mailto:Lakini@yandex.ru).

Alexander Pavlovich Semenov, Candidate of Technical Science, General Director of the Research Institute of Technology, Control and Diagnostics of Railway Transport, Omsk, Russia. E-mail: [semalex\\_ap@mail.ru](mailto:semalex_ap@mail.ru). ORCID 0000-0003-3434-2458.

Россия намного превосходит по дальности железнодорожных перевозок другие страны (более 1917 км); участковая скорость одна из самых высоких в мире: 40,7 км/ч. По грузовым перевозкам отечественный железнодорожный транспорт находится на сопоставимом с мировыми показателями уровне и составляет 45 % от общего в России. Согласно «Долгосрочной программе развития ОАО «РЖД» до 2025 года» [1], планируется существенно повысить эффективность функционирования железнодорожного транспорта РФ, в т.ч. локомотивного и локомотиворемонтного комплексов. Ставятся задачи повышения надёжности локомотивов, решить которые можно как за счёт совершенствования конструкции локомотивов, так и за счёт совершенствования их системы технического обслуживания и ремонта (ТОиР). Требуется научно-практическая проработка новой технологии ТОиР. Сейчас актуальна разработка модели управления жизненным циклом локомотивов с использованием современных методов технического диагностирования и современных принципов построения АСУ.

Задачи повышения эффективности системы ТОиР применительно к современному сервисному обслуживанию локомотивов с микропроцессорными системами управления неоднократно служили темой современных научных исследований [2–9]. Решались задачи использования бортовых, встроенных, депоовских стационарных и переносных автоматизированных систем технического диагностирования (АСТД) для индивидуального планирования объёма ТОиР [2, 3, 5, 7], задачи автоматизации управления технологическими процессами ТОиР [8, 9], оптимизации системы ТОиР в целом [4]. Однако комплексно задача долго не рассматривалась [10, 11]; необходим переход на единое комплексное управление жизненным циклом локомотивов аналогично опыту ведущих мировых производителей тягового подвижного состава [12–14].

Современный этап развития АСУ предполагает объединение по принципам интероперабельности всех информационных систем в единую киберфизическую систему (Cyber-Physical Production System, CPPS), создание которой часто называют четвёртой промышленной революцией [11]. Внешняя интероперабельность предполагает объединение разрозненных в настоящее время информационных систем проектировщиков оборудования и локомотивов в целом (САПР), локомотивостроительных заводов (АСУ ТП), ОАО «РЖД» (АСУЖТ: АСОУП, ЕК АСУФР, АСУТ), сервисных и локомотиворемонтных компаний (АСУ ТОиР).

Для комплексного управления жизненным циклом локомотивов предлагается создать межплатформенную систему управления базами данных (СУБД) жизненного цикла локомотивов (ЖЦЛ), взяв за основу один из стандартных пакетов программ DB-2, Oracle, SQL-Server или др. В СУБД ЖЦЛ организовать сбор данных от всех участников жизненного цикла локомотив (рис. 1 и 2, таблица).

На этапе проектирования локомотивов и их оборудования используются соответствующие средства автоматизации проектирования (САПР); никаких ограничений на формат используемых данных нет. Формируются структура и состав оборудования, которые закладываются в СУБД ЖЦЛ индивидуально для каждой серии. На этом же этапе определяется система ТОиР для каждого узла, вида оборудования и локомотива в целом, которая также хранится в СУБД. При изменении конструкции локомотива нужные изменения вносятся в СУБД ЖЦЛ (по принципам жизненного цикла конструкторской документации). Единая серия в СУБД ЖЦЛ рассматривается как несколько модификаций серий со своей структурой оборудования и требованиями к ТОиР. На этапе проектирования локомотива предусматриваются бортовая и встроенные автоматизированные системы технического диагностирования (АСТД), которые



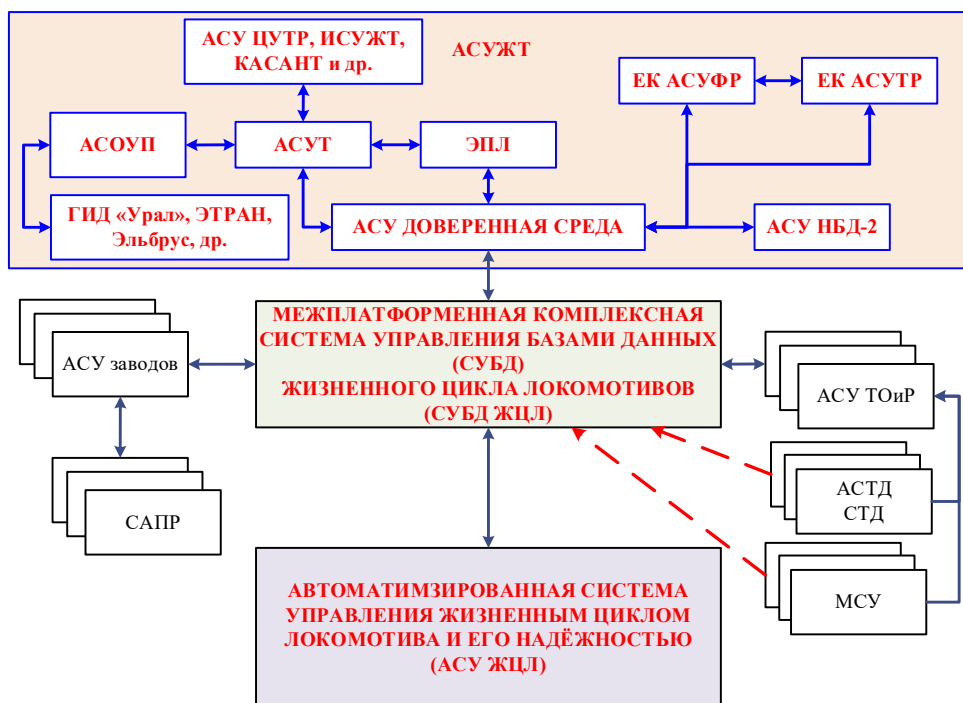


Рис. 1. Возможная структура взаимодействия информационных систем при управлении жизненным циклом локомотивов

должны обеспечить как контроль технического состояния оборудования в эксплуатации, выявление предотказных состояний, так и прогнозировать остаточный ресурс оборудования. В случае невозможности или нецелесообразности (например, по стоимости) использования бортовых и встроенных АСТД предусматриваются депоовские стационарные и/или переносные.

На этапе производства используется АСУ локомотивостроительного завода с реализацией классического набора MES и ERP функциональности. В СУБД ЖЦЛ создаётся новый экземпляр нужной серии (нужной модификации) локомотива с указанием его номера, типов и номеров линейного оборудования, заводов-изготовителей или поставщиков, результатов испытания оборудования и локомотива в целом, другая информация, необходимая для управления жизненным циклом локомотива при эксплуатации.

Для обеспечения эксплуатации локомотива ОАО «РЖД» или другая эксплуатирующая организация заключает с производителем локомотивов контракт жизненного цикла (КЖЦ), в котором на основании технических условий на локомотив и его оборудования регламентируется ожидаемая надёжность локомотива, объём и стоимость ТОиР, порядок оплаты сервисных услуг в случае несоблюдения заданных параметров локомотивов. SLA (Service Level Agreement) – основа КЖЦ [7], закладывается в СУБД ЖЦЛ для автоматизации расчёта показателей SLA.

Эксплуатируемый локомотив и его линейное оборудование по законодательству РФ ставятся на хозяйственный (бухгалтерский) учёт в соответствующей информационной системе (в ОАО «РЖД» – это ЕК АСУФР на базе пакета программ SAP R/3). Информация хозяйственного учёта синхронизируется с СУБД ЖЦЛ.

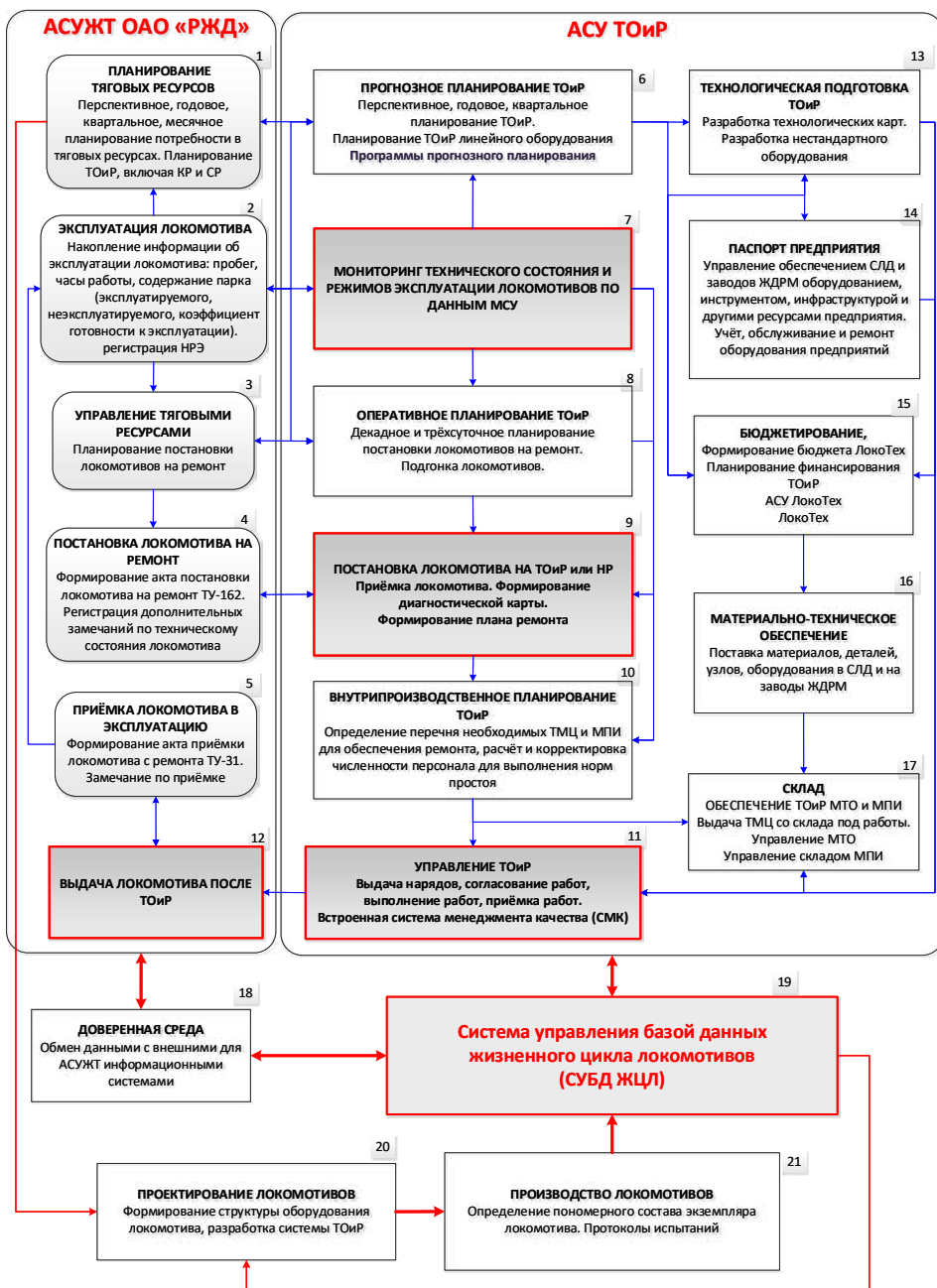


Рис. 2. Предлагаемая модель организации управления жизненным циклом отечественных локомотивов

## Информация СУБД ЖЦЛ и её источники

Наименование	Источник
Структура оборудования каждой серии локомотива	Системы автоматизированного проектирования локомотивов и их оборудования (САПР)
Уникальные номера оборудования, информация о производителе и дате изготовления, результаты испытаний	АСУ локомотивостроительных заводов
Технологические карты ТОиР оборудования и локомотива в целом с указанием периодичности, объёма и стоимости ТОиР	САПР, АСУ локомотивостроительных заводов
Работа локомотива с указанием пробега, тонно-километровой работы, полигона работы, при возможности расхода энергии в кВт·ч, типа вагонов в поездах; также желательно указать время нахождения локомотива в различных состояниях согласно классификатору АСОУП	АСУЖТ: АСОУП или АСУТ
Прогнозный график постановки локомотивов на ТОиР	АСУЖТ: АСУТ, АСУ ЦУТР или АСУЖТ
Фактические даты и время постановки локомотивов на ТОиР	АСУЖТ: АСОУП или АСУТ
Замечания по техническому состоянию локомотива	Журнал замечаний АСУ ТОиР, МСУ, КАСАНТ и др.
Диагностические данные АСТД и СТД	АСТД, АСУ ТОиР
Объём ТОиР с указанием видов выполненных работ, трудовых затрат, использованного оборудования, материалов и запасных частей	АСУ ТОиР, электронные технологические карты локомотивов
Номера демонтированного и установленного на локомотив линейного оборудования (материалов повторного использования)	АСУ ТОиР сервисных компаний и локомотиворемонтных заводов
Исходная и остаточная стоимость оборудования и локомотива в целом. Другие бухгалтерские и финансовые данные по локомотиву	АСУЖТ: ЕК АСУФР
Окончание жизненного цикла. Списание. Утилизация	АСУЖТ: ЕК АСУФР

В ОАО «РЖД» в информационных системах АСОУП, ГИД «Урал», ИСУЖТ и др. ведутся оперативный контроль и управление перевозочным процессом, при котором фиксируется составность поезда, его масса и длина, используемые локомотивы. По локомотивам также учитываются их текущее состояние по классификатору АСОУП, дислокации, выполненная работа (в км и т·км брутто), техническое состояние (исправен/неисправен). При внедрении системы учёта расхода топлива и электроэнергии АСИМ дополнительно учитывается работа локомотива в кВт·ч. Информация передаётся в СУБД ЖЦЛ. Дополнительно по данным встроенных

и бортовой систем технического диагностирования через микропроцессорную систему управления (МСУ) локомотива по радиоканалу на стационарный сервер передаются диагностические параметры локомотива, которые обрабатываются на специализированном сервере с передачей результатов в СУБД ЖЦЛ.

Дополнительно фиксируется субъективная информация машиниста о работе локомотива и возникших инцидентах – любых ситуациях, отличных, по мнению машиниста, от нормальной работы: в бортовом рукописном журнале (форма ТУ-152) или перспективном электронном, например, на базе бортового компьютера (блока индикации).

Среднестатистическая информация о пробеге и работе локомотивов и их надёжности совместно с регламентами ТОиР серий служит основанием для долгосрочного проектирования системы ТОиР, планирования ТОиР в сервисных локомотивных депо (СЛД), закупки технологического, диагностического и испытательного оборудования в депо, обучения и подготовки ремонтного персонала. Это и информация о стоимости предыдущих плановых и неплановых ТОиР становятся основой для планирования объёма ТОиР на три года вперёд (перспективное), на год, квартал и месяц (предварительное). Информация прогнозная, вероятностно-статистическая. От её точности зависит как сокращение пересодержания склада, так и сокращение простоя локомотивов из-за отсутствия запасных частей (ЗИП), поэтому важно применение современных математических методов теории очередей и массового обслуживания. Одновременно решается логистическая задача обеспечения складов локомотивных депо и пунктов технического обслуживания запасными деталями и материалами, в т.ч. с организацией региональных промежуточных буферных складов. Информация формируется и используется в рамках АСУ ТОиР сервисной компании.

Фактическая информация о пробеге локомотивов и наличии отказов и предотказных состояний – это основание для трёхсуточного планирования постановки локомотивов на ремонт, решение о котором принимает центр управления тяговыми ресурсами ОАО «РЖД» (ЦУТР) совместно с диспетчерским аппаратом дорожных центров управления перевозками (ДЦУП), региональной дирекцией тяги и сервисной компанией. Сформированный, согласованный и утверждённый трёхсуточный план передаётся в СУБД ЖЦЛ как прогнозный.

На основании трёхсуточного графика постановки локомотивов на ТОиР, диагностических данных машиниста и бортовых систем диагностирования, регламента проведения ТОиР формируется

предварительный объём ремонта с учётом имеющейся статистики дополнительных работ, подготавливаются материалы на складе, планируются трудовые ресурсы, станковое, технологическое оборудование, депо-диагностика.

В СУБД ЖЦЛ ведётся учёт работы линейного оборудования, срока его службы. При необходимости на очередном ремонте планируется замена выработавшего свой срок узла на новый согласно требованиям КЖЦ.

Отцепка локомотива от поезда происходит по трёхсуточному графику и факту наличия локомотива на станции, где находится ремонтное локомотивное депо. После отцепки дежурный по эксплуатационному депо переводит в АСОУП поезд в состояние «Ожидание ремонта». Информация автоматически попадает в СУБД ЖЦЛ.

Локомотив на ТОиР принимается совместно представителями эксплуатационного и сервисного локомотивных депо. Визуальная приёмка должна быть дополнена анализом данных бортовых АСТД и машиниста, накопленным в процессе эксплуатации с момента последнего ТОиР. К визуальной приёмке добавляются как средства дополненной реальности, так и объективные данные систем диагностирования (реостатных испытаний для тепловозов, проверки изоляции тяговых электродвигателей и электрических аппаратов и др.). При приёмке локомотива на ТОиР фиксируются все выявленные инциденты, в т.ч. отказы и предотказы, а при ремонте выявляются скрытые дефекты.

На основании выявленных у локомотива инцидентов, предотказов и отказов формируется его индивидуальный объём ТОиР, состоящий из нормированных и расценённых работ, утверждённых в ОАО «РЖД». Допускается наличие у сервисных компаний собственных работ, но в этом случае они заказчиком не оплачиваются. Например, возможны работы по устранению отказов и предотказов, когда виновная сторона – сервисная компания. Список работ ТОиР, которые необходимо выполнить

в процессе текущего захода локомотива в депо или ПТОЛ, формируется до начала смены. Поэтому рабочий день мастера должен начинаться минимум на час раньше, чем у рабочих.

При приходе на работу в цех слесари отмечают в терминале или другом устройстве идентификации. Мастер подтверждает приход каждого работника, после чего в электронном виде выписываются наряды из уже сформированного списка работ. АСУ автоматически блокирует назначение работ слесарю, не имеющему право выполнять эту работу или загрузка которого уже превысила максимально допустимую. Возможно автоматическое назначение работ, если её может выполнить только один член бригады. По распределённым работам формируется сетевой график ремонта на смену (диаграмма Ганта), по которому осуществляется управление ТОиР. Если к работе привязано технологическое оборудование, то автоматически контролируется свобода этого оборудования, в случае необходимости формируется очередь.

Для составленного сетевого графика на основании статистики предыдущих ремонтов рассчитывается ожидаемое время ремонта вероятностно-статистическим методом. Это одно из главных отличий ТОиР с использованием данных АСТД: изначально неопределённое время окончания ТОиР, которое, как правило, изменяется в сторону увеличения; АСТД обычно увеличивают объём и стоимость текущего ремонта с последующим сокращением объёма неплановых ремонтов после отказов.

Получить материалы и запасные части со склада можно только по наряду и из списка допустимых по каждой работе материалов. Особенность ТОиР заключается в необязательной потребности в том или ином материале в отличие от процесса изготовления изделия. Например, работа «осмотреть рычажную передачу тормоза и при необходимости отремонтировать» может потребовать одну или несколько деталей из списка допустимых, а может и не понадобиться

совсем. В любом случае получить детали, не относящиеся к рычажной передаче, не получится. Желательно разделить работы типа «осмотр» и «ремонт», но для этого надо пересматривать расценки работ.

В процессе осмотра, ремонта и по его окончании работник производит замеры и диагностирование. Если эти операции производились вручную, то слесарь вводит результаты в систему с терминала, если автоматизировано, то данные автоматически попадают в АСУ. Но при этом надо продумать, как зафиксировать данные исполнителя, номер обслуживаемого оборудования и локомотив, к которому относятся работы.

Если в процессе ТОиР используется технологическое оборудование с микропроцессорным управлением, то соответствующая информация также поступает в АСУ.

После выполнения работы и ввода в АСУ диагностических данных работник (слесарь, электромеханики и др.) дистанционно или с терминала отмечает работу как выполненную. Мастер соответствующего цеха проверяет качество выполнения работы и помечает её как выполненную или указывает требования по доработке. В АСУ и на сетевом графике работа помечается как выполненная.

Замена линейного оборудования обязательно проводится через склад материалов повторного использования (МПИ) с отметкой замены в СУБД ЖЦЛ. При ремонте МПИ оборудование берётся со склада МПИ в цех и возвращается на склад. При этом отмечаются выполненные ремонтные работы и их стоимость, влияющая на стоимость МПИ. Соответствующие изменения вносятся в ЕК АСУФР ОАО «РЖД».

Когда ремонт линейного оборудования проводится на другом предприятии, то оно выступает в АСУ на правах специализированного цеха аналогично электромашиному, электроаппаратному, топливному и др. Восстановленные или изготовленные материалы попадают на склад на правах покупных

изделий. Таким образом, всё оборудование и все материалы обязательно проходят через склад депо с отметкой о производителе, стоимости, времени получения и установки в узле или на локомотив.

Все операции ТОиР проходят по безбумажной технологии в АСУ ТОиР с использованием терминалов в цеху, стационарных компьютеров диспетчерского аппарата, мастеров и руководителей, переносных компьютеров (планшетов) приёмщиков, возможно мастеров и др., smart-телефонов и других мобильных устройств у исполнителей. Диагностическая информация вносится вручную с этих устройств или попадает в АСУ автоматических или автоматизированных систем технического диагностирования (АСТД). Отдельные документы (в т.ч. бухгалтерские) можно распечатывать, если это требует законодательство РФ (в большинстве случаев законодательство РФ позволяет использовать электронный документооборот с электронной подписью, но на практике местные органы аудита настаивают на бумажных документах). Важно, чтобы все бумажные документы были вторичны по отношению к информации в АСУ, т.к. иначе нельзя добиться достоверности информации.

По окончании ТОиР необходимые для жизненного цикла из АСУ ТОиР автоматически передаются в СУБД ЖЦЛ: выполненные цикловые и сверхцикловые работы, их продолжительность и стоимость, исполнитель и использованное технологическое оборудование, возникшие проблемы и др. Далее цикл жизненного цикла локомотива повторяется.

При средних или капитальных ремонтах на локомотиворемонтных заводах порядок действий аналогичен АСУ ТОиР. Но предлагается локомотив после СР или КР рассматривать в СУБД ЖЦЛ как новый локомотив той же серии, но с пометкой «К». С точки

зрения управления жизненным циклом локомотив и физики процессов, это правильней.

Комплексная информация СУБД ЖЦЛ может использоваться как для оперативного и среднесрочного управления, так и для стратегического анализа эффективности эксплуатации локомотивов и их системы ТОиР, удачности конструкции локомотива в целом и оборудования. При факторном анализе следует использовать современные методы анализа, как правило, встроенные в СУБД. В частности, в ОАО «РЖД» используют технологию кубов SAS. Через систему отчётов СУБД ЖЦЛ с факторным анализом выстраивается обратная связь для корректировки конструкции локомотива, технологии производства, эксплуатации и ТОиР (цикл PDCA).

Предлагаемая технология автоматизированного управления жизненным циклом локомотивов при использовании автоматизированных систем технического диагностирования позволяет реализовать полностью безбумажную технологию управления (с технологией электронной подписи) с объективной оценкой технического состояния локомотивов и дальнейшей объективно обоснованной корректировкой жизненного цикла локомотивов на всех его этапах: разработка, производство, эксплуатация, ТОиР, утилизация.

Таким образом, в случае реализации предлагаемой модели организации управления жизненным циклом локомотивов удастся существенно повысить эффективность эксплуатации локомотивов, поднять их надёжность, сократить простои на техническом обслуживании и ремонте. В НИИТКД предлагается решать эту задачу поэтапно, начав с отдельных видов оборудования, например, с механической экипажной части локомотива: буксовый узел, моторно-осевые и моторно-якорные подшипники, тяговый редуктор, колёсно-моторный блок в целом, колёсные пары. ■



## Литература

1. Долгосрочная программа развития ОАО «РЖД» до 2025 года. М. : ОАО «РЖД», 2018, 93 с.
2. Аболмасов А. А. Управление техническим состоянием тягового подвижного состава в условиях сервисного обслуживания : дисс. ... на соиск. уч. ст. канд. техн. наук. М. : МИИТ, 2017. – 180 с.
3. Грачёв В. В. Научные основы применения методов интеллектуального анализа данных для контроля технического состояния локомотивов : дис. ... на соиск. уч. ст. д-ра техн. наук. СПб : ПГУПС, 2020, 434 с.
4. Комяков А. А. Методология организации ресурсосберегающих производственных систем на железнодорожном транспорте : дисс. на соиск. уч. ст. д-ра техн. наук. Екатеринбург: УрГУПС, 2021, 340 с.
5. Лакин И. И. Мониторинг технического состояния локомотивов по данным бортовых аппаратно-программных комплексов: дисс. ... на соиск. уч. ст. канд. техн. наук. М. : МИИТ, 2016 – 195 с.
6. Лакин И. К. Разработка теории и программно-технических средств комплексной автоматизированной справочно-информационной и управляющей системы локомотивного депо: дисс. ... на соиск. уч. ст. д-ра техн. наук.. М.: МИИТ, 1997. – 377 с.
7. Мониторинг технического состояния и режимов эксплуатации локомотивов. Теория и практика / К. В. Липа, А. А. Белинский, В. Н. Пустовой, С. Л. Лянгасов, И. К. Лакин [и др.]. – М. : ЛокоТех, 2015. – 212 с. ISBN 978-5-9905057-3-5.
8. Пустовой И. В. Разработка информационно-динамической модели управления сервисным техническим обслуживанием и ремонтом локомотивов: дисс. ... на соиск. уч. ст. канд. техн. наук. Екатеринбург: УрГУПС, 2018 г. – 183 с.
9. Смирнов В. А. Повышение эффективности технологических систем ремонтного производства и технического обслуживания подвижного состава : дисс. ... на соиск. уч. ст. д-ра техн. наук. М.: РУТ, 2021, 344 с.
10. Стрельников В. Т., Исаев И. П. Комплексное управление качеством технического обслуживания и ремонта электровозов. М. : Транспорт, 1980. – 207 с.
11. Семенов А. П., Семченко В. В., Лакин И. К. Перспективы развития цифровых технологий в сервисных локомотивных депо // Локомотив, 2020. № 11. С. 2–3.
12. Siemens. URL: <https://new.siemens.com> (дата обращения: 25.01.2021).
13. General Electric. URL: <https://www.ge.com> (дата обращения: 25.01.2021).
14. Hedlund Eric. Apparatus and Method for Performance and Fault Analysis. Патент США WO 01/31450 / E. Hedlund, N. Roddy, D. Gibsond, R. Biley. – 2001. – 58 с.

## Literature

1. Long-term development program of JSC «Russian Railways» until 2025. Moscow: JSC «Russian Railways» [Dolgosrochnaya programma razvitiya OAO «RZHD» do 2025 goda. М. : ОАО «RZHD»], 2018, 93 p.
2. Abolmasov A. A. Management of the technical condition of traction rolling stock in the conditions of service: diss. ... for the degree of Candidate of Technical Science, Moscow: MIIT [Upravlenie tekhnicheskim sostoyaniem tyagovogo podvizhnogo sostava v usloviyakh servisnogo obsluzhivaniya : diss. ... na soisk. uch. st. kand. tekhn. nauk. М. : MIIT], 2017. – 180 p.
3. Grachev V. V. Scientific bases of application of methods of intellectual data analysis for control of technical condition of locomotives: diss. ... for the degree of Doctor of Technical Science. St. Petersburg: PSURT [Nauchnye osnovy primeneniya metodov intellektual'nogo analiza dannykh dlya kontrolya tekhnicheskogo sostoyaniya lokomotivov : dis. ... na soisk. uch. st. d-ra tekhn. nauk. SPb : PGUPS], 2020, 434 p.
4. Komyakov A. A. Methodology of the organization of resource-saving production systems in railway transport: diss. for the degree of Doctor of Technical Science. Yekaterinburg : USURT [Metodologiya organizatsii resursosberegayushhikh proizvodstvennykh sistem na zheleznodorozhnom transporte : diss. na soisk. uch. st. d-ra tekhn. nauk. Ekaterinburg : UrGUPS], 2021, 340 p.
5. Lakin I. I. Monitoring of the technical condition of locomotives according to on-board hardware and software systems: diss. ... for the degree of Candidate of Technical Science, Moscow: MIIT [Monitoring tekhnicheskogo sostoyaniya lokomotivov po dannym bortovyykh apparatno-programmnykh kompleksov: diss. ... na soisk. uch. st. kand. tekhn. nauk. М. : MIIT], 2016. – 195 p.

6. Lakin I. K. Development of the theory and software and hardware of a complex automated reference and information and control system of a locomotive depot: diss. ... for the degree of Doctor of Technical Science . – M. : MIIT [Razrabotka teorii i programmno-tekhnicheskikh sredstv kompleksnoj avtomatizirovannoj spravочно-informatsionnoj i upravlyayushhej sistemy lokomotivnogo depo: diss. ... na soisk. uch. st. d-ra tekhn. nauk. M.: MIIT], 1997. – 377 p.
7. Monitoring of the technical condition and operating modes of locomotives. Theory and practice / K. V. Linden, A. A. Belinskii, V. N. Pustovoy, S. L. Legasov, I. K. Lakin [and others]. – M. : LokoTech [Monitoring tekhnicheskogo sostoyaniya i rezhimov ehkspluatatsii lokomotivov. Teoriya i praktika / K.V. Lipa, A.A. Belinskij, V.N. Pustovoj, S.L. Lyangasov, I. K. Lakin [i dr.]. – M. : LokoTekh], 2015. – 212 p. ISBN 978-5-9905057-3-5.
8. I. V. Pustovoy Development of information-dynamic model control service maintenance and repair of locomotives: Diss. ... for the degree of Candidate of Technical Science. Yekaterinburg: USURT [Razrabotka informatsionno-dinamicheskoy modeli upravleniya servisnym tekhnicheskim obsluzhivaniem i remontom lokomotivov: diss. ... na soisk. uch. st. kand. tekhn. nauk. Ekaterinburg : UrGUPS], 2018. – 183 p.
9. Smirnov V. A. Improving the efficiency of technological systems of repair production and maintenance of rolling stock: diss. ... for the degree of Doctor of Technical Science, Moscow: RUT [Povyshenie ehffektivnosti tekhnologicheskikh sistem remonnogo proizvodstva i tekhnicheskogo obsluzhivaniya podvizhnogo sostava : diss. ... na soisk. uch. st. d-ra tekhn. nauk.M.: RUT]. 2021. 344 p.
10. Strelnikov V. T., Isaev I. P. Complex quality management of maintenance and repair of electric locomotives. Moscow: Transport [Kompleksnoe upravlenie kachestvom tekhnicheskogo obsluzhivaniya i remonta ehlektrovozov. M. : Transport]. 1980. – 207 p.
11. Semenov A. P., Semchenko V. V., Lakin I. K. Prospects for the development of digital technologies in service locomotive depots // Locomotive [Perspektivy razvitiya tsifrovyykh tekhnologij v servisnykh lokomotivnykh depo // Lokomotiv], 2020. № 11. Pp. 2–3.
12. Siemens. URL: <https://new.siemens.com> (date of reference: 25.01.2021).
13. General Electric. URL: <https://www.ge.com> (date of reference: 25.01.2021).
14. Hedlund Eric. Apparatus and Method for Performance and Fault Analysis. USA Patent WO 01/31450 / E. Hedlund, N. Roddy, D. Gibsond, R. Bliley. – 2001. – 58 p.

*Статья сдана в редакцию 17 февраля 2021 года*



# Организация и логистика

УДК 331.108

Н. А. Александрова, Н. Ф. Махт

## Корпоративные мероприятия как инструмент нематериальной мотивации труда работников локомотивных бригад

UDC 331.108

N. A. Alexandrova, N. F. Makht

## Corporate events as a tool for non-financial motivation of locomotive crew workers

### Аннотация

Статья посвящена определению значимости корпоративных мероприятий в системе мотивации труда работников локомотивных бригад (на примере одного из локомотивных депо Свердловской железной дороги), выявлению характера социального запроса на их реализацию со стороны трудового коллектива. Указывая на социально-демографические особенности контингента, авторы определяют степень участия машинистов и помощников машинистов в корпоративных мероприятиях и уровень удовлетворенности ими, определяют приоритетные форматы ивент-мероприятий и формы досуга во вне рабочее время в аспекте их влияния на мотивацию труда. Результаты опираются на данные социологического исследования (апрель-май 2020 г.) с использованием методов анкетного online- и offline-опроса, в котором приняли участие 127 машинистов и помощников машинистов (50 человек в offline-формате и 77 – в online-формате); для определения существующего проблемного поля и корректировки инструментария исследования реализовано гайд-интервью с заместителем начальника предприятия по кадрам и социальным вопросам. Разработанные на основе результатов исследования меры позволят усилить мотивационное воздействие ивент-мероприятий на трудовое поведение работников предприятия, особенно в период пандемии.

**Ключевые слова:** корпоративные мероприятия, ивент-мероприятия, мотивация труда, инструменты нематериальной мотивации труда, форматы ивент-мероприятий.

DOI: 10.20291/2079-0392-2021-1-72-81

### Abstract

The article is devoted to determining the significance of corporate events in the system of motivation of employees of locomotive crews (on the example of one of the locomotive depots of the Sverdlovsk Railway), identifying the nature of the social request for their implementation on the part of the labor collective. Pointing to the socio-demographic characteristics of the contingent, the authors determine the degree of participation of drivers and assistant drivers in corporate events and the level of satisfaction with them, determine the priority formats of events of interest and forms of leisure during off-duty hours in terms of their impact on labor motivation. The results are based on the data of a sociological study (April-May 2020) using the methods of an online and offline questionnaire survey, which was attended by 127 drivers and assistant drivers (50 people in offline format and 77 in online format); to determine the existing problem field and adjust the research tools, a guide interview with the deputy head of the enterprise for human resources and social issues was implemented. The measures developed on the basis of the results of the study will strengthen the motivational impact of events of interest on the work behavior of employees of the enterprise, especially during the pandemic.

**Ключевые слова:** корпоративные мероприятия, ивент-мероприятия, мотивация труда, инструменты нематериальной мотивации труда, форматы ивент-мероприятий.

DOI: 10.20291/2079-0392-2021-1-72-81

Статья рекомендована к опубликованию д-р техн. наук, профессором Уральского государственного университета путей сообщения В. М. Сай. E-mail: VSay@usurt.ru.

Надежда Анатольевна Александрова, канд. филос. наук, доцент; кафедра «Управление персоналом и социология» Уральского государственного университета путей сообщения; Екатеринбург, Россия. E-mail: ana1856@mail.ru. ORCID 0000-0002-4814-7306.

Наталья Фердинандовна Махт, заместитель начальника Свердловской дирекции моторвагонного подвижного состава (по кадрам и социальным вопросам). Екатеринбург, Россия. E-mail: remaht75@mail.ru. ORCID 0000-0002-9035-5678.

The article is recommended for publishing by Doctor of technical science, Professor of Ural state university of railway transport V. M. Say. E-mail: VSay@usurt.ru.

Nadezhda Anatolyevna Alexandrova, Candidate of Philos., Associate Professor, Department of Human Resources Management and Sociology, Ural State University of Railway Transport, Yekaterinburg, Russia. E-mail: ana1856@mail.ru. ORCID 0000-0002-4814-7306.

Natalia Ferdinandovna Macht, Deputy Head of the Sverdlovsk Directorate of Multiple Unit Rolling Stock (for Human Resources and Social Issues). Yekaterinburg, Russia. E-mail: remaht75@mail.ru. ORCID 0000-0002-9035-5678.

Организация и проведение корпоративных мероприятий служат одним из наиболее значимых инструментов нематериальной мотивации персонала. Возможность неформального общения во вне рабочее время и организация досуга работников не только увеличивают уровень приверженности персонала компании, но и налаживают коммуникативные связи, тем самым повышая эффективность выполнения рабочих задач. Проведение мероприятий позволяет наиболее четко транслировать ценности и цели, принятые как в компании в целом, так и в конкретном подразделении, что способствует формированию организационной культуры, обеспечивающей стабильное функционирование трудового коллектива [1, 2].

Под корпоративным мероприятием будем понимать спланированное и организованное событие в культурно-досуговой и маркетинговой сферах, проводимое от лица работодателя и предназначенное для работников организации и являющееся для них значимым и особенным, реализация которого ограничена во времени и пространстве и направлена на решение конкретных целей и задач [3]. Как правило, основная цель ивент-мероприятий заключается в приобщении работников к организационной культуре предприятия, которая служит фактором успеха организации в конкурентной борьбе в силу ее прямого воздействия на трудовое поведение и продуктивность работников [4].

Ивент-мероприятия как инструмент нематериальной мотивации имеют ряд преимуществ.

Во-первых, они обладают высокой степенью эмоционального воздействия и эмоционального отклика, т.к. используют эмоционально-выразительные средства воздействия на сознание и чувства членов коллектива, во-вторых, они планируются с учетом специфики половозрастной, образовательной и профессиональной структуры коллектива и нацелены на создание благоприятного внутреннего имиджа организации и ее

руководства, в-третьих, ивент-мероприятие, характеризующееся слабо регламентированным общением и свободой выбора деятельности, поддерживает общность ценностей членов коллектива, в-четвертых, слабая степень регламентации деятельности в ходе ивент-мероприятий позволяет реализовать полноценную неформальную коммуникацию, ориентированную на поддержание и развитие системы неформальных межличностных отношений, утверждение норм положительной и доверительной коммуникации, открытости и интерактивности [5, 6].

Стратегически мыслящие руководители организаций придают огромное значение проведению корпоративных мероприятий в силу их значительной роли в формировании и поддержании организационной культуры и мотивировании персонала к одобряемым формам трудового поведения [7].

Естественно, что ивент-мероприятия будут успешными, если их формат, время и место проведения выбираются с учетом консолидированного мнения работников и их предпочтений.

В первой половине 2020 года в моторвагонном депо Екатеринбурга проведено исследование, нацеленное на улучшение качества организации и проведения корпоративных мероприятий как инструмента нематериальной мотивации труда, выявление актуальности и значимости проведения таких мероприятий. Оно проводилось с использованием методов анкетного online- и offline-опроса, в котором приняли участие 127 машинистов и помощников машинистов (50 человек в offline- и 77 – в online-формате), что составляет 62,0 % работников данной категории, проживающих в Екатеринбурге. Все респонденты – мужчины; 55,9 % – молодые люди в возрасте до 35 лет; 60,6 % опрошенных женаты. Социально-демографические характеристики выборочной совокупности отражают качественные и количественные характеристики данной социально-профессиональной группы персонала депо.

Для определения существующего проблемного поля и корректировки инструментария исследования проведено гайд-интервью с заместителем начальника предприятия по кадрам и социальным вопросам. Особенность исследования заключается в том, что оно проведено в период пандемии, когда все ивент-мероприятия отменены, а многие каналы неформальной коммуникации оказались заблокированными.

В ходе проведенного исследования изучены следующие вопросы:

- опыт и степень участия членов локомотивных бригад в корпоративных мероприятиях, а также уровень их удовлетворенности ивент-мероприятиями;
- приоритетные форматы корпоративных мероприятий для работников локомотивных бригад;
- предпочитаемые способы проведения досуга данных категорий работников во внерабочее время.

Исходя из данных, полученных в ходе анкетирования, можно утверждать, что большинство участников исследования (64,6 % опрошенных) принимало участие в подобных мероприятиях своего подразделения (рис. 1).

Большая часть работников, имеющих опыт участия в корпоративных

мероприятиях депо, отметила, что стараются их посетить, если им интересен формат, в котором они будут проходить (25,2 % опрошенных) или у них на момент проведения мероприятия нет более важных дел (21,3 %). При этом больше трети участников исследования (35,4 %) указали, что не посещают корпоративные мероприятия.

Что касается частоты и поводов их организации, то почти половина респондентов отметила, что проведение данных мероприятий чаще всего приурочено к государственным и профессиональным праздникам (46,2 % опрошенных). Однако каждый третий участник анкетирования считает, что корпоративные мероприятия не проводятся, что может свидетельствовать о недостаточной информированности персонала об их проведении (рис. 2).

Особое внимание в исследовании сосредоточено на изучении оценок машинистов и помощников машинистов важности проведения корпоративных мероприятий в их депо (рис. 3).

Из рис. 3 ясно, что большинство участников анкетирования указали, что считают проведение корпоративных мероприятий важным или же очень важным (58,7 % опрошенных). При этом



Рис. 1. Опыт участия членов локомотивных бригад в корпоративных мероприятиях

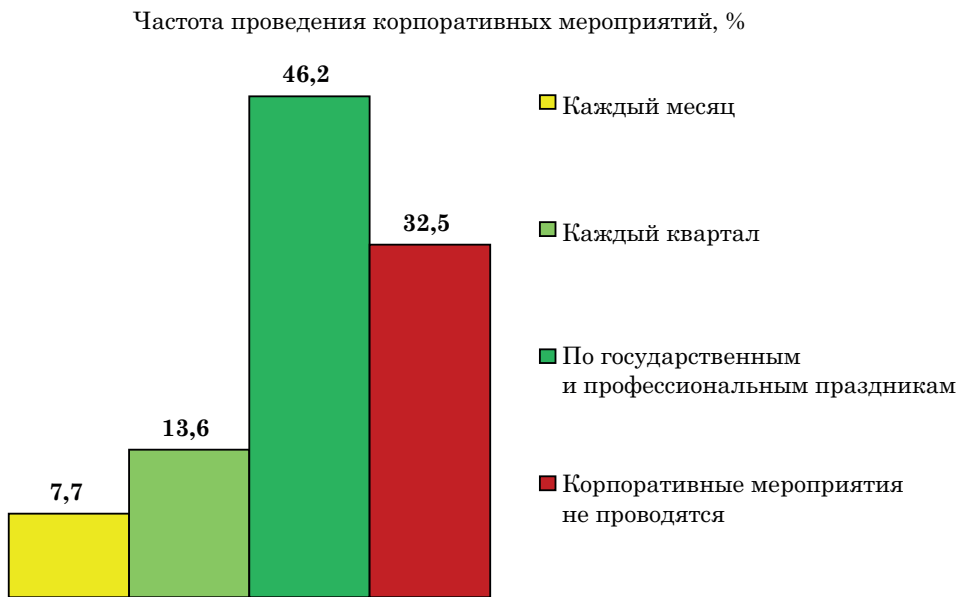


Рис. 2. Частота проведения корпоративных мероприятий

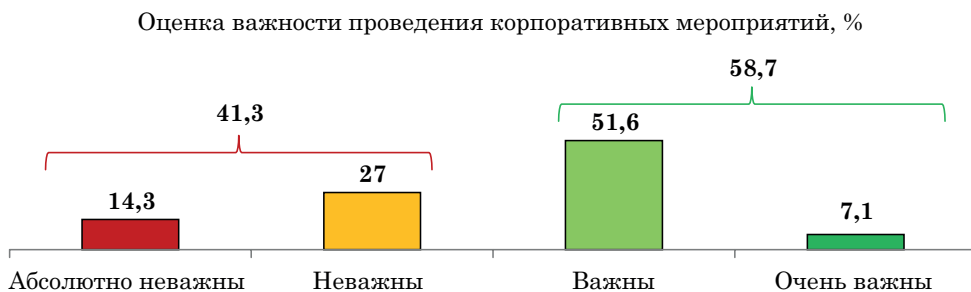


Рис. 3. Оценка важности корпоративных мероприятий

значима доля тех, кто считает, что подобные мероприятия неважны или абсолютно неважны (41,3 %), что может быть связано с отсутствием опыта участия в них или же с уровнем удовлетворенности теми мероприятиями, в которых работники принимали участие.




Дополнительно оценка важности проведения корпоративных мероприятий проведена при помощи метода полярных профилей – респондентам нужно было проявить согласие с одним из противоположных высказываний. В результате анализа выявлено, что машинисты и помощники машинистов готовы посещать корпоративные мероприятия

в случае, если они располагают свободным временем; они уверены, что подобные мероприятия сближают коллектив и хотели бы, чтобы участвовать могли не только работники компании, но и их семьи (таблица 1).

Учитывая особенности проведения корпоративных мероприятий в депо, участникам исследования предложено выразить степень удовлетворенности различными аспектами организации мероприятий. Респондентам было необходимо оценить представленные характеристики по 5-балльной шкале, где 1 – совершенно не удовлетворены представленным аспектом организации,

Таблица 1

## Отношение респондентов к корпоративным мероприятиям

Высказывание	Согласие респондентов	Высказывание
Я всегда с радостью посещаю корпоративные мероприятия подразделения		Я посещаю корпоративные мероприятия только, когда у меня есть свободное время
Корпоративные мероприятия сближают коллектив		Корпоративные мероприятия не влияют на работу коллектива
Корпоративные мероприятия должны проводиться не только для работников, но и для их семей		На корпоративных мероприятиях должны присутствовать только работники трудового коллектива

а 5 – полностью удовлетворены. В ходе анализа полученных данных выведена усредненная оценка на основании всех полученных ответов (рис. 4).

Наименьшую удовлетворенность вызывают удобство времени проведения мероприятия и организация вовлечения сотрудников к участию в мероприятиях, что связано с графиком работы локомотивных бригад. Также стоит отметить запрос на увеличение частоты проведения мероприятий и разнообразия

в форматах, что связываем с отменой ивент-мероприятий в привычном виде на фоне пандемии.

С учетом зафиксированного ранее высокого уровня оценки важности проведения корпоративных мероприятий в депо вопрос проработки аспектов организации остается одним из наиболее актуальных в рамках повышения эффективности корпоративных мероприятий как инструмента нематериальной мотивации персонала. В первую очередь

Удовлетворенность различными аспектами корпоративных мероприятий, проводимых в подразделении, %

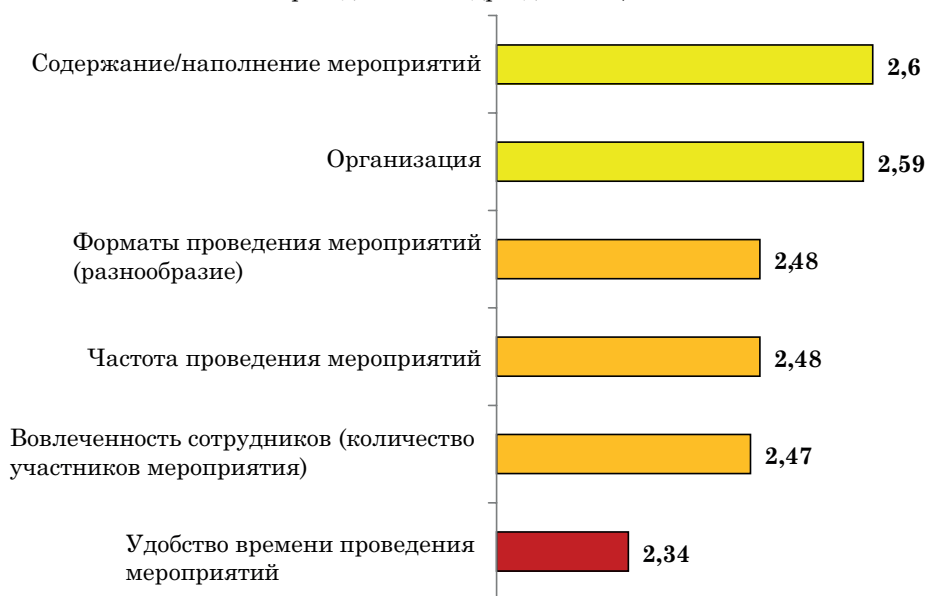


Рис. 4. Удовлетворенность различными аспектами корпоративных мероприятий

необходима корректировка дат и времени их проведения в соответствии с рабочими графиками машинистов и помощников машинистов депо.

Для определения приоритетных форматов корпоративных мероприятий первоначально рассмотрены ключевые особенности форм досуга машинистов и помощников машинистов депо. В ходе анализа полученных данных выявлено, что участники исследования предпочитают проводить свободное от работы время со своими супругами/подругами (58,3 % ответивших), с друзьями (50,4 %), с родственниками и родителями (48,8 %) и детьми (40,2 %). Менее предпочтительно проведение свободного от работы время с коллегами по работе (10,2 %).

При рассмотрении конкретных форм досуга участников исследования выявлено наиболее предпочтительное для машинистов и помощников машинистов: активный отдых на природе (50,4 %

ответивших), отдых на природе – охота/рыбалка (39,4 %), прогулки на свежем воздухе (38,6 %) и просмотр фильмов/сериалов (32,3 %) (рис. 5).

Наименьшую заинтересованность участники исследования проявляют к участию в настольных (3,9 % ответивших) и интеллектуальных играх (4,7 %), что необходимо учитывать при организации последующих корпоративных мероприятий. Определение востребованных форматов проведения корпоративных мероприятий при помощи опросных методик необходимо ввести в качестве регулярной практики для организации наиболее востребованных и, как следствие, более эффективных ивент-мероприятий, нацеленных на нематериальную мотивацию персонала.

В процессе исследования определен общий уровень удовлетворенности данной категории работников своей профессиональной деятельностью и характер отношения участников исследования



Рис. 5. Предпочитаемые формы досуга  
(сумма превышает 100 %, так как респонденты могли дать несколько вариантов ответа)

к работе. Анкетирование показало, что большинство опрошенных (76,9 %) отмечает высокий уровень удовлетворенности своей работой (таблица 2).

Таблица 2

Уровень удовлетворенности профессиональной деятельностью, %\*

1	2,5
2	5
3	15,7
4	43
5	33,9

\*От 1 до 5, где 1 совершенно – не удовлетворен, а 5 – полностью удовлетворен.

Отношение к работе изучено при помощи метода полярных профилей, представленных в форме противоречащих друг другу высказываний, согласие с которыми необходимо выразить респондентам (таблица 3).

Определив существующий уровень удовлетворенности корпоративными мероприятиями, проводимыми в депо, и рассмотрев приоритетные формы досуга машинистов и помощников машинистов, мы проанализировали наиболее предпочтительные для респондентов форматы проведения мероприятий. В ходе анкетирования участникам исследования предложено оценить по 5-балльной шкале каждый из представленных форматов (рис. 6).

Итак, наиболее предпочтительными форматами с точки зрения респондентов

являются мероприятия с выездом на природу (средняя оценка – 3,96) и спортивно-развлекательные турниры (3,73). Менее предпочтительны творческие вечера (2,59), интеллектуальные игры (2,72), экскурсионные маршруты по Екатеринбургу (2,74) и участие в разнообразных мастер-классах (2,94).

Некоторые рассмотренные форматы получили нейтральные оценки, что свидетельствует о наличии запроса на разнообразие в их использовании при организации и проведении корпоративных мероприятий. Учитывая представленные ранее данные, важно отметить, что проведение мероприятий в приоритетных форматах будет более эффективно, если работники будут иметь возможность повлиять на выбор формата организуемого корпоративного мероприятия при помощи опросных методик, информация об особенностях проведения мероприятия будет заранее предоставлена работникам в полном объеме при помощи наиболее востребованных средств передачи информации, дата и время проведения мероприятия будет учитывать рабочие графики машинистов и помощников машинистов депо, к участию к мероприятию будут привлечены не только работники компании, но и их семьи.

В целом же, необходимо принять корректирующие меры, направленные на улучшение организации корпоративных мероприятий в депо. Предлагаемые меры представлены в таблице 4.

Таблица 3

Отношение участников исследования к работе

Высказывание	Согласие респондентов	Высказывание
Работа – мой второй дом		Я стараюсь четко разграничивать работу и свою личную жизнь
В работе для меня важен не только доход, но и дополнительные возможности, которые предоставляет компания		Работа должна приносить доход, а остальное мне малоинтересно
Я хотел бы проработать в своем подразделении как можно дольше		Меня часто посещают мысли о смене работы



### Предпочтительные форматы проведения корпоративных мероприятий (в %)



Рис. 6. Предпочитаемые форматы проведения ивент-мероприятий

Однако с точки зрения машинистов и помощников машинистов существующая система организации корпоративных мероприятий функционирует недостаточно эффективно (каждый третий участник исследования отметил, что не посещал корпоративные мероприятия (35,4 % опрошенных), а половина участников исследования указала на неудовлетворительный уровень качества проведения подобных мероприятий в их подразделении (51,6 %)). Это свидетельствует о необходимости принятия корректирующих мер, направленных на улучшение организации ивент-мероприятий в депо. В частности, выбирать конкретный формат мероприятия должен на изучении предпочтений

работников трудового коллектива при помощи опросных методик на базе online-сервисов (например, google.docs), утверждать дату и время корпоративного мероприятия нужно с учетом графика работы сотрудников подразделения для привлечения максимального количества возможных участников, необходимо обеспечить участие в корпоративных мероприятиях первых руководителей подразделения для формирования ценностно-ориентационного единства коллектива, информация о предстоящем мероприятии должна быть доведена до каждого сотрудника подразделения и не содержать противоречий в использовании различных информационных каналов. ■

Таблица 4

## Меры по улучшению качества проведения корпоративных мероприятий

Процесс	Необходимые изменения
Определение формата мероприятия	Наиболее эффективным способом выбора конкретного формата проведения мероприятия является изучение предпочтений работников трудового коллектива. Сбор мнений может осуществляться при помощи опросных методик на базе online-сервисов. В ходе исследования выявлено, что в настоящее время для машинистов и помощников машинистов в приоритете активный отдых на природе с возможностью участия их семей
Утверждение даты и времени проведения мероприятия	Утверждение даты и времени проведения корпоративного мероприятия должно производиться с учетом графика работы сотрудников подразделения для привлечения максимального количества возможных участников. Важно отметить, что для эффективного сплочения трудового коллектива необходимо участие в организуемых мероприятиях первых руководителей подразделения
Информирование работников	Информация о предстоящем мероприятии должна быть доведена до каждого сотрудника подразделения и не должна содержать противоречий (дата, время, место проведения) в процессе использования различных информационных каналов (может распространяться при помощи рассылок в социальных сетях, чатах WhatsApp, по электронной почте и т.д.). Информационные рассылки проводятся для информирования (оповещения о предстоящем мероприятии) и побуждения к действию (напоминание о мероприятии)
Регулярность проведения мероприятий	Предпочтительно использование корпоративных мероприятий двух видов: регулярные (пример – проведение еженедельных футбольных турниров), ситуационные (пример – выезд трудового коллектива на базу отдыха в преддверии Дня железнодорожника)

## Литература

1. Александрова Н. А., Машьянова Е. Ю. Организационная культура: поиски алгоритма управления изменениями // Дискуссия. 2012. № 10. С. 70–77. ISSN 2077-7639.
2. Țara-Lunga M. Major special events: an interpretative literature review // Management & marketing challenges for the knowledge society. 2012. № 4. P. 759–776.
3. Старцева Н. Н. Ивент-менеджеры как профессиональная группа: процесс формирования в современной России : дис. ... канд. социолог. наук : 22.00.04 / Российская академия народного хозяйства и государственной службы при Президенте Российской Федерации. – Екатеринбург, 2014.
4. Шаталова Н. И., Окунева Т. В. Ценностно-ориентационное единство коллектива // Социология. 2010. № 4. С. 93–100. ISSN 1812-9226.
5. Старцева Н. Н., Варанкина Е. В. Применение ивент-технологий в практике управления персоналом / Россия между архаизацией и модернизацией: 1917–2017 гг. : м-лы XX научн.-практ. конф. Гуманитарного университета. – Екатеринбург, 2017. С. 265–268. ISBN 978-5-7741-0306-5.
6. Douglas N., Douglas N., Derett R. Special interest tourism: starting with the individual. Milton: John Wiley and Sons, 2001. 475 p.
7. Чурсина Н. Ф. Нематериальные факторы мотивации труда // Экономика и управление: проблемы, решения. 2017. № 7. С. 52–58. ISSN 2227-389.

## Literature

1. Alexandrova N. A., Mashyanova E. Yu. Organizational culture: the search for a change management algorithm // Discussion [[Organizatsionnaya kul'tura: poiski algoritma upravleniya izmeneniyami // Diskussiia]. 2012, № 10. Pp. 70–77. ISSN 2077-7639.
2. Țara-Lunga M. Major special events: an interpretative literature review // Management & marketing challenges for the knowledge society. 2012, № 4. P. 759–776.

3. Startseva N. N. Event managers as a professional group: the process of formation in modern Russia: dis. ... cand. Social Sciences : 22.00.04/ Russian Academy of National Economy and Public Administration under the President of the Russian Federation [Ivent-menedzhery kak professional'naya gruppa: protsess formirovaniya v sovremennoj Rossii: dis. ... kand. sotsiolog. nauk : 22.00.04/ Rossijskaya akademiya narodnogo khozyajstva i gosudarstvennoj sluzhby pri Prezidente Rossijskoj Federatsii]. – Yekaterinburg, 2014.
4. Shatalova N. I., Okuneva T. V. Value-oriented unity of the collective [Tsennostno-orientatsionnoe edinstvo kolektiva]. 2010, № 4. Pp. 93–100. ISSN 1812-9226.
5. Startseva N. N., Varankina E. V. Application of event technologies in the practice of human resources management / Russia between archaization and modernization: 1917–2017: Proceedings of the XX scientific and practical conference, Humanities University [[Primenenie ivent-tekhnologij v praktike upravleniya personalom / Rossiya mezhdru arkhaizatsiej i modernizatsiej: 1917–2017 gg. : m-ly XX nauchn.-prakt. konf. Gumanitarnogo universiteta]. – Yekaterinburg, 2017. Pp. 265–268. ISBN 978-5-7741-0306-5.
6. Douglas N., Douglas N., Derett R. Special interest tourism: starting with the individual. Milton: John Wiley and Sons, 2001. 475 p.
7. Chursina N. F. Non-financial factors of labor motivation // Economics and Management: problems, solutions [Nematerial'nye faktory motivatsii truda // Ekonomika i upravlenie: problemy, resheniya]. 2017. № 7. Pp. 52–58. ISSN 2227-389.

*Статья сдана в редакцию 13 февраля 2021 года*

# Инженерная защита окружающей среды

УДК 656.021.8, 656.022.41

*С. П. Вакуленко, А. В. Колин, Д. Ю. Роменский, К. А. Калинин*

## Экологический аспект организации грузового обхода в створе коридора «Центр – Юг»

UDC 656.021.8, 656.022.41

*S. P. Vakulenko, A. V. Kolin, D. Yu. Romensky, K. A. Kalinin*

## Environmental aspect of the organization of cargo bypass in the alignment of the corridor «Center – South»

### Аннотация

Развитие железных дорог – важнейшее условие для удержания позиций на рынке перевозок и перспективного увеличения конкурентоспособности железнодорожного транспорта. Это может быть, например, специализация существующих железнодорожных магистралей на линии с преимущественно грузовым и на линии с преимущественно пассажирским движением. Но

из-за недостаточно густой сети железных дорог реализация подобных проектов приводит к появлению больших перепробегов поездов и увеличению себестоимости перевозок.

В статье на примере транспортного коридора Москва – Воронеж – Ростов-на-Дону – Краснодар – Сочи, испытывающего дефицит провозной способности, и проекта специализации основной магистрали под скоростное

пассажирское движение доказывается, что организация скоростного сообщения на существующей магистрали сокращает время хода поездов. В условиях жёсткой конкуренции с воздушным и автомобильным транспортом время поездки в 16–18 ч до Сочи не изменит распределение пассажиропотоков между видами транспорта, а только сохранит статус-кво. Но вынос грузовых перевозок с линии Воронеж

*Статья рекомендована к опубликованию канд. техн. наук Сибирской угольной энергетической компании А.В. Рыженковым. E-mail: andryzh@yandex.ru.*

**Сергей Петрович Вакуленко**, канд. техн. наук, профессор; директор Института управления и цифровых технологий Российского университета транспорта (МИИТ). E-mail: post-iuit@bk.ru. ORCID 0000-0001-8206-1656.

**Алексей Валентинович Колин**, старший преподаватель; кафедра «Управление транспортным бизнесом и интеллектуальные системы» Российского университета транспорта (МИИТ). E-mail: alex5959@yandex.ru. ORCID 0000-0001-8206-1656.

**Дмитрий Юрьевич Роменский**, старший преподаватель; кафедра «Управление транспортным бизнесом и интеллектуальные системы» Российского университета транспорта (МИИТ). E-mail: romensky@miit.ru. ORCID 0000-0001-8206-1656.

**Кирилл Антонович Калинин**, аспирант; кафедра «Управление транспортным бизнесом и интеллектуальные системы» Российского университета транспорта (МИИТ). E-mail: achklinkll@mail.ru. ORCID 0000-0001-8206-1656.

*The article is recommended for publishing by Cand. of tech. science of Siberian coal power company A.V. Ryzhenkov. E-mail: andryzh@yandex.ru.*

**Sergey Petrovich Vakulenko**, Candidate of Technical Sciences, Professor; Director of the Institute of Management and Digital Technologies of the Russian University of Transport (MIIT). E-mail: post-iuit@bk.ru. ORCID 0000-0001-8206-1656.

**Alexey Valentinovich Kolin**, Senior Lecturer, Department of Transport Business Management and Intelligent Systems, Russian University of Transport (MIIT). E-mail: alex5959@yandex.ru. ORCID 0000-0001-8206-1656.

**Dmitry Yuryevich Romensky**, Senior Lecturer, Department of Transport Business Management and Intelligent Systems, Russian University of Transport (MIIT). E-mail: romensky@miit.ru. ORCID 0000-0001-8206-1656.

**Kirill Antonovich Kalinin**, Postgraduate Student, Department of Transport Business Management and Intelligent Systems, Russian University of Transport (MIIT). E-mail: achklinkll@mail.ru. ORCID 0000-0001-8206-1656.

– Ростов принесёт большие убытки как для ОАО «РЖД» (потеря грузовой базы), так и для экономики всей страны.

По методике ETW сравнивается общее экологическое воздействие от движения грузовых поездов без кружности, движения их кружностью через Волгоград, а также от автомобильных перевозок. Доказано, что при выносе грузопотока на круглый маршрут теряется экологическое преимущество железнодорожного транспорта и по своему воздействию он сравнивается с автомобильным.

Делается вывод, что вместо специализации существующих перегруженных линий следует рассматривать поэтапное строительство новой специализированной высокоскоростной магистрали (ВСМ), для окупаемости которой уже в настоящее время в этом транспортном коридоре наличествует достаточный пассажиропоток.

**Ключевые слова:** высокоскоростной железнодорожный транспорт, ВСМ, транспортные коридоры, железнодорожный транспорт, экология, экологический эффект.

DOI: 10.20291/2079-0392-2021-1-82-92

### Abstract

The development of railways is the most important condition for maintaining its position at the transportation market and increasing the competitiveness of railway transport in future. This may be, for example, the specialization of existing railway lines on the line with mainly freight and on the line with mainly passenger traffic. But due to the insufficiently dense railway network, the implementation of such projects leads to appearance of large train runs and an increase in the cost of transportation.

The article shows that the organization of high – speed railway traffic on the existing mainline reduces the train running time by using the example of Moscow – Voronezh – Rostov-on-the-Don – Krasnodar – Sochi transport corridor, which is experiencing a shortage of carrying capacity, and the project of specialization of the mainline for high-speed passenger traffic. In the conditions of fierce competition with air and road transport, the travel time of 16-18 hours to Sochi will not change the distribution of passenger traffic between

modes of transport, but only maintain the status quo. But the removal of freight traffic from the Voronezh – Rostov line will bring big losses both for JSC «Russian Railways» (the loss of the cargo base) and for the economy of the whole country.

The ETW method is used to compare the overall environmental impact of freight trains movement on a non-circular route, their movement through Volgograd, as well as on road transport. It is proved that when the cargo flow is carried out on a circular route, the environmental advantage of railway transport is lost, and its impact is compared with that of road transport.

It is concluded that instead of specialization of the existing congested lines, it is necessary to consider the phased construction of a new specialized high-speed railway (HSR), for the payback of which there is already sufficient passenger traffic in this transport corridor.

**Keywords:** high-speed railway transport, HSR, transport corridors, railway transport, ecology, ecological effect.

DOI: 10.20291/2079-0392-2021-1-82-92

Повышение спроса на грузовые и пассажирские перевозки в коридоре «Север – Юг» в сообщении между регионами и транспортными узлами в центральной и южной частями России удовлетворяется реализацией не связанных друг с другом, в некотором роде конкурирующих (за федеральное финансирование и за клиентов) проектов развития инфраструктуры. Это, например, строительство новой аэропортовой и аэродромной инфраструктуры (Геленджик, Краснодар, Ростов-на-Дону, Саратов, Сочи, Анапа, Симферополь), повышение пропускной способности

федеральных автомобильных магистралей (М-4 «Дон», Р-217 «Кавказ» и А-289 «Краснодар – Керчь») и развитие железнодорожных линий (инвестпроекты развития подходов к портам Северного Кавказа, транспортного коридора «Север – Юг» и строительства ВСМ-3 «Центр – Юг»). Железные дороги нуждаются в куда более масштабных суммарных вложениях из федеральных бюджетов и инвестпрограммы ОАО «РЖД». Крайне актуальным становится поиск оптимального целевого состояния транспортной сети, при котором железнодорожный транспорт сможет освоить

максимальные объёмы перевозок, а вложения в инфраструктуру будут иметь максимальную фондоотдачу.

Одним из возможных вариантов ответа на стоящие перед ОАО «РЖД» вызовы может быть специализация железнодорожных магистралей по видам преимущественных перевозок, например, грузовые или пассажирские [1]. Но реализация подобных инициатив связана с необходимостью реконструкции целых железнодорожных полигонов, а сфера применения специализации ограничена.

Дефицит пропускной способности на магистрали Москва – Рязань – Воронеж – Ростов (особенно на участках Воскресенск – Рыбное, Лихая – Ростов) не уменьшается. Этот коридор продолжает обеспечивать пропуск грузопотоков минеральных удобрений, угля, металла, зерна, углеводородного сырья в экспортных сообщениях через порты Новороссийск, Тамань, Туапсе и др., а также в сообщениях с центральной и северной и северо-западной частями России (в т.ч. порты Балтийского моря), одновременно пропуская до 60 пар пассажирских поездов в сутки в летний период. Нитки грузовым поездам предоставляются по остаточному принципу, их размеры достигают 40-45 пар в сутки в летний период. Значительное количество грузовых поездов уже сейчас вынужденно направляется круглыми маршрутами, что увеличивает сроки доставки и издержки перевозчика и грузовладельцев. А вот автодорожная инфраструктура, например, федеральная трасса М-4 «Дон» продолжает последовательно развиваться. Увеличение спроса на грузовые и пассажирские перевозки дало толчок к полной реконструкции трассы от Москвы до Краснодара и увеличению её пропускной способности в несколько раз.

В этих условиях у ОАО «РЖД» без многомиллиардных вложений практически нет возможности предложить клиентам новые транспортные продукты в сегментах массовых и немассовых грузов. Получая запросы на запуск

новых контейнерных сервисов и на пропуск маршрутных поездов с продуктами первого передела (минеральное сырьё, углеводороды и т.д.) от грузоотправителей, ОАО «РЖД» как владелец инфраструктуры и перевозчик не всегда может удовлетворить пожелания клиентов в полном объёме.

Для решения проблемы истощения пропускной способности участков коридора Центр – Юг и обеспечения нужд пассажирского и грузового движения предлагается поэтапное развитие существующего железнодорожного коридора и специализация его на пассажирских перевозках [2, 3]. Ускорение пассажирских поездов до маршрутной скорости 120–140 км/ч связано с проведением капиталоемких работ в условиях действующей магистральной линии (спрямление кривых, реконструкция станций, оздоровление земляного полотна, модернизация верхнего строения пути и системы тягового электропитания). Это позволит сократить время в пути пассажирским поездам в сообщении Центр – Юг с 23–32 ч до 16–18 ч по маршруту Москва – Адлер или с 24–29 ч до 20 ч по маршруту Москва – Кисловодск, но при этом усугубится дефицит провозной способности коридора и ухудшится качество перевозок. К окончанию модернизации железнодорожного коридора Центр – Юг (ориентировочно 2030 г.) конкурентные преимущества воздушного и автомобильного транспорта еще больше возрастут. В лучшем случае такая модернизация сохранит текущий пассажиропоток поездов дальнего следования, но не позволит увеличить его за счёт оттока с других видов транспорта, так как не улучшится ни один из важнейших показателей качества транспортной услуги.

При модернизации существующей линии Воронеж – Лихая – Ростов для ускорения пассажирского сообщения грузовые поезда будут отклонены на круглые маршруты и возникнет та же проблема, которая возникает в коридоре Москва – Санкт-Петербург с пропуском грузовых поездов круглыми



маршрутами через Вологду или Дно [4, 5]. Очевидно, что не все грузопотоки можно вынести с линии Воронеж – Ростов на кружные маршруты (например, уголь из Ростовской области), но даже те, которые можно будет вынести, проследуют альтернативным маршрутом через Кочетовку – Саратов – Волгоград – Тихорецкую (рис. 1).

Примерно для 40 пар грузовых поездов расстояние следования увеличится на 500–600 км. Эти потери примерно можно оценить в 9 млрд руб./год для ОАО «РЖД» по условно зависящим расходам и примерно в 30 млрд руб./год для экономики РФ в целом. При этом потребуются инвестиции в электрификацию линий Кочетовка – Ртищево и Ожерелье – Елец.

В результате таких масштабных работ качество сухопутных пассажирских перевозок улучшится несущественно. Для пассажиров в сообщении между Москвой и курортами продолжительность поездки сократится с текущих 36-ти до 18 ч, а для пассажиров

в сообщениях Север – Юг и Восток – Юг с 72-х и более до 56 ч.

Кроме дополнительных экономических издержек организация кружного хода для массового проследования грузовых поездов приведет к дополнительному экологическому воздействию.

В ОАО «РЖД» 2021 г. объявлен Годом экологии. Одна из главных задач – актуализация «Стратегии экологической деятельности ОАО «РЖД» до 2030 года» с учётом современных тенденций и новых технологий.

«Мы должны быть экологичными во всех аспектах, любое своё действие осмысленно рассматривать через призму влияния на окружающую среду, любой шаг оценивать с позиции экологии, – заметил глава компании. – Прошедший год дал нам много информации о том, как быстро и в каком направлении меняется мир». Логика развития ОАО «РЖД» предполагает, что компания должна двигаться в сторону так называемой углеродной нейтральности [6].

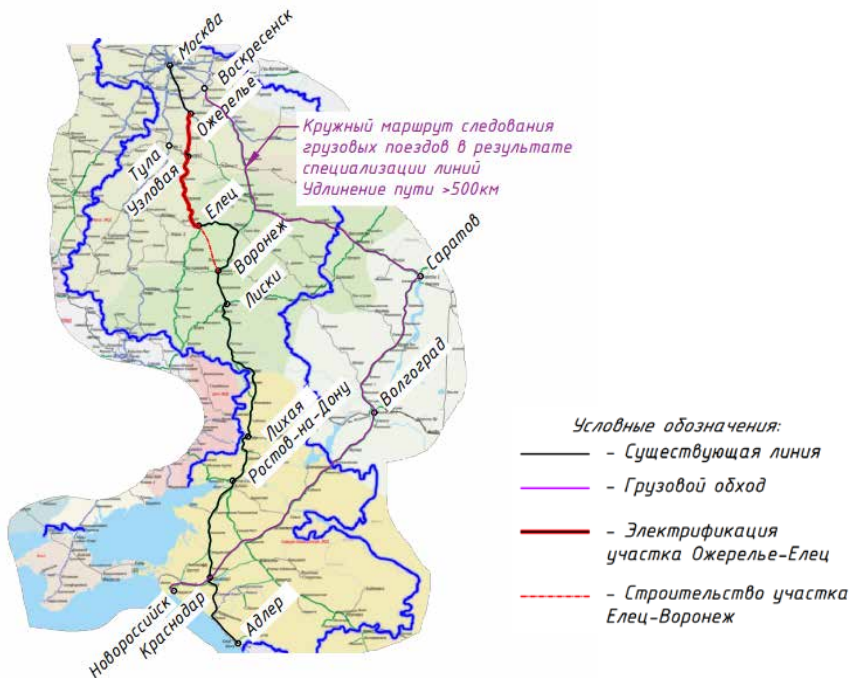


Рис. 1. Схема кружного маршрута для грузовых поездов и модернизации существующих линий для скоростного пассажирского движения в коридоре «Центр – Юг»



В связи в этом целесообразно определить потенциальные угрозы увеличения экологического воздействия от организации грузового обхода в створе коридора «Центр – Юг». Экологический эффект определен на основе методологии Ecological Transport Information Tool for Worldwide Transports (ETW) [7]. В рамках этой методологии рассчитывается определённый набор показателей (таблица 1).

При построении маршрутов перевозок грузов при расчёте в методологии учитывается категоричность железных и автомобильных дорог. Предпочтение при прокладке маршрута отдается магистральным дорогам. Если магистрали использовать нельзя, то используются маршруты по дорогам более низкой категории.

При расчёте также учитываются грузоподъемность и собственная масса транспорта как для автомобилей, так и для поездов.

В методике расчета ETW при расчете экологического эффекта выделяют три основных показателя, характеризующие экологическое воздействие на различных стадиях перевозки и их сумму.

1) Показатель WTT (well-to-tank assessment) включает в себя приведенную оценку выбросов, связанных непосредственно с процессом перевозки рассматриваемым транспортным средством.

2) Показатель TTW (tank-to-wheels assessment). Приведенная оценка экологического воздействия, связанная с процессом производства энергии и её транспортировкой до транспортного средства (при использовании электровозов).

3) Показатель WTW. Суммарный показатель экологического воздействия, выражающий общий объем выбросов по рассматриваемым параметрам.

Согласно европейскому стандарту EN 16258, для определения экологического эффекта необходимо выделять суммарные затраты энергии (PEC) и эмиссию парниковых газов (GHG), которые целесообразно рассматривать по процессам WTT, TTW (рис. 2).

С использованием методологии ETW оценен экологический эффект от проследования грузовых поездов без кружности и при организации отклонения при различных параметрах таких поездов. Также сравниваются экологические эффекты при организации перевозки сопоставимой партии груза автомобильным транспортом по автомагистрали (без кружностей). Для повышения точности расчета экологический эффект определяется для каждого характерного участка движения поездов (таблица 2).

Характеристика рассматриваемых маршрутов приведена в таблице 3, а полученные значения экологического

Таблица 1

## Критерии экологического воздействия при контейнерных перевозках

Обозначение	Описание	Исследуемая область
PEC	Основное потребление энергии	Энергоэффективность и ресурсосбережение
CO <sub>2</sub>	Эмиссия диоксида углерода	Основной индикатор для парникового эффекта
GHG	Эмиссия парниковых газов	Парниковый эффект и связанные с ним проблемы
NO <sub>x</sub>	Эмиссия оксидов азота	Эвтрофикация, экотоксичность, кислотность
NMHC	Эмиссия неметановых углеводородов	Токсичность для человека, смог
SO <sub>x</sub>	Эмиссия диоксидов серы	Кислотность, экотоксичность, смог
Particles	Выхлопные твердые частицы транспортных средств, а также от производства и обеспечения энергией (электростанции, нефтеперерабатывающие заводы, первичные энергоносители)	Токсичность для человека, смог



Рис. 2. Схема учета экологического эффекта по характеристикам WTT, TTW, WTW

Таблица 2

Приведенная характеристика рассматриваемого грузового поезда

Параметр	Значение
Составность	71 усл. ваг.
Масса груза (нетто)	4000 т
Тип груза	Массовый/тарно-штучный
Целевая корреспонденция	Москва – Новороссийск

Таблица 3

Характеристика рассматриваемых маршрутов перевозки груза

№ рассматриваемого участка	Наименование пункта начала участка	Наименование пункта окончания участка	Кратчайшее географическое расстояние, км	Принимаемое расстояние по существующей магистрали, км	Координата отсчета начала маршрута		Координата отсчета окончания маршрута	
					широта	долгота	широта	долгота
Движение грузового поезда без кружности								
1	Михнево	Узловая	130	240	55,12	37,96	53,97	38,17
2	Узловая	Воронеж	260	590	53,97	38,17	51,66	39,17
3	Воронеж	Краснодар	740	920	51,66	39,17	45,01	38,98
4	Краснодар	Новороссийск	100	140	45,01	38,98	44,73	37,77
Всего			1230	1890				
Движение грузового поезда с кружностью								
1	Воскресенск	Кочетовка-3	280	330	55,31	38,7	52,98	40,28
2	Кочетовка-3	Саратов-2	410	940	52,98	40,28	51,52	45,98
3	Саратов-2	Волгоград-1	330	435	51,52	45,98	48,71	44,51
4	Волгоград-1	Краснодар	590	650	48,71	44,51	45,01	38,98
5	Краснодар	Новороссийск	100	140	45,01	38,98	44,73	37,77
Всего			1710	2495				
Движение автотранспорта по участку								
1	Михнево	Воронеж	390	440	55,12	37,96	51,66	39,17
2	Воронеж	Краснодар	740	845	51,66	39,17	45,01	38,98
3	Краснодар	Новороссийск	100	125	45,01	38,98	44,73	37,77
Всего			1230	1410				

Таблица 4

Показатели экологического воздействия при различных вариантах транспортировки груза

Показатель экологического воздействия	Условные обозначения	Единица измерения	Вариант проследования										Увеличение экологического ущерба при организации кружного хода на 1 тону перевезенного груза			
			Движение грузового поезда без кружности					Движение грузового поезда с кружностью						WTW на 1 тону груза при проследовании железнодорожным транспортом без кружности	WTW на 1 тону груза при проследовании железнодорожным транспортом с кружностью	WTW на 1 тону груза при проследовании автомобильным транспортом
			Движение грузового поезда без кружности		Движение грузового поезда с кружностью		Движение грузового поезда без кружности		Движение грузового поезда с кружностью							
			WTT	TTW	WTW	WTT	TTW	WTW	WTT	TTW	WTW	WTW				
Основное потребление энергии	PEC	МДж	3 203 000	1 038 500	4 241 500	4 634 500	1 192 000	5 826 500	884 000	4 679 500	5 573 500	1060,38	1456,63	1393,38	37,0	
Эмиссия диоксида углерода	CO2	т	169,3	8,2	187,4	243,0	297	246,0	73,6	343,5	417,1	0,047	0,061	0,104	31,0	
Эмиссия парниковых газов	GHG	т	183,8	9,3	203,1	264,8	303	267,8	74,7	348,0	422,7	0,051	0,067	0,106	32,0	
Эмиссия оксидов азота	NOx	кг	335	166	501	478	40	518	180	917	1 097	0,125	0,130	0,274	3,0	
Эмиссия неметановых углеводородов	NMHC	кг	25,0	12,1	37,1	28,4	1,9	30,3	116,4	15,4	131,8	0,009	0,008	0,033	-18,0	
Эмиссия оксидов серы	SOx	кг	209,4	0,6	209,9	266,5	0,1	266,6	144,4	10,9	155,2	0,052	0,067	0,039	27,0	
Выхлоп твердых частиц	Particles	кг	39,3	2,96	42,3	57,1	0,42	57,5	689	15,41	22,3	0,011	0,014	0,006	36,0	

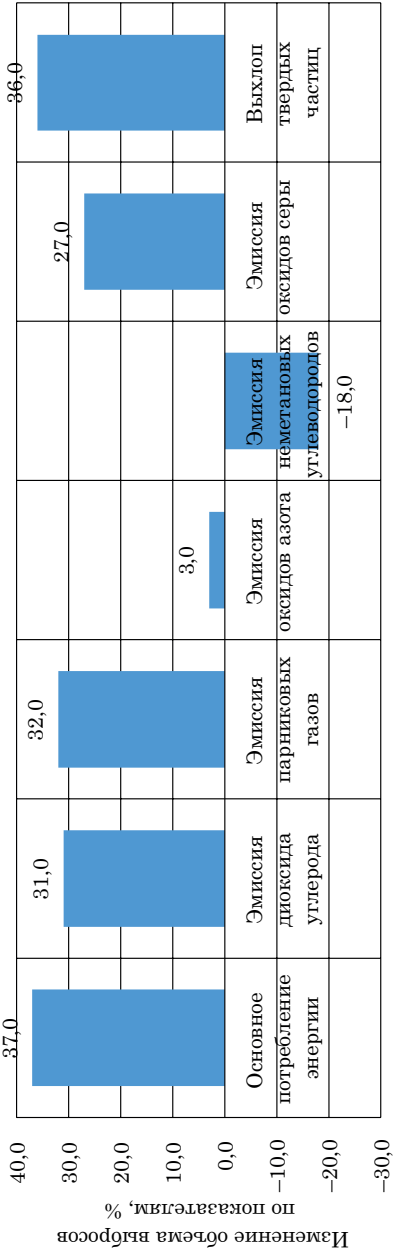


Рис. 3. Медианные значения изменения объема выбросов при организации грузового обхода, %

воздействия при различных вариантах проследования груза – в таблице 4. Диаграмма с медианными значениями изменения выбросов на перевозку 1 тонны груза, построенная по результатам расчетов, приведена на рис. 3.

На рассматриваемом направлении при организации перевозки грузов железнодорожным транспортом с увеличением длины пути значительно возрастают объемы воздействия на окружающую среду, %: энергоемкости транспортировки – на 37, выбросов диоксида углерода – на 31, эмиссии парниковых газов – на 32, эмиссии оксидов азота – на 3, эмиссия неметановых углеводородов сокращается на 18 %.

По показателю эмиссии оксидов азота варианты сопоставимы, а по эмиссии неметановых углеводородов организация обхода при существующей путевой инфраструктуре может быть сокращена на 18 %. Это связано с тем, что при определении суммарного воздействия протяженность проследования неэлектрифицированных участков различна, и при проследовании участка на тепловозном ходу экологический эффект более выражен. При модернизации линии (электрификации) отдельных участков и сооружении прямого участка Елец – Воронеж показатели экологического воздействия при проследовании грузовых поездов по кратчайшему расстоянию могут быть снижены ещё сильнее.

Самый важный показатель для характеристики экологического эффекта перевозки – ее энергоемкость. При организации грузового обхода затраты энергии на транспортировку грузов железнодорожным транспортом начинают превышать приведенные затраты энергии на доставку грузов автомобильным транспортом на 4,5 %, что идет вразрез со стратегией поддержания имиджа железнодорожного транспорта как наиболее экологичного.

По таким критериям, как эмиссия оксидов серы и выхлоп твердых частиц, автотранспорт имеет лучшие показатели. При расчете экологического ущерба

от железнодорожного транспорта берется во внимание объем загрязнения от электростанций при выработке энергии и потери на подстанциях и в контактной сети (WTT); без учета этой составляющей экологическое воздействие от перевозки одной тонны груза железнодорожным транспортом сокращается более чем в пять раз.

Величина потенциального пассажиропотока и опыт организации высокоскоростного движения в Европе [8–10] показывает, что в рассматриваемом коридоре есть необходимый потенциал для сооружения сразу специализированной высокоскоростной железнодорожной магистрали, минуя какие-то ни было промежуточные решения [11–13].

Вместе с кардинальным решением задачи быстрой сухопутной связи Севера и Центра России с Югом (за время, не превышающее продолжительность ночного отдыха) магистраль позволит развить потенциал для освоения всех видов грузовых перевозок (массовых и немассовых). Конечно, стоимость новой специализированной ВСМ обойдется примерно в 2,5 раза дороже реконструкции существующей линии (около 3 трлн руб.), однако у неё будет и большая фондоотдача. ВСМ-3 Москва – Ростов – Адлер позволит:

- организовать высокоскоростные пассажирские перевозки между центральной частью страны (Москвой) и городами черноморского побережья в дневное время за ~6–7 ч, в ночное – за 8–9 ч (с предоставлением мест для ночного отдыха), то естькратно сократить время пути [14, 15];

- сообщение между близлежащими парами городов (Москва, Тула, Воронеж, Ростов, Краснодар, Сочи) со временем нахождения в пути менее 2 ч, что отвечает требованиям о современной логистике пассажирских перевозок [16];

- сообщение центра страны с населёнными пунктами Краснодарского края, Ставрополья и республик Северного Кавказа за 10–12 ч, то есть в течение ночи;

– высвободить пропускные способности существующих железных дорог (прежде всего линии Москва – Рязань – Воронеж – Лихая – Ростов – Краснодар – Новороссийск) для нужд грузовых перевозок, в т.ч. ускоренных [17] и скоростных [18,19], а также для пригородных и региональных пассажирских. Улучшаются условия для организации пригородно-городских пассажирских перевозок в Ростовской, Воронежской и Краснодарской агломерациях [20, 21];

– сохранить умеренную загрузку железнодорожной линии Саратов – Волгоград – Котельниково – Тихорецкая грузовыми поездами, позволяющими пропускать пассажирские поезда, обеспечивающие связь Поволжья и востока России с югом с более высокой маршрутной скоростью;

– уменьшить использование воздушного, а также автомобильного транспорта в коридоре, что благоприятно скажется на экологических показателях и уменьшит заторы на автодорогах.

Для новой ВСМ есть соответствующий потенциальный пассажиропоток, оцениваемый в более чем 20 млн пасс. в год. Технология ВСМ должна позволить пропускать поезда не только днем, но и ночью. Для этого на средней части трассы ночью, где производится скрещение ночных поездов, в соответствии с вариантным графиком часть перегонов будут работать в однопутном режиме во время производства работ на смежном пути.

## Выводы

При возникновении проблемы снижения конкурентоспособности и отсутствия пропускных способностей в загруженных транспортных коридорах наибольшие эффекты в долгосрочной перспективе достигаются не полумерами в виде специализации существующих перегруженных линий, а новым строительством качественной транспортной инфраструктуры в виде выделенных ВСМ.

Организация грузового обхода Кочетовка – Саратов – Волгоград – Тихорецкая высвободит участки для ускорения движения пассажирских поездов и увеличит количество таких поездов, однако это не приведет к значительному скачку спроса на пассажирские перевозки.

Увеличение дальности следования грузовых поездов кроме увеличения себестоимости транспортировки груза создаст дополнительную экологическую нагрузку. При организации грузового обхода энергоемкость перевозок железнодорожным транспортом превысит аналогичный показатель у автотранспорта, что наносит урон имиджу железнодорожного транспорта как наиболее экологичного и энергоэффективного.

Кардинальным решением проблем дефицита провозной способности и ухудшения экологического эффекта от перевозок может стать поэтапное сооружение специализированной высокоскоростной магистрали ВСМ-3 «Центр – Юг» без проведения работ по реконструкции существующих линий под специализацию движения. ■

## Литература

1. Колин А. В. Варианты специализации железнодорожных линий по видам движения и развития сети российских железных дорог // Транспорт РФ. 2015. № 5 (60). С. 32–37. ISSN 1994-831X.
2. Кластер уходит в небо. URL: <https://www.kommersant.ru/doc/4576951> (дата обращения: 23.11.2020).
3. Дорога из Москвы в Адлер сократится на восемь часов. URL: <https://iz.ru/967789/2020-01-23/doroga-iz-moskvy-v-adler-sokratitsia-na-vosem-chasov> (дата обращения: 23.11.2020).
4. Вакуленко С. П., Колин А. В. Высокоскоростная магистраль Санкт-Петербург – Москва: проблемы и перспективы // Железнодорожный транспорт 2006. № 6. С. 47–51. ISSN 0044-4448.
5. Прокофьев М. Н. Новые железные дороги нужны России // Транспорт Российской Федерации. 2019. № 5 (84). С. 38–41. ISSN 1994-831X.

6. В РЖД начался Год экологии. URL: <https://gudok.ru/content/infrastructure/1548733/> (дата обращения: 14.01.21).
7. EcoTransIT World: Methodology and Data / EcoTransIT World Initiative (EWI) – Berne-Hannover-Heidelberg, 2019.
8. Мартыненко А. В. Сравнительный анализ размещения населения в зонах прохождения ВСМ Москва – Казань и ВСМ европейских стран // Инновационный транспорт. 2017. № 4 (26). С. 20–25. ISSN 2311-164X.
9. Тархов С. А. Распространение высокоскоростных железных дорог в странах мира // Региональные исследования. 2017. № 1 (55). С. 25–54. ISSN 1994-5280.
10. Мартыненко А. В., Петров М. Б. Влияние особенностей размещения населения на развитие ВСМ в Европе // Мир транспорта. 2018. № 1 (74). С. 118–135. ISSN 1992-3252.
11. Лапидус Б. М., Мачерет Д. А. Высокоскоростные магистрали – инструмент перехода к инновационному лидерству // Мир перемен. 2018. – № 1. – С. 49–64. ISSN 2073-3038.
12. Киселев И. П. Высокоскоростной сухопутный транспорт: состояние и перспективы // Транспорт Российской Федерации. 2010. № 6 (31). С. 60–67. ISSN 1994-831X.
13. Киселев И. П. Высокоскоростной железнодорожный транспорт: современные вызовы и перспективы развития // Железнодорожный транспорт. 2012. № 11. С. 44–49. ISSN 0044-4448.
14. Раздерищенко И. Н., Лукашенко И. А. Экономическая эффективность и целесообразность строительства высокоскоростных магистралей в Сибири / под общ. ред Г. Ю. Гуляева. – Пенза, 2018. С. 65–74.
15. Быкадоров С. А., Высоких А. А. Эффективность строительстве высокоскоростной железнодорожной магистрали «Москва – Адлер» // Логистика и управление цепями поставок. 2017. № 5 (82). С. 29–44.
16. Колин А. В. Высокоскоростные железнодорожные магистрали как «региональное метро» // Транспорт РФ. 2017. № 1 (68). С. 4–7. ISSN 1994-831X.
17. Колин А. В., Насыбуллин А. М., Айсина Л. Р. Анализ зарубежного опыта организации грузового движения по скоростным и высокоскоростным магистралям // Вестник транспорта. 2016. № 11. С. 42–44.
18. Колин А. В., Насыбуллин А. М., Айсина Л. Р. Скоростные грузовые поезда постоянного формирования на линии Москва – Казань // Вестник транспорта. 2016. № 10. С. 27–28.
19. Куренков П. В., Кравцов А. С., Насыбуллин А. М. Логистические терминалы для высокоскоростных поездов // Экономика железных дорог. 2020. № 2. С. 45–52. ISSN 1727-6500.
20. Пазойский Ю. О., Сидраков А. А. Пассажирский комплекс высокоскоростных магистралей. – М. : ФГБУ ДПО «Учебно-методический центр по образованию на железнодорожном транспорте», 2019. 139 с. ISBN 978-5-907055-58-2.
21. Калинин К. А., Роменская М. В. Варианты ввода высокоскоростных железнодорожных магистралей в города, их влияние на работу железнодорожных узлов и развитие агломераций // Устойчивое развитие территорий. 2019. С. 196–198. ISSN 1998-4502.

#### Literature

1. Kolin A. V. Variants of specialization of railway lines by types of traffic and development of the network of Russian railways // Transport of the Russian Federation [Varianty spetsializatsii zheleznodorozhnykh linij po vidam dvizheniya i razvitiya seti rossijskikh zheleznykh dorog // Transport RF], 2015. № 5 (60). Pp. 32–37. ISSN 1994-831X.
2. Cluster goes to the sky [Klaster ukhodit v nebo]. URL: <https://www.kommersant.ru/doc/4576951> (accessed: 23.11.2020).
3. The road from Moscow to Adler will be reduced by eight hours [Doroga iz Moskvy v Adler sokratitsya na vosem' chasov]. URL: <https://iz.ru/967789/2020-01-23/doroga-iz-moskvy-v-adler-sokratitsia-na-vosem-chasov> (accessed: 23.11.2020).
4. Vakulenko S. P., Kolin A. V. High-speed highway St. Petersburg – Moscow: problems and prospects // Railway Transport [Vysokoskorostnaya magistral' Sankt-Peterburg – Moskva: problemy i perspektivy // Zheleznodorozhnyy transport], 2006, № 6. Pp. 47–51. ISSN 0044-4448.
5. Prokofiev M. N. Russia needs new railways // Transport of the Russian Federation [Novye zheleznye dorogi nuzhny Rossii // Transport Rossijskoj Federatsii], 2019. № 5 (84). Pp. 38–41. ISSN 1994-831X.



6. The Year of Ecology has begun on Russian Railways [V RZHD nachalsya God ehkologii]. URL: <https://gudok.ru/content/infrastructure/1548733/> (date of access: 14.01.21).
7. EcoTransIT World: Methodology and Data / EcoTransIT World Initiative (EWI) – Berne – Hannover – Heidelberg, 2019.
8. Martynenko A. V. Comparative analysis of distribution of the population in the areas of passing Moscow – Kazan HSR and European countries HSR // Innovative transport [Sravnitel'nyj analiz razmeshheniya naseleniya v zonakh prokhozhdeniya VSM Moskva – Kazan' i VSM evropejskikh stran // Innovatsionnyj transport], 2017, № 4 (26), P. 20–25. ISSN 2311-164X.
9. Tarkhov S. A. Distribution of high-speed railways in the countries of the world // Regional studies [Rasprostranenie vysokoskorostnykh zheleznykh dorog v stranakh mira // Regional'nye issledovaniya], 2017, № 1 (55). Pp. 25–54. ISSN 1994-5280.
10. Martynenko A. V., Petrov M. B. Influence of the features of population placement on the development of HSR in Europe [Vliyanie osobennostej razmeshheniya naseleniya na razvitie VSM v Evrope // Mir transporta]. 2018, № 1 (74). Pp. 118–135. ISSN 1992-3252.
11. Lapidus B. M., Macheret D. A. High-speed highways – a tool for transition to innovative leadership // A world of change [Vysokoskorostnye magistrali – instrument perekhoda k innovatsionnomu liderstvu // Mir peremen]. 2018. – № 1. – Pp. 49–64. ISSN 2073-3038.
12. Kiselev I. P. High-speed land transport: state and prospects // Transport of the Russian Federation [Vysokoskorostnoj sukhoputnyj transport: sostoyanie i perspektivy // Transport Rossijskoj Federatsii], 2010, № 6 (31). Pp. 60–67. ISSN 1994-831X.
13. Kiselev I. P. High-speed railway transport: modern challenges and development prospects // Railway transport [Vysokoskorostnoj zheleznodorozhnyj transport: sovremennye vyzovy i perspektivy razvitiya // ZHeleznodorozhnyj transport], 2012, № 11. Pp. 44–49. ISSN 0044-4448.
14. Razderishchenko I. N., Lukashenko I. A. Economic efficiency and expediency of construction of high-speed railways in Siberia. ed. by G. Y. Gulyaev [EHkonomicheskaya ehffektivnost' i tselesoobraznost' stroitel'stva vysokoskorostnykh magistralej v Sibiri / pod obshh. red G. YU. Gulyaeva]. – Penza, 2018. Pp. 65–74.
15. Bykadorov S. A., Vysokikh A. A. Efficiency in the construction of the high-speed railway line «Moscow-Adler» // Logistics and Supply chain management [EHffektivnost' stroitel'stve vysokoskorostnoj zheleznodorozhnoj magistrali «Moskva – Adler» // Logistika i upravlenie tsepyami postavok]. 2017. № 5 (82). Pp. 29–44.
16. Kolin A. V. High-speed railway mainlines as «regional metro» // Transport of the Russian Federation [Vysokoskorostnye zheleznodorozhnye magistrali kak «regional'noe metro» // Transport RF]. 2017, № 1 (68). Pp. 4–7. ISSN 1994-831X.
17. Kolin A. V., Nasybullin A. M., Aisina L. R. Analysis of foreign experience in organizing freight traffic on speedy and high-speed railways // Transport Bulletin [Analiz zarubezhnogo opyta organizatsii gruzovogo dvizheniya po skorostnym i vysokoskorostnym magistralyam // Vestnik transporta]. 2016. № 11. Pp. 42–44.
18. Kolin A. V., Nasybullin A. M., Aisina L. R. High-speed freight trains of permanent formation on the Moscow-Kazan line [Skorostnye gruzovye poezda postoyannogo formirovaniya na linii Moskva – Kazan' // Vestnik transporta]. 2016. № 10. Pp. 27–28.
19. Kurenkov P. V., Kravtsov A. S., Nasybullin A. M. Logistics terminals for high-speed trains // Economy of Railways [Logisticheskie terminaly dlya vysokoskorostnykh poezdov // EHkonomika zheleznykh dorog]. 2020. № 2. Pp. 45–52. ISSN 1727-6500.
20. Pazoysky Yu. O., Sidrakov A. A. Passenger complex of high-speed railways. – M. : FGBU DPO «Educational and Methodological Center for Education on Railway transport» [Passazhirskij kompleks vysokoskorostnykh magistralej. – M. : FGBU DPO «Uchebno-metodicheskij tsentr po obrazovaniyu na zheleznodorozhnom transporte»]. 2019. 139 p. ISBN 978-5-907055-58-2.
21. Kalinin K. A., Romenskaya M. V. Variants of the introduction of high-speed railway lines in cities, their impact on the work of railway hubs and the development of agglomerations [Varianty vvoda vysokoskorostnykh zheleznodorozhnykh magistralej v goroda, ikh vliyanie na rabotu zheleznodorozhnykh uzlov i razvitie aglomeratsij // Ustojchivoe razvitie territorij]. 2019. Pp. 196–198. ISSN 1998-4502.

*Статья сдана в редакцию 10 февраля 2021 года*



# Безопасность жизнедеятельности

УДК 621.316.98

А. А. Косяков

## Молниезащита расположенного на склоне объекта

UDC 621.316.98

А. А. Kosyakov

## Lightning protection of the object located on the slope

### Аннотация

В статье указан недостаток всех действующих инструкции по устройству молниезащиты: отсутствие указаний по расчёту зон молниезащиты объекта, расположенного на склоне. Приведены способы применения действующих инструкции по устройству молниезащиты при расположении объекта на склоне исходя из предположений, что молния ударяет в молниеотводы вертикально и перпендикулярно склону. Описаны особенности выбора характеристик молниезащиты (расчётные точки защищаемого объекта, расчётные высоты молниеотводов, способы построения зон молниезащиты). Предложена методика расчёта зон молниезащиты объекта, расположенного на склоне, исходя из предположения, что молния ударяет в молниеотводы перпендикулярно склону, в частности, введено понятие оси условного молниеотвода, смещённого на плане объекта для расчёта зон молниезащиты. Указаны последствия применения в инженерной практике методики расчёта зон молниезащиты объекта, расположенного на склоне, исходя из предположения, что молния ударяет в молниеотводы перпендикулярно склону. С использованием генератора импульсных напряжений выполнены испытания на модели молниеотвода, расположенного на склоне, с целью определения направления ударов молнии — вертикального или перпендикулярного склону. Опытным путём определено, что предложенную методику расчёта зон молниезащиты объекта, расположенного на склоне, исходя из предположения, что молния ударяет в молниеотводы перпендикулярно склону, необходимо применять в случаях расположения защищаемых объектов на склонах с углом более 25°.

**Ключевые слова:** молниеотвод, зона молниезащиты, электроустановка, подстанция, резервуар с нефтепродуктами, генератор импульсных напряжений.

DOI: 10.20291/2079-0392-2021-1-93-103

### Abstract

The article points out the drawback of all the current instructions for the lightning protection device: the lack of instructions for calculating the lightning protection zones of an object located on a slope. The methods of applying the current instructions for the lightning protection device when placing an object on a slope are given, based on the assumption that lightning strikes the lightning rods vertically and perpendicular to the slope. The features of the choice of lightning protection characteristics (calculated points of the protected object, calculated heights of lightning rods, methods of constructing lightning protection zones) are described. A method for calculating the lightning protection zones of an object located on a slope is proposed, based on the assumption that lightning strikes lightning rods perpendicular to the slope, in particular, the concept of the axis of a conditional lightning rod shifted on the object plan for calculating lightning protection zones is introduced. The consequences of the application in engineering practice of the methodology for calculating the lightning protection zones of an object located on a slope, based on the assumption that lightning strikes the lightning rods perpendicular to the slope, are indicated. Using a pulse voltage generator, tests were performed on a model of a lightning rod located on a slope in order to determine the direction of lightning strikes—vertical or perpendicular to the slope. It was determined experimentally that the proposed method for calculating the lightning protection zones of an object located on a slope, based on the assumption that lightning strikes lightning rods perpendicular to the slope, should be used in cases where the protected objects are located on slopes with an angle of more than 25°.

**Keywords:** lightning rod, lightning protection zone, electrical installation, substation, tank with petroleum products, pulse voltage generator.

DOI: 10.20291/2079-0392-2021-1-93-103

Статья рекомендована к опубликованию канд. техн. наук, заместителем технического директора по охране труда и промышленной безопасности ООО «СТМ-Сервис» С. О. Белинским. E-mail: Belinsriy@sinara-group.com.

Алексей Александрович Косяков, канд. техн. наук, доцент; кафедра «Электрические машины» Уральского государственного университета путей сообщения (УрГУПС), ведущий инженер ООО «Альфа ЭМС». kosakov@yandex.ru. ORCID 0000-0003-3908-5999.

The article is recommended for publishing by S. O. Belinsky, Candidate of Technical Science; Institute of Labor Protection and Industrial Safety, LLC «STM-Service». E-mail: Belinsriy@sinara-group.com.

Alexey Aleksandrovich Kosyakov, Candidate of Technical Science, Associate Professor of the Chair of «Electric Machines» of the Ural State University of Railway Transport (USURT), Leading Engineer of Alfa EMS LLC. kosakov@yandex.ru. ORCID 0000-0003-3908-5999.

В настоящее время имеется несколько действующих инструкций по устройству молниезащиты [1–6]. Общее для указанных нормативных документов – расчёт зон молниезащиты молниеотводов в действующих инструкциях по устройству молниезащиты выполняется исходя из предположения, что защищаемый объект располагается на выровненной площадке (рис. 1).

Суть расчёта зон молниезащиты заключается в расчёте радиуса зоны молниезащиты на высоте  $x$  в местах размещения одиночных молниеотводов ( $r_x$ ) и в середине зоны молниезащиты двойных молниеотводов ( $r_{cx}$ ) по простым формулам

$$r_x = \frac{r_0(h_0 - h_x)}{h_0}, \quad (1)$$

$$r_{cx} = \frac{r_0(h_c - h_x)}{h_c}, \quad (2)$$

$$h_c = \frac{L_{\max} - L}{L_{\max} - L_c} \cdot h_0, \quad (3)$$

где, например, для уровня III надёжности защиты от прямых ударов молнии в соответствии с инструкцией по устройству молниезащиты [1]  $h_0 = 0,85h$ ;  $r_0 = 1,2h$ ;  $L_{\max} = 5,75h$ ;  $L_c = 2,5h$ ,  $h$  – высота

молниеотвода, м;  $L$  – расстояние между молниеотводами, м.

Расчёты по формулам (1)–(3) не вызывают затруднений только в том случае, если молниеотводы располагаются на выровненной площадке. При расположении молниеотводов на склоне (рис. 2) возникают три вопроса, на которые в действующих инструкциях по устройству молниезащиты нет ответа [1–6]:

1) как выбрать для расчётов высоту защищаемого объекта  $h_x$ ;

2) относительно какой точки следует принимать для расчётов высоту молниеотводов  $h$  и, соответственно, параметры зон молниезащиты  $h_0$ ,  $r_0$ ,  $r_x$ ;

3) как применять расчётные формулы – считая, что молнии ударяют в молниеотводы вертикально или что молнии ударяют в молниеотводы под прямым углом к наклонной поверхности.

В инженерной практике в части выбора для расчёта высоты защищаемого объекта  $h_x$  принимается высота объекта в месте его размещения на плане от поверхности земли до самой высокой точки защищаемого объекта. При расположении защищаемого объекта на склоне высоты защищаемого объекта

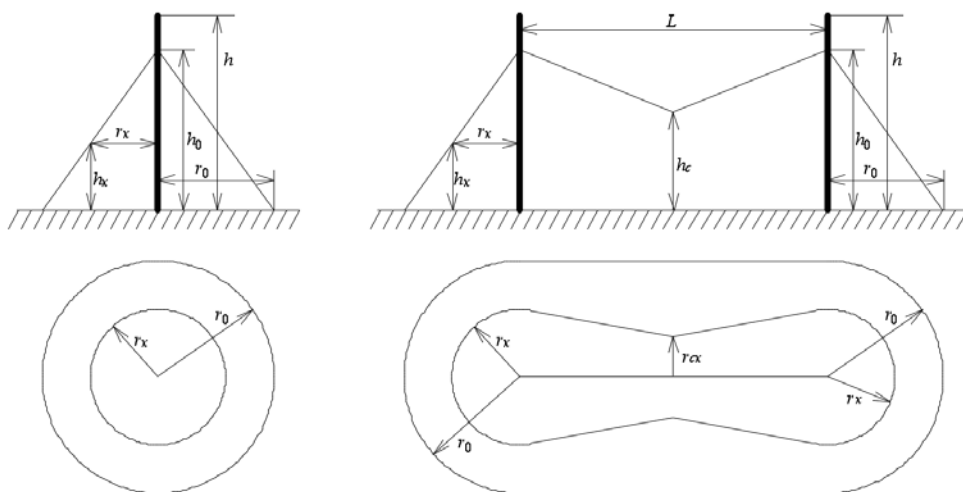


Рис. 1. Зоны защиты одиночного стержневого молниеотвода и двойных стержневых молниеотводов в соответствии с действующими инструкциями по устройству молниезащиты



Рис. 2. Пример расположения молниеотводов и защищаемых объектов (ошиновки, разъединителей и шинных опор подстанции) на склоне

относительно земли будут разными при защите многоуровневых конструкций большой площади типа зданий переменной этажности (например, выше по склону здание имеет два этажа, ниже по склону – три этажа). Однако подобные сооружения обычно защищаются от прямых ударов молнии не молниеотводами, а молниеприёмными сетками или путём заземления металлоконструкций кровли. Объекты, которые однозначно должны быть защищены молниеотводами, как правило, размещены на выровненных площадках (объекты типа резервуаров с нефтепродуктами) либо имеют небольшую площадь (объекты типа электрических аппаратов электроустановок), и высота защищаемого объекта  $h_x$  принимается относительно средней точки объекта 0 (рис. 3).

В части определения высот молниеотводов  $h$  и принципов применения расчётных формул в инженерной практике имеются следующие разногласия.

1. Как правило, высоты молниеотводов принимаются относительно средней точки защищаемого объекта 0 и считается, что молнии ударяют в молниеотводы

вертикально (рис. 3). При этом для одинаковых (типовых) молниеотводов высотой  $h$ , расположенных на склоне, для молниеотвода, расположенного ниже по склону от защищаемого объекта, расчётная высота  $h_1$  будет ниже высоты конструкции молниеотвода  $h$ , а для молниеотвода, расположенного выше по склону от защищаемого объекта, расчётная высота  $h_2$  будет выше высоты конструкции молниеотвода  $h$ . Соответственно, параметры зон молниезащиты  $h_0$ ,  $r_0$ ,  $r_x$  для молниеотводов, расположенных на склоне, будут разными:  $h_{01} < h_{02}$ ,  $r_{01} < r_{02}$ ,  $r_{x1} < r_{x2}$ .

2. По результатам обследования системы молниезащиты расположенной на склоне подстанции 110 кВ Карпушиха филиала ОАО «МРСК Урала» – «Свердловэнерго», «Нижнетагильские электрические сети», выполненного автором в апреле 2020 г., было получено замечание, что при расчётах зон молниезащиты следует высоту одинаковых (типовых) молниеотводов принимать одинаковой и считать, что молнии ударяют в молниеотводы не вертикально, а перпендикулярно склону

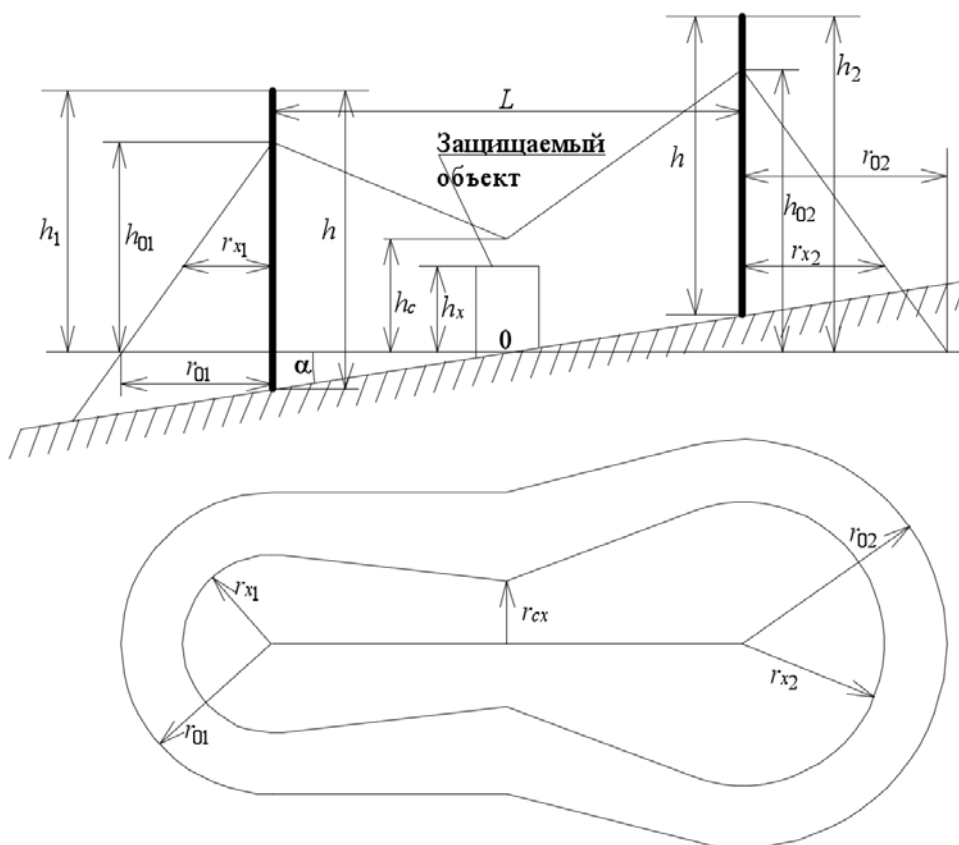


Рис. 3. Зона защиты двойных стержневых молниеотводов, расположенных на склоне, обычно принимаемая в инженерной практике

(рис. 4). Соответственно, параметры зон молниезащиты  $h_0$ ,  $r_0$ ,  $r_x$  будут одинаковыми для одинаковых молниеотводов, расположенных на склоне. Такой подход к расчётам зон молниезащиты не противоречит ни одной инструкции по устройству молниезащиты, и потому расчёт был выполнен, возможно, впервые в инженерной практике. Анализ особенностей такого подхода к расчёту зон молниезащиты является целью настоящей статьи.

В научной литературе [8–13] действующие инструкции по устройству молниезащиты подвергаются критике, предлагаются новые методы расчёта зон молниезащиты, однако все направления развития расчётных методик относятся к случаю расположения объекта на выровненной площадке,

описание расчётов зон молниезащиты в случаях расположения объектов на склонах в литературе не встречается.

При расчётах зон молниезащиты исходя из предположения о возможности ударов молнии в молниеотводы перпендикулярно склону собственно конструкции молниеотводов устанавливаются вертикально. Потому для обеспечения возможности использования формул (1)–(3) на рис. 4 штриховыми линиями отмечено условное угловое смещение молниеотводов (на угол склона  $\alpha$ ), зона молниезащиты молниеотводов построена относительно условно смещённых молниеотводов.

В качестве осей условного углового смещения молниеотводов (рис. 4) выбраны высоты зон молниезащиты  $h_0$ , что не противоречит ни одной действующей

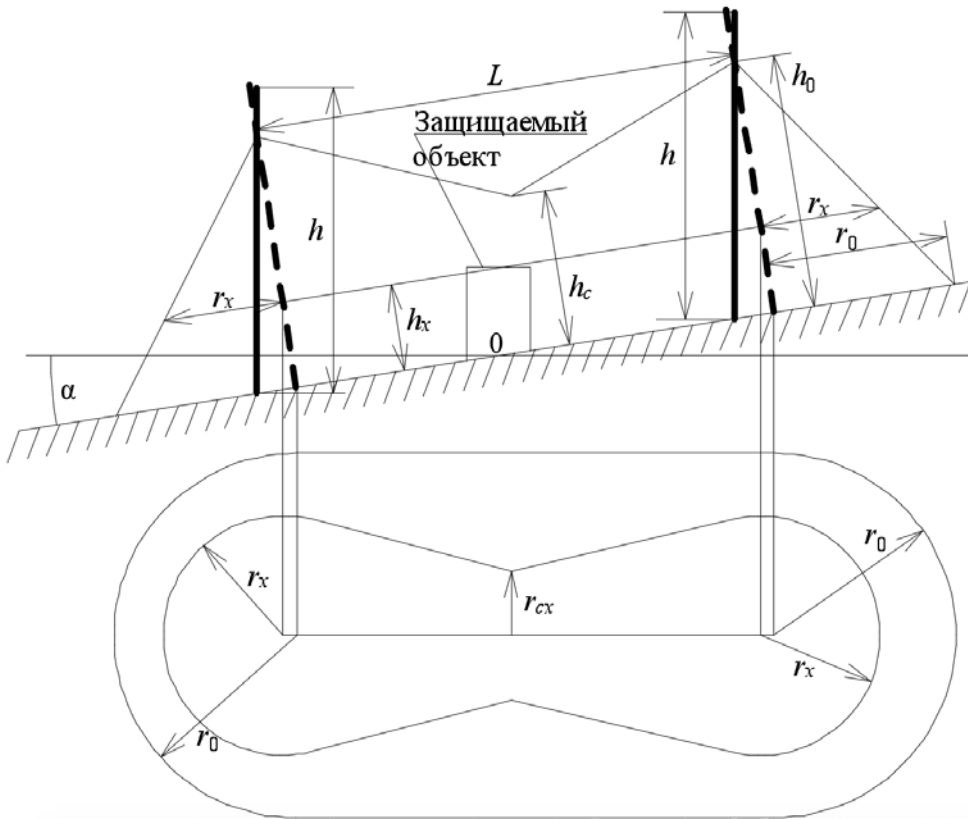


Рис. 4. Зона защиты двойных стержневых молниеотводов, расположенных на склоне, принятая исходя из предположения, что молния ударяет молниеотводы перпендикулярно склону

инструкции по устройству молниезащиты, и позволяет без затруднений построить зоны молниезащиты на плане защищаемого от прямых ударов молнии объекта. В то же время с равным основанием можно было бы принять в качестве осей условного углового смещения молниеотводов высоту защищаемого объекта  $h_x$ , уровень земли или любую другую точку молниеотводов.

В любом случае при введении допущения о возможности ударов молнии в молниеотводы перпендикулярно склону оси зон молниезащиты (оси условно смещённых на угол склона  $\alpha$  молниеотводов) и оси конструкций молниеотводов не будут совпадать (рис. 5), на плане зона молниезащиты молниеотвода М будет смещена в точку М' – оси условного молниеотвода, смещённого на угол

склона  $\alpha$  оси зоны молниезащиты. Расстояние смещения оси молниеотвода на уровне земли  $r'$  и расстояние смещения оси расчётной зоны молниезащиты относительно молниеотвода на плане  $r'_x$  определяются по формулам

$$r' = h_0 \cdot \sin \alpha, \quad (4)$$

$$r'_x = (h_0 - h_x) \cdot \sin \alpha. \quad (5)$$

Смещение оси молниеотвода М в точку М' (рис. 5) приведёт к следующим последствиям при подготовке проектной документации по молниезащите нового объекта или отчётной документации по обследованию системы молниезащиты существующего объекта.

1. Открытым вопросом остается указание молниеотводов на схеме (плане)

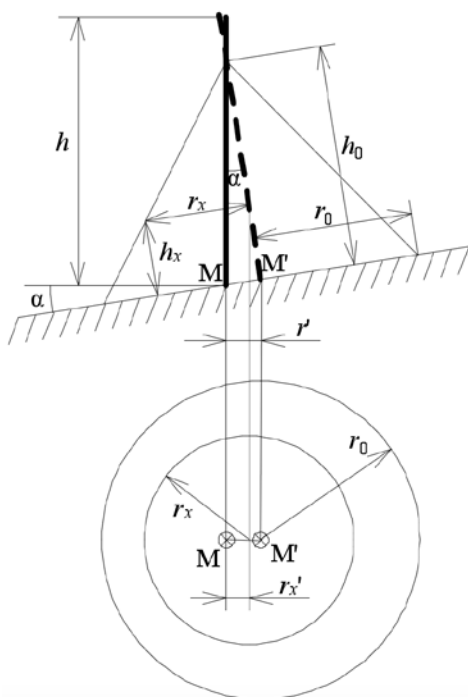


Рис. 5. Зона защиты одиночного молниеотвода, расположенного на склоне, принятая исходя из предположения, что молния ударяет в молниеотвод перпендикулярно склону

молниезащиты. Логичным представляется смещение на схеме (плане) молниезащиты молниеотводов М в точки М' для обеспечения возможности нанесения на схему (план) молниезащиты зон молниезащиты на разных высотах  $h_x$ . Но ни одной инструкции по устройству молниезащиты не противоречит расположение молниеотводов на схеме (плане) молниезащиты в любой точке – от М до М'.

2. При расположении на достаточно большом склоне высоких молниеотводов смещение оси зоны молниезащиты от оси конструкции молниеотвода  $r'$  может быть сопоставимо с нормируемыми [2–5, 7] минимальными расстояниями от молниеотводов до защищаемых объектов. Например, для уровня III надёжности защиты от прямых ударов молнии при высоте молниеотвода 36 м, расположенного на склоне с углом  $10^\circ$ ,

смещение оси зоны молниезащиты от оси конструкции молниеотвода составит 5,314 м, что превышает 5 м – предельно допустимое расстояние по воздуху от отдельно стоящего молниеотвода с обособленным заземлителем до токоведущих частей, заземлённых конструкций и оборудования подстанций (п. 4.2.137 «Правил устройства электроустановок» [7]). Несмотря на то, что физический смысл оси молниеотвода М и оси зоны молниезащиты молниеотвода М' очевидно отличается, инженерная практика автора показывает, что достаточно сложно пояснить это отличие инженеру, не занимающемуся расчётом зон молниезащиты молниеотводов на постоянной основе, но выполняющему приёмку результатов работ по расчёту зон молниезащиты. То есть при расчётах зон молниезащиты исходя из предположения, что молния ударяет в молниеотвод перпендикулярно склону, неизбежно ожидается появление замечаний о несоответствии расположения молниеотводов на планах молниезащиты и других планах защищаемых объектов (например, на плане заземления) и/или о несоответствии требованиям нормативных документов к допустимым расстояниям от молниеотводов до защищаемых объектов.

Также в технической и научной литературе нет ответа на вопрос о правильности предположения, что молния может ударять в молниеотвод не вертикально, а перпендикулярно склону. Опыт [8, 9, 14] показывает, что анализ ударов молнии в молниеотвод может быть выполнен в лабораторных условиях на модели с использованием генераторов импульсных напряжений.

Для подтверждения или опровержения предположения о возможности молнии ударять в молниеотвод перпендикулярно склону в январе 2021 года проведены испытания с использованием четырёхступенчатого генератора импульсных напряжений, установленного в лаборатории «Техника высоких напряжений» (ТВН) ФГБОУ ВПО «Уральский



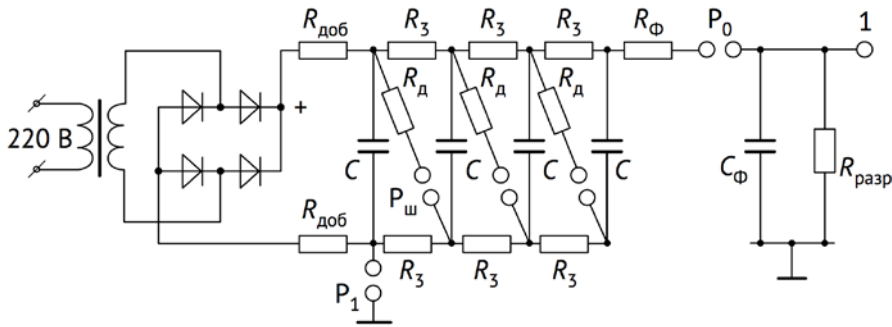


Рис. 6. Принципиальная электрическая схема генератора импульсных напряжений, установленного в лаборатории ТВН УрГУПС

государственный университет путей сообщения» (УрГУПС) (рис. 6).

Генератор импульсных напряжений (рис. 6) включает лабораторный автотрансформатор, выпрямитель, емкости  $C$ , заряжающиеся параллельно за счёт наличия зарядных сопротивлений  $R_з$  и разряжающиеся последовательно через шунтирующие разрядники  $P_ш$  при достижении на запальном разряднике  $P_1$  разрядного напряжения. Сопротивления  $R_{доб}$  необходимы для регулирования времени заряда емкостей  $C$  и ограничения токов короткого

замыкания. Сопротивления  $R_Ф$ ,  $R_{разр}$ , емкость  $C_Ф$  и отсекающий разрядник  $P_0$  формируют в точке 1 разряд молнии со стандартными параметрами импульса [1] – длительностью фронта 10 мкс, длительностью полусапада 350 мкс. Амплитуда напряжения на выводе высокого напряжения (в точке 1) генератора импульсных напряжений достигает 400 кВ.

Вывод высокого напряжения генератора импульсных напряжений (рис. 7) был подключен к игле 1, заземлённый вывод – к металлическому столу 2,



Рис. 7. Стенд для опытного определения зон молннезащиты молниеотводов в лаборатории ТВН УрГУПС



имитирующему поверхность земли, с установленным на столе металлическим молниеотводом 3. Склон поверхности земли имитировался путём наклона металлического стола 2 на угол  $\alpha$  от 0 до 30° с шагом от 2 до 5°. При каждом уровне наклона металлического стола проводилась серия разрядов (не менее 100) и визуально оценивалось направление удара молнии – преимущественно вертикальное или перпендикулярное склону (углу наклона металлического стола  $\alpha$ ). Результаты измерений представлены на рис. 8.

Испытания на модели, выполненные с использованием генератора импульсных напряжений, показали, что при увеличении угла наклона  $\alpha$  увеличивается количество молний, ударяющих в молниеотвод перпендикулярно склону. При увеличении угла наклона  $\alpha$  до 25° наблюдалось одинаковое количество молний, ударяющих вертикально и перпендикулярно склону, а при углах наклона  $\alpha$  от 29° и более все молнии ударяли перпендикулярно склону.

Таким образом, испытания на модели подтвердили предположение

о возможности ударов молнии не только вертикально, но и перпендикулярно склону и выявили зависимость направления ударов молнии от угла наклона. При подготовке проектной документации по молниезащите нового объекта или отчётной документации по обследованию системы молниезащиты существующего объекта целесообразным представляется применять оба подхода к расчёту зон молниезащиты:

– при расположении объекта на склоне с углом  $\alpha$  до 25° рекомендуется считать, что молнии ударяют в молниеотвод вертикально, и осуществлять расчёт зон молниезащиты по методике, обычно применяемой в инженерной практике, размещая зоны молниезащиты вертикально (см. рис. 3);

– при расположении объекта на склоне с углом  $\alpha$  более 25° рекомендуется считать, что молнии ударяют в молниеотвод перпендикулярно склону, и рассчитывать зоны молниезащиты по методике, приведённой на рис. 4, 5, с введением понятия оси условного молниеотвода  $M'$ , смещённого на угол наклона  $\alpha$ , относительно которой следует



Рис. 8. Результаты опытного определения направления ударов молнии в молниеотвод, расположенный на склоне

строить зоны молниезащиты по формулам (1)–(5).

### Выводы

1) Отсутствие единой методики расчётов зон молниезащиты, многообразие действующих инструкций по устройству молниезащиты увеличивают трудоёмкость инженерной практики, приводит к спорам заказчиков и подрядчиков работ по расчёту зон молниезащиты.

2) Ни в одной действующей инструкции по устройству молниезащиты не описан порядок расчёта зон молниезащиты молниеотводов, расположенных на склоне. В настоящей работе представлены два метода применения действующих инструкций по устройству молниезащиты при размещении объекта на склоне исходя из предположения, что молнии ударяют в молниеотводы вертикально и перпендикулярно

склону. Оба метода не противоречат ни одной действующей инструкции по устройству молниезащиты.

3) Испытания на модели, выполненные с использованием генератора импульсных напряжений, показали, что при увеличении угла склона  $\alpha$  увеличивается количество молний, ударяющих в молниеотвод перпендикулярно склону, а при углах склона  $\alpha$  более  $29^\circ$  разряды всех молний осуществляются перпендикулярно склону.

В инженерной практике при размещении объекта на склоне рекомендуется использовать оба метода применения действующих инструкций по устройству молниезащиты: при углах склона  $\alpha$  до  $25^\circ$  рекомендуется считать, что молнии ударяют в молниеотводы вертикально, при углах склона  $\alpha$  более  $25^\circ$  рекомендуется считать, что молнии ударяют в молниеотводы перпендикулярно склону. ■

### Литература

1. СО 153-34.21.122-2003. Инструкция по устройству молниезащиты зданий, сооружений и промышленных коммуникаций. М. : ЦПТИ ОРГРЭС, 2004. 36 с.
2. РД 34.21.122-87. Инструкция по устройству молниезащиты зданий и сооружений. М. : Государственный научно-исследовательский энергетический институт им. Г. М. Кржижановского, 1987. 42 с.
3. РД 153-34.3-35.125-99. Руководство по защите электрических сетей 6–1150 кВ от грозовых и внутренних перенапряжений. М. : РАО «ЕЭС России», 1999. 294 с.
4. СТО 56947007-29.240.01.221-2016. Руководство по защите электрических сетей 110–750 кВ от грозовых и внутренних перенапряжений. М. : ПАО «ФСК ЕЭС», 2016. 46 с.
5. СТО Газпром 2-1.11-170-2007. Инструкция по устройству молниезащиты зданий, сооружений и коммуникаций ОАО «Газпром». М. : ООО «ГазпромВНИИГАЗ», 2008. 33 с.
6. РД-91.120.40-КТН-240-16. Магистральный трубопроводный транспорт нефти и нефтепродуктов. Система защиты от молнии. Нормы проектирования. М. : ООО «НИИ Транснефть», 2016. 86 с.
7. Приказ Министерства энергетики Российской Федерации от 08.07.2002 №204 «Правила устройства электроустановок».
8. Данилов Д. И., Шкаруба М. В. Совершенствование методики расчёта молниезащиты подстанции // Актуальные вопросы энергетики: труды международной научно-практической конференции. Омск : Омский государственный технический университет, 2017. С. 32–35.
9. Шкаруба М. В., Данилов Д. И. Определение высоты молниеотводов подстанции // Динамика систем, механизмов и машин. Омск : Омский государственный технический университет, 2017. Т. 5, № 3. С. 140–144. ISSN 2310-9793.
10. Петров С. Р. О противоречиях в инструкциях по устройству молниезащиты // Электро. Электротехника, электроэнергетика, электротехническая промышленность. М. : АО «Холдинговая компания «Электрозавод», 2006. № 2. С. 49–52. ISSN 1995-5685.
11. Немировский А. Е., Зубов К. Н. Проектирование молниезащиты энергообъекта // Известия высших учебных заведений. Северо-Кавказский регион. Технические науки. – Новочеркасск : Южно-Российский государственный политехнический университет им. М.И. Платова, 2009. № 6. С. 55–60. ISSN 0321-2653.

12. Николайчик А. В., Кенжегалиев С. Ж. Сравнительный анализ расчёта высоты стержневых молниеотводов на основе существующих инструкций // Градостроительство. Инфраструктура. Коммуникации. 2019. № 1 (14). С. 49–54. ISSN 2413-6751.
13. Скрипко А. Н. Обоснование высоты молниеотвода над защищаемой поверхностью с разработкой рекомендаций по снижению влияния грозových проявлений на здания // Чрезвычайные ситуации: предупреждение и ликвидация. Минск : Научно-исследовательский институт пожарной безопасности и проблем чрезвычайных ситуаций МЧС Республики Беларусь, 2016. № 1 (39). С. 57–67. ISSN 1994-439X.
14. Усачёв А. Е., Чернов К. П., Лопухова Т. В., Гайфутдинова Э. Р. Новый механизм поражения объектов при ударах молнии // Известия высших учебных заведений. Проблемы энергетики. 2013. № 3–4. С. 135–138. ISSN 1998-9903.

#### Literature

1. SO 153-34. 21. 122-2003. Instructions for the device of lightning protection of buildings, structures and industrial communications [Instruktsiya po ustrojstvu molniezashhity zdaniy, sooruzhenij i promyshlennykh kommunikatsij. M. : TSPTI ORGREHS]. M. : TsPTI ORGRES, 2004. 36 p.
2. RD 34.21.122-87. Instructions for the device of lightning protection of buildings and structures. Moscow: State Research Energy Institute named after G. M. Krzhizhanovsky [Instruktsiya po ustrojstvu molniezashhity zdaniy i sooruzhenij. M. : Gosudarstvennyj nauchno-issledovatel'skij ehnergeticheskij institut im. G.M. Krzhizhanovskogo], 1987. 42 p.
3. RD 153-34. 3-35.125-99. Manual for the protection of electrical networks 6-1150 kV from lightning and internal overvoltage. Moscow: RAO «UES of Russia» [Rukovodstvo po zashhite ehlektricheskikh setej 6-1150 kV ot grozovykh i vnutrennikh perenapryazhenij. M. : RAO «EEHS Rossii»], 1999. 294 p.
4. STO 56947007-29. 240. 01. 221-2016. Guidelines for the protection of 110-750 kV electrical networks from thunderstorms and internal overvoltages. Moscow: PJSC «FGC UES» [Rukovodstvo po zashhite ehlektricheskikh setej 110-750 kV ot grozovykh i vnutrennikh perenapryazhenij. M. : PAO «FSK EEHS»], 2016. 46 p.
5. STO Gazprom 2-1. 11-170-2007. Instructions for the device of lightning protection of buildings, structures and communications of JSC «Gazprom». M. : LLC VNIIGAZ [Instruktsiya po ustrojstvu molniezashhity zdaniy, sooruzhenij i kommunikatsij OAO «Gazprom». M. : OOO «GazpromVNIIGAZ»], 2008. 33 p.
6. RD-91.120.40-KTN-240-16. Main pipeline transport of oil and petroleum products. Lightning protection system. Design Standards. Moscow: Transneft Research Institute, LLC [Magistral'nyj truboprovodnyj transport nefti i nefteproduktov. Sistema zashhity ot molnii. Normy proektirovaniya. M. : OOO «NII Transneft'»], 2016. 86 p.
7. Order of the Ministry of Energy of the Russian Federation No. 204 of 08.07.2002 «Rules for the device of electrical installations» [Prikaz Ministerstva ehnergetiki Rossijskoj Federatsii ot 08.07.2002 №204 «Pravila ustrojstva ehlektroustanovok»].
8. Danilov D. I., Shkaruba M. V. Improving the methodology for calculating lightning protection of substations. Omsk : Omsk State Technical University [Sovershenstvovanie metodiki raschyota molniezashhity podstantsii // Aktual'nye voprosy ehnergetiki: trudy mezhdunarodnoj nauchno-prakticheskoy konferentsii. Omsk : Omskij gosudarstvennyj tekhnicheskij universitet], 2017. Pp. 32–35.
9. Shkaruba M. V., Danilov D. I. Determination of the height of lightning rods of substation // Dynamics of systems, mechanisms and machines. Omsk : Omsk State Technical University [Opredelenie vysoty molnieotvodov podstantsii // Dinamika sistem, mekhanizmov i mashin. Omsk : Omskij gosudarstvennyj tekhnicheskij universitet], 2017. Vol. 5. № 3. Pp. 140–144. ISSN 2310-9793.
10. Petrov S. R. On contradictions in the instructions for the lightning protection device // Elektro. Electrical engineering, electric power engineering, electrical industry. M.: JSC «Holding Company «Elektrozavod» [O protivorechiyakh v instruktsiyakh po ustrojstvu molniezashhity // EHlektr. EHlektrotekhnika, ehlektroehnergetika, ehlektrotekhnicheskaya promyshlennost'. M. : AO «KHoldingovaya kompaniya «EHlektrozavod»], 2006. № 2. Pp. 49–52. ISSN 1995-5685.
11. Nemirovskiy A. E., Zubov K. N. Design of lightning protection of an energy facility // News of higher educational institutions. The North Caucasus region. Technical sciences.

- Novocherkassk : M. I. Platon South-Russian State Polytechnic University [Proektirovanie molniezashchity ehnergoob»ekta // Izvestiya vysshikh uchebnykh zavedenij. Severo-Kavkazskij region. Tekhnicheskie nauki. Novocherkassk : YUzhno-Rossiiskij gosudarstvennyj politekhnicheskij universitet im. M. I. Platova], 2009, № 6. Pp. 55–60. ISSN 0321-2653.
12. Nikolaychik A. V., Kenzhegaliev S. Zh. Comparative analysis of calculating the height of rod lightning rods on the basis of existing instructions. Infrastructure. Communications [Sravnitel'nyj analiz raschyota vysoty sterzhnevyykh molnieotvodov na osnove sushhestvuyushhikh instruktsij // Gradostroitel'stvo. Infrastruktura. Kommunikatsii]. 2019. No. 1 (14). Pp. 49–54. ISSN 2413-6751.
  13. Skripko A. N. Justification of the height of the lightning rod over the protected surface with the development of recommendations for reducing the impact of thunderstorms on buildings. Minsk: Research Institute of Fire Safety and Problems of Emergency Situations of the Ministry of Emergency Situations of the Republic of Belarus [Obosnovanie vysoty molnieotvoda nad zashchishhaemoj poverkhnost'yu s razrabotkoj rekomendatsij po snizheniyu vliyaniya grozovykh proyavlenij na zdaniya // CHrezvychajnye situatsii: preduprezhdenie i likvidatsiya. Minsk : Nauchno-issledovatel'skij institut pozharnoj bezopasnosti i problem chrezvychajnykh situatsij MCHS Respubliki Belarus'], 2016. № 1 (39). Pp. 57–67. ISSN 1994-439X.
  14. Usachev A. E., Chernov K. P., Lopukhova T. V., Gaifutdinova E. R. A new mechanism of object destruction during lightning strikes. Energy problems. [Novyj mekhanizm porazheniya ob»ektov pri udarakh molnii // Izvestiya vysshikh uchebnykh zavedenij. Problemy ehnergetiki] 2013. № 3–4. Pp. 135–138. ISSN 1998-9903.

*Статья сдана в редакцию 24 января 2021 года*

# Аспирантская тетрадь

УДК 656.259.12

М. И. Шестаков

## Расчет тональных рельсовых цепей с учетом сложной формы сигнала

UDC 656.259.12

M. I. Shestakov

## Calculation of tonal rail circuits with consideration of a complicated waveform

### Аннотация

В статье рассматривается проблема расчета современных тональных рельсовых цепей, рабочим сигналом которых является частотно-манипулированный сигнал, передающий коды Бауэра. Такие сигналы имеют широкий спектр, что приводит к погрешности расчетов, выполняемых по классической методике для одной частоты. Повышение скорости передачи кода с целью уменьшения времени реакции рельсовых цепей дополнительно расширяет спектр сигнала, что негативно сказывается на безопасности работы таких рельсовых цепей. Для определения ширины и состава спектра сигналов применено дискретное преобразование Фурье. Новая методика расчета рельсовых цепей, предлагаемая в настоящей статье, позволяет определить среднеквадратичное значение сигнала на выходе рельсовой цепи при известной амплитудно-частотной характеристике рельсовой цепи и форме сложного сигнала на входе. Полученное соотношение среднеквадратичных уровней сигналов на входе и выходе рельсовой цепи позволяет решать задачу расчета режимов работы рельсовой цепи с учетом её нелинейной амплитудно-частотной характеристики и с учетом сложной формы сигнала, в том числе с учетом конкретного передаваемого кода Бауэра. Такое решение позволяет повысить достоверность расчета регулировочных таблиц тональных рельсовых цепей и, как следствие, повысить надежность и безопасность их работы.

**Ключевые слова:** тональные рельсовые цепи, безопасность движения поездов, спектр сигнала, код Бауэра, преобразование Фурье, частотная манипуляция, цепь с распределенными параметрами.

DOI: 10.20291/2079-0392-2021-1-104-112

### Abstract

The article deals with the problem of calculating modern audio frequency track circuits, the working signal of which is a frequency-manipulated signal transmitting Bauer codes. Such signals have a wide spectrum, which leads to the error in the calculations performed according to the classical method for a single frequency. Increasing the code transfer rate in order to reduce the response time of track circuits further expands the signal spectrum, which negatively affects the safety of such rail circuits. To determine the width and composition of the signal spectrum, a discrete Fourier transformation is used. The new method of calculating rail circuits proposed in this article allows us to determine the root-mean-square value of the signal at the output of the rail circuit with a known amplitude-frequency characteristic of the rail circuit and the form of a complex signal at the input. The obtained ratio of the root-mean-square signal levels at the input and output of the rail circuit allows us to solve the problem of calculating the operating modes of the rail circuit taking into account its nonlinear amplitude-frequency characteristics and taking into account the complex signal form, including consideration of the specific transmitted Bauer code. This solution allows you to increase the reliability of the calculation of the adjustment tables of the tonal track circuits and, as a result, increase the reliability and safety of their operation.

**Keywords:** audio frequency track circuits, train safety, signal spectrum, Bauer code, Fourier transform, frequency manipulation, circuit with distributed parameters.

DOI: 10.20291/2079-0392-2021-1-104-112

Статья рекомендована к опубликованию канд. техн. наук, доцентом Уральского государственного университета путей сообщения В. А. Сисиным. E-mail: VSisin@usurt.ru.

Максим Игоревич Шестаков, аспирант; кафедра «Автоматика, телемеханика и связь на железнодорожном транспорте» Уральского государственного университета путей сообщения; Екатеринбург, Россия. E-mail: MI.Shestakoff@gmail.com. ORCID 0000-0003-2125-7262. The article is recommended for publishing by Candidate of Technical Science, Associate Professor of the Ural State University of Railway Transport V.A. Sisin. E-mail: VSisin@usurt.ru.

Maxim Igorevich Shestakov, Post-graduate Student, Chair of «Automation, Telemechanics and Communication» on Railway Transport, Ural State University of Railway Transport, Yekaterinburg, Russia. E-mail: MI.Shestakoff@gmail.com. ORCID 0000-0003-2125-7262.

Вопрос безопасной и безотказной работы рельсовых цепей заслуженно занимает центральное место в исследованиях, касающихся железнодорожной автоматики. Рельсовая цепь – датчик, обеспечивает безопасность движения поездов. В микропроцессорных системах автоблокировки в последнее десятилетие активно внедряются бесстыковые тональные рельсовые цепи (ТРЦ) с цифровыми генераторами и приемниками сигнала контроля рельсовой линии (КРЛ). Основное отличие современных ТРЦ от эксплуатируемых ТРЦ третьего и четвертого поколений заключается в использовании другого сигнала КРЛ. Новые ТРЦ используют частотную манипуляцию несущей тональной частоты передаваемого сигнала без разрыва фазы, кодируя тем самым сигнальный ток модифицированным кодом Бауэра, что отличает их от ТРЦ-3 и ТРЦ-4 с амплитудно-модулированными сигналами.

Принципы кодирования сигналов КРЛ современных ТРЦ неизбежно расширяют спектр такого сигнала. Как следствие, методика расчета уровней сигнального тока классических ТРЦ для определения граничных условий их режимов работы не подходит для расчетов новых ТРЦ.

Классический подход к задаче расчета режимов работы рельсовой цепи предполагает расчет затухания на несущей частоте сигнального тока [1–3]. Такой подход оправдан для РЦ переменного тока на частотах 25, 50 и 75 Гц. Такой подход применяется и для ТРЦ-3 и ТРЦ-4, так как в них используется амплитудная модуляция, в результате чего большая часть энергии сигнала сосредоточена на несущей частоте, а уровень гармоник на боковых частотах сравнительно низок, поэтому их можно не учитывать. При применении существующей методики расчета к новым ТРЦ уровни напряжений сигналов КРЛ на путевых приемниках будут определены с ошибкой, что напрямую повлияет на безопасность перевозочного процесса.

Проведем анализ спектра используемых сигналов в новых ТРЦ. Диапазон их несущих частот, например, в АБТЦ-И [4] составляет 475–925 Гц, ширина полосы частот, выделенная для каждого сигнала, – 50 Гц, девиация несущих частот – 13 Гц, скорость передачи кодируемых сигналов кодом Бауэра – 11 Бод. При этом необходимо учитывать, на одной несущей частоте можно использовать до 12-ти различных комбинаций кодирования сигнального тока. Распределение единиц и нулей в таких сигналах неравномерно, что для каждой последовательности определит ее уникальный спектр.

В соответствии с теоремой о смещении сигнала [5], форма спектра сигнала КРЛ качественно не зависит от несущей частоты, поэтому имеет смысл ограничиться одной частотой, например, 925 Гц. Для получения достаточного разрешения по частоте сформируем для каждого из кодов Бауэра массив отсчетов сигнала КРЛ с частотой дискретизации 4 кГц и длиной в 32 периода передачи кодовых посылок (т.е. 23,273 с) и единичной амплитудой (1 В) (таблица 1).

В соответствии со свойствами дискретного преобразования Фурье, частотное разрешение полученных графиков спектра сигнала КРЛ составляет 0,043 Гц. Построение массивов отсчетов и выполнение операции по преобразованию выполнялись в программном комплексе MathCAD 15.0, причем был применен вариант преобразования с масштабированием отсчетов на  $1/n$ , где  $n$  – длина сигнала в отсчетах. Результат преобразования представлен на рис. 1.

Графики (рис. 1) демонстрируют существенный разброс гармонических составляющих сигналов КРЛ в зависимости от наложенного кода Бауэра. Основная энергия сигнала сосредоточена в боковых гармониках спектра, причем из-за особенностей кода Бауэра (преобладание в коде либо нулей, либо единиц) спектр асимметричен. Из-за нелинейности амплитудно-частотной характеристики (АЧХ) тракта передачи

Таблица 1

## Перечень кодов Бауэра, используемых в современных ТРЦ

Номер кодовой комбинации	Код Бауэра в шестнадцатеричной системе счисления	Код Бауэра в двоичной системе счисления
1	2C	00101100
2	32	00110010
3	4A	01001010
4	54	01010100
5	67	01100111
6	79	01111001
7	86	10000110
8	98	10011000
9	AB	10101011
10	B5	10110101
11	CD	11001101
12	D3	11010011

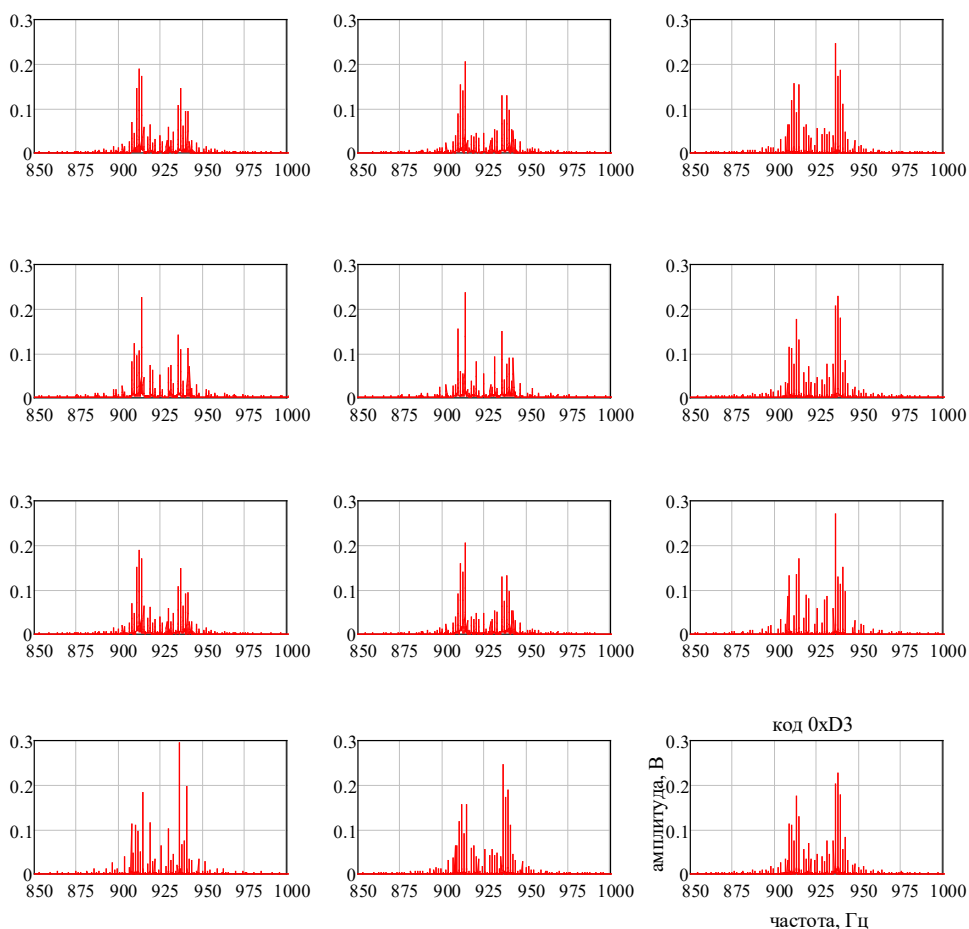


Рис. 1. Графики спектра сигналов КРЛ для всех кодов Бауэра на несущей частоте 925 Гц



сигнала КРЛ фактическое затухание сигнала будет либо больше, либо меньше, чем рассчитанное классическим методом. Это говорит о необходимости разработки новой методики для расчета уровней сигнала КРЛ сложной формы.

Ширина спектра сигнала КРЛ превышает заявленные 50 Гц. Если в соседней РЦ используется сигнальный ток с частотой соседнего канала, то на входе путевого приемника возникают электромагнитные помехи. Например, при использовании сигнала КРЛ с несущей частотой 925 Гц уровень гармонических составляющих этого сигнала в соседнем канале на частоте 875 Гц достигает 2–3 % от максимального уровня основных гармоник в собственном канале.

Новый способ расчета должен учитывать влияние АЧХ всех компонентов тракта передачи сигнала КРЛ. К таким компонентам относятся рельсовая линия, кабельная линия, путевые трансформаторы, фильтры, разделительные конденсаторы и прочие элементы, наличие которых зависит от конкретной ТРЦ.

Параметры рельсовой линии определяются как функции от частоты [1]. Амплитудно-частотные характеристики кабельной линии и прочих элементов ТРЦ рассчитываются как сосредоточенные элементы. Как и в классической методике расчета рельсовых цепей, каждый элемент схемы замещения ТРЦ можно представить в виде четырехполюсника, которому соответствует матрица из четырех комплексных параметров  $A$ ,  $B$ ,  $C$  и  $D$ , определяющих зависимость между входными и выходными токами и напряжениями.

В отличие от классической методики расчета, элементами матрицы четырехполюсника являются не комплексные числа, а комплексные функции от частоты. Линейная комбинация таких матриц по правилам классической теории рельсовых цепей позволяет получить эквивалентную матрицу рельсовой цепи, составленную также из функций от частоты. Основное уравнение для расчета рельсовой цепи представлено формулой (1):

$$\begin{pmatrix} U_1(f) \\ I_1(f) \end{pmatrix} = \begin{pmatrix} A(f) & B(f) \\ C(f) & D(f) \end{pmatrix} \times \begin{pmatrix} U_2(f) \\ I_2(f) \end{pmatrix}, \quad (1)$$

где  $U_1(f)$ ,  $I_1(f)$  – функции тока и напряжения от частоты на входе рельсовой цепи;  $U_2(f)$ ,  $I_2(f)$  – функции тока и напряжения от частоты на выходе рельсовой цепи;  $A(f)$ ,  $B(f)$ ,  $C(f)$ ,  $D(f)$  – функции параметров эквивалентного четырехполюсника от частоты.

Расчет уровней в рельсовых цепях в основном производится относительно напряжения. При известном входном импедансе путевого приемника из выражения (1) можно получить выражение (2), описывающее функциональную зависимость спектра выходного напряжения от спектра входного:

$$U_2(f) = U_1(f) \frac{Z_0(f)}{A(f) \cdot Z_0(f) + B(f)}, \quad (2)$$

где  $Z_0(f)$  – функция входного импеданса путевого приемника от частоты.

Поскольку ранее было найдено дискретное преобразование Фурье входного сигнала КРЛ (на выходе путевого генератора), то можно найти вектор значений, соответствующий дискретному Фурье-образу выходного сигнала (на входе путевого приемника) по формуле (3), вычисляя значения функций для конкретных частот Фурье-образа:

$$x2_k = x1_k \frac{Z_0(f_k)}{A(f_k) \cdot Z_0(f_k) + B(f_k)}, \quad (3) \\ (k = 0, \dots, N-1)$$

где  $x1_k$  – вектор комплексных отсчетов дискретного Фурье-образа входного сигнала;  $x2_k$  – вектор комплексных отсчетов Фурье-образа выходного сигнала;  $k$  – порядковый номер элемента в векторе Фурье-образа;  $N$  – количество элементов в векторе Фурье-образа;  $f_k$  – частота, соответствующая  $k$ -му элементу Фурье-образа.

Применяя к вектору Фурье-образа выходного сигнала обратное дискретное преобразование Фурье, с учетом

коэффициента масштабирования  $1/n$  получаем вектор комплексных отсчетов сигнала на входе приёмника во временной области. Зная векторы отсчетов сигналов на входе и на выходе рельсовой цепи во временной области, можно найти среднеквадратичные значения уровня напряжения этих сигналов по формуле (4):

$$U_1 = \sqrt{\frac{\sum_{i=0}^{N-1} X1_i^2}{N}}; \quad (4)$$

$$U_2 = \sqrt{\frac{\sum_{i=0}^{N-1} X2_i^2}{N}},$$

где  $U_1$ ,  $U_2$  – среднеквадратичные значения напряжения на выходе путевого генератора и на входе путевого приёмника;  $X1$ ,  $X2$  – векторы комплексных отсчетов сигналов на выходе путевого генератора и на входе путевого приёмника;  $i$  – индекс элемента в векторе отсчетов;  $N$  – количество элементов в векторах отсчетов.

Среднеквадратичные значения уровней сигналов на входе и на выходе рельсовой цепи являются промежуточным результатом новой методики расчета; по ним можно произвести качественный анализ рельсовой цепи, например, вычислить затухание сигнала КРЛ или сдвиг фазы выходного сигнала относительно входного.

Так как все преобразования, использованные в формулах (1)–(4), являются линейными, то значения  $U_1$  и  $U_2$  также линейно зависят друг от друга. Это означает, что для иных уровней сигнала не надо производить все расчеты заново – достаточно ввести коэффициент пропорциональности уровней входного и выходного напряжений  $k_n$ , который справедлив для любых значений  $U_1$  и  $U_2$ :

$$k_n = \frac{U_1}{U_2}. \quad (5)$$

Этот коэффициент относится к конкретной схеме замещения ТРЦ, рабо-

тающей в заданном режиме (нормальном, шунтовом, контрольном режиме или в любом другом), с конкретной несущей частотой сигнала и с конкретным наложенным кодом. При изменении этих параметров коэффициент  $k_n$  нужно пересчитать.

Из формулы (5) можно выразить зависимость уровня входного сигнала КРЛ от выходного и входного от выходного. Это и является конечным результатом новой методики расчета ТРЦ с учетом сложной формы сигнала КРЛ.

Для проверки новой методики расчета и анализа влияния кодов на уровень сигнала проведен пробный расчет ТРЦ в шунтовом и нормальном режимах. За основу расчетной схемы принята типовая рельсовая цепь АБТЦ-И, её математическое представление в виде модели основано на [2, 6]. Схема содержит одну бесстыковую ТРЦ с централизованным размещением аппаратуры, постовая аппаратура подключается по кабельной линии, в качестве согласующих устройств используются идеальные трансформаторы с коэффициентом трансформации, равным 40, на каждом конце включен защитный резистор с сопротивлением 0,3 Ом, ответвления в соседние ТРЦ замещены на волновые сопротивления рельсовой линии. Ожидается, что эффект от неравномерного затухания сигнала КРЛ проявится при наиболее сильном затухании в ТРЦ, что соответствует наибольшим длинам рельсовой линии и кабеля, а также наивысшей несущей частоте сигнала. Несущая частота сигнала КРЛ принята 925 Гц, длина рельсовой линии 800 м, длина кабельной линии – 15 км. Схема замещения для нормального режима представлена на рис. 2.

В шунтовом режиме нормативный шунт сопротивлением 0,06 Ом наложен на середину рельсовой линии, схема замещения которой представлена на рис. 3.

Параметры четырехполюсника кабельной линии находятся распределенной моделью из [7], причем они

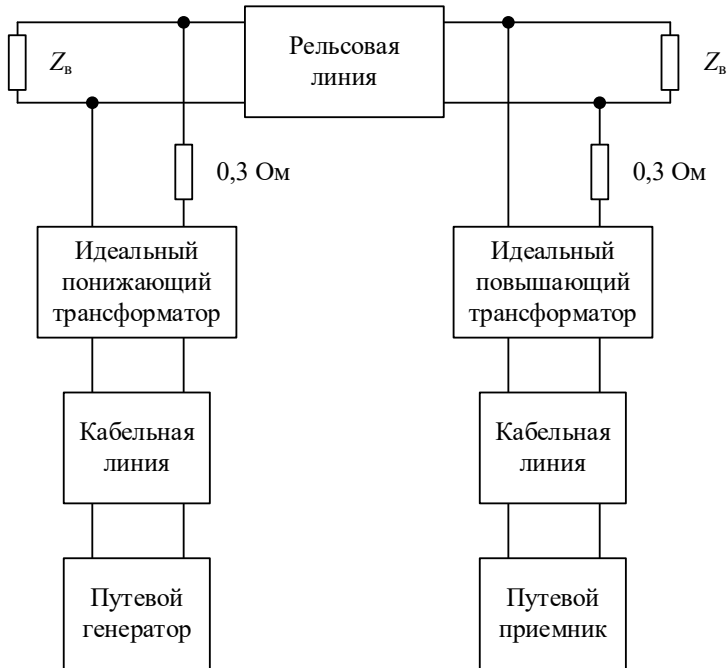


Рис. 2. Схема замещения рельсовой цепи для расчета нормального режима

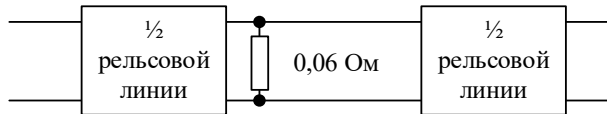


Рис. 3. Фрагмент схемы рельсовой цепи, замещающий рельсовую линию в шунтовом режиме

определены для всех частот в тональном диапазоне.

Модель рельсовой линии построена по уравнениям из [1, 7], однако ряд параметров, в частности, активное сопротивление рельса и индуктивность рельсовой петли, рассчитаны численно для всех используемых частот с использованием модели на основе решения уравнений электродинамики для поперечного сечения рельсовой линии. Те же параметры рельсовой линии приняты и при расчете волнового сопротивления рельсовой линии. Сопротивление балласта принято равным 1 Ом·км при нормальном режиме и 50 Ом·км при шунтовом.

Расчет производился относительно регулировочных параметров рельсовой линии. Результатом расчета являются минимально допустимое среднеква-

дратичное значение сигнала КРЛ на выходе генератора в нормальном режиме и максимально допустимое среднеквадратичное значение сигнала КРЛ в шунтовом режиме. Дополнительно вычислялся фазовый сдвиг сигнала КРЛ при прохождении через рельсовую цепь.

При применении классического метода расчета получены следующие результаты:

- минимально допустимый уровень сигнала КРЛ при нормальном режиме составляет 90,277 В, фазовый сдвиг сигнала 131,623°;

- максимально допустимый уровень сигнала КРЛ при шунтовом режиме составляет 252,225 В, фазовый сдвиг сигнала 131,28°.

Новый метод расчета проведен по предложенной в данной статье методике

для каждого кода Бауэра из таблицы 1. Результаты расчета содержат средне-квадратичные значения уровней сигнала КРЛ и фазовых сдвигов для нормального и шунтового режимов (таблица 2).

Для различных кодовых посылок расчетные уровни сигнала также отличаются; в рамках одного режима максимальный разброс по амплитуде сигнала составляет 1,146 %, а по фазе – 0,552 %.

По таблицам 2 и 3 можно заключить, что результаты расчетов по новой методике формируют две группы, значения внутри которых слабо отличаются друг от друга. Если соотнести эти группы с двоичным представлением кодов в таблице 1 и с графиками спектра сигналов на рис. 1, то ясно, что одной группе соответствуют коды с преобладанием единиц (5 единиц из 8 бит), а другой – с преобладанием нулей (5 нулей из 8 бит). Графики также показывают преобладание нижних частот над верхними в одной группе и обратную картину в другой. Учет разных величин затухания сигнала в зависимости от применяемого кода является преимуществом новой методики перед классической.

Разница между классическим режимом и новым приводится в таблице 3.

Максимальное отличие по амплитуде для нового метода составляет 0,614 %, по фазе – 0,325 %.

Результаты расчетов показывают, что величины, рассчитанные классическим и новым методами, довольно близки, причем это достигнуто в двух различных режимах работы рельсовой цепи, что подтверждает работоспособность нового метода.

Небольшие величины отклонения от результатов классического расчета являются следствием того, что в качестве объекта расчета была выбрана только одна конкретная рельсовая цепь со случайными параметрами. Однако могут существовать особые сочетания условий, при которых эта разница будет значительно больше. Например, увеличение скорости передачи кодов в сигнале КРЛ на участках с высокоскоростным движением не только ускорит срабатывание путевого приемника, но и увеличит разницу между фактическим уровнем сигнала и результатами расчетов по классическому методу из-за неизбежного увеличения ширины спектра сигнала. Также разница будет заметна для рельсовых цепей с более значительной нелинейностью в тракте передачи сигнала КРЛ. Чтобы в полной

Таблица 2

Результаты расчета рельсовой цепи по предложенному методу

Код Бауэра в шестнадцатеричной системе счисления	Минимальный уровень для нормального режима, В	Фазовый сдвиг в нормальном режиме, град	Максималь- ный уровень для шунтового режи- ма, В	Фазовый сдвиг в шунтовом режиме, град
2C	89,883	131,215	250,898	130,854
32	89,883	131,215	250,898	130,854
4A	89,883	131,215	250,898	130,853
54	89,883	131,215	250,898	130,854
67	90,745	131,922	253,773	131,576
79	90,745	131,922	253,773	131,576
86	89,883	131,215	250,897	130,854
98	89,883	131,215	250,897	130,854
AB	90,745	131,922	253,772	131,576
B5	90,745	131,922	253,772	131,576
CD	90,745	131,922	253,773	131,576
D3	90,745	131,922	253,773	131,576

Таблица 3

Отличие результатов расчета по предложенной методике, от результатов, полученных классическим методом расчета

Код Бауэра в шестнадцатеричной системе счисления	Разница по амплитуде в нормальном режиме, %	Разница по фазе в нормальном режиме, %	Разница по амплитуде в шунтовом режиме, %	Разница по фазе в шунтовом режиме, %
2C	–0,436	–0,31	–0,526	–0,324
32	–0,436	–0,31	–0,526	–0,325
4A	–0,436	–0,31	–0,526	–0,325
54	–0,436	–0,31	–0,526	–0,325
67	0,518	0,227	0,614	0,226
79	0,518	0,227	0,614	0,226
86	–0,436	–0,31	–0,526	–0,324
98	–0,436	–0,31	–0,526	–0,325
AB	0,518	0,227	0,613	0,226
B5	0,518	0,227	0,613	0,226
CD	0,518	0,227	0,614	0,226
D3	0,518	0,227	0,614	0,226

мере оценить влияние сложной формы сигнала на погрешность расчетов, необходимо провести дополнительные исследования.

Предложенный метод расчета полезен при анализе взаимного влияния аппаратуры ТРЦ, работающей на разных несущих частотах, что дополнительно расширяет возможности проектирования рельсовых цепей в соединении с перспективными методиками проектирования [8]. Приведа входные фильтры (аналоговые или цифровые)

путевого приемника к параметрам четырехполюсника, зависящим от частоты, можно получить результаты расчетов с учетом избирательности путевого приемника по соседним несущим частотам.

Новый метод расчета увеличивает точность регулировочных таблиц рельсовых цепей, снижая риск возникновения ложной свободности или занятости. Это положительно скажется на безопасности движения поездов и непрерывности перевозочного процесса. ■

#### Литература

1. Брылеев А. М., Шишляков А. В., Кравцов Ю. А. Теория, расчет, устройство и работа рельсовых цепей. – М. : Транспорт, 1978. – 425 с.
2. Сисин В. А. Математическое моделирование работы тональных рельсовых цепей // Транспорт Урала. 2015. № 3 (46). С. 45–49. ISSN 1815-9400.
3. Свидетельство о госрегистрации программы для ЭВМ 2020613443. Рос. Федерация. Автоматизированная система расчета бесстыковых перегонных рельсовых цепей (АРС БПРЦ) / М.И. Шестаков, В.А. Сисин; правообладатель Федеральное государственное бюджетное образовательное учреждение высшего образования «Уральский государственный университет путей сообщения» – № 2020613443. заявл. 27.02.2020 ; зарегистр. 16.03.2020 ; опублик. 16.03.2020.
4. Технические решения по проектированию устройств автоматики, телемеханики и связи на железнодорожном транспорте. 665231.001ТР-06. Автоматическая локомотивная сигнализация как самостоятельное средство сигнализации и связи с применением подвижных блок-участков на базе микропроцессорной системы АБТЦ-И на перегоне Тудур-Пони Дальневосточной железной дороги. – Екатеринбург : АО «НПЦ «Пром-электроника», 2020. – 132 с.
5. Зюко А. Г., Кловский Д. Д., Назаров М. В., Финк Л. М. Теория передачи сигналов : учебник для вузов. – М. : Связь, 1980. – 304 с.

6. Сисин В. А., Шестаков М. И. Решение задачи синтеза современных бесстыковых тональных рельсовых цепей // Вестник транспорта Поволжья. 2020. № 4 (82). С. 52–57. ISSN 1815-9400.
7. Кулик П. Д., Ивакин Н. С., Удовиков А. А. Тональные рельсовые цепи в системах ЖАТ: построение, регулировка, обслуживание, поиск и устранение неисправностей, повышение эксплуатационной надежности. Киев: Мануфактура, 2004. 288 с. ISBN 966-8173-02-3.
8. Сисин В. А., Шестаков М. И. Сравнительный анализ современных бесстыковых рельсовых цепей тональной частоты // Транспорт Урала. 2019. № 3 (62). С. 59–63. ISSN 1997-0722.

#### Literature

1. Bryleyev A. M., Shishlyakov A. V., Kravtsov Yu. A. Theory, calculation, device and operation of rail chains. – M.: Transport [Teoriya, raschet, ustrojstvo i rabota rel'sovykh tsepej. – M. : Transport], 1978. – 425 p.
2. Sisin V. A. Mathematical modeling of the operation of tonal rail chains // Transport of the Urals. [Matematicheskoe modelirovanie raboty tonal'nykh rel'sovykh tsepej // Transport Urala.] 2015. № 3 (46). Pp. 45–49. ISSN 1815-9400.
3. Certificate of state registration of the computer program 2020613443. Rus. Federation. Automated system of calculation of joint-free rail chains (ARS BPRC) / M. I. Shestakov, V. A. Sisin; copyright holder Federal State Budgetary Educational Institution of Higher Education «Ural State University of Railway Transport». – № 2020613443. application. 27.02.2020; register. 16.03.2020; publ. 16.03.2020. [Svidetel'stvo o gosregistratsii programmy dlya EHVM 2020613443. Ros. Federatsiya. Avtomatizirovannaya sistema rascheta besстыkovykh peregonnykh rel'sovykh tsepej (ARS BPRTS) / M. I. Shestakov, V. A. Sisin; pravoobladatel' Federal'noe gosudarstvennoe byudzhethoe obrazovatel'noe uchrezhdenie vysshego obrazovaniya «Ural'skij gosudarstvennyj universitet putej soobshheniya» – № 2020613443. zayavl. 27.02.2020; zaregistr. 16.03.2020; opubl. 16.03.2020].
4. Technical solutions for the design of automation, telemechanics and communication devices on railway transport. 665231.001 TR-06. Automatic locomotive signaling as an independent means of signaling and communication with the use of mobile block sections based on a microprocessor system ABTC-I on the Tudur-Poni section of the Far Eastern Railway. – Yekaterinburg: JSC «SPC «Promelektronika» [Tekhnicheskie resheniya po proektirovaniyu ustrojstv avtomatiki, telemekhaniki i svyazi na zheleznodorozhnom transporte. 665231.001TR-06. Avtomaticheskaya lokomotivnaya signalizatsiya kak samostoyatel'noe sredstvo signalizatsii i svyazi s primeneniem podviznykh blok-uchastkov na baze mikroprotssessornoj sistemy ABTTS-I na peregone Tudur-Poni Dal'nevostochnoj zheleznoj dorogi. – Ekaterinburg : AO «NPTS «Promehlektronika»]. 2020. – 132 p.
5. Zyuko A. G., Klovsky D. D., Nazarov M. V., Fink L. M. Theory of signal transmission: textbook for universities. – M. : Svyaz [Teoriya peredachi signalov : uchebnik dlya vuzov. – M. : Svyaz']. 1980. – 304 p.
6. Sisin V. A., Shestakov M. I. Solution of the problem of synthesis of modern seamless tonal rail circuits // Bulletin of Transport of the Volga Region. [Reshenie zadachi sinteza sovremennykh besстыkovykh tonal'nykh rel'sovykh tsepej // Vestnik transporta Povolzh'ya 2020. № 4 (82). Pp. 52–57. ISSN 1815-9400.
7. Kulik P. D., Ivakin N. S., Udobikov A. A. Tonal rail chains in RAT (railroad automation and telemechanics) systems: construction, adjustment, maintenance, troubleshooting, improving operational reliability. Kiev: Manufaktura [Tonal'nye rel'sove tsepi v sistemakh ZHAT: postroenie, regulirovka, obsluzhivanie, poisk i ustranenie neispravnostej, povyshenie ehkspluatatsionnoj nadezhnosti. Kiev: Manufaktura], 2004. 288 p. ISBN 966-8173-02-3.
8. Sisin V. A., Shestakov M. I. Comparative analysis of modern seamless rail chains of tonal frequency // Transport of the Urals. [Sravnitel'nyj analiz sovremennykh besстыkovykh rel'sovykh tsepej tonal'noj chastoty // Transport Urala.] 2019. № 3 (62). Pp. 59–63. ISSN 1997-0722.

*Статья сдана в редакцию 11 февраля 2021 года*



## Уважаемые коллеги!

### Информирую вас о требованиях, предъявляемых к оформлению статей.

При наборе используйте Word-2003 или Word-2007; шрифт (по всему тексту, в том числе в рисунках и таблицах) – тип Times, размер шрифта – 14, межстрочное расстояние – 1,5, абзацный отступ – 1,25 (1,27) см, поля – 2 см; расстановка переносов по всему тексту – автоматическая.

Набор формул: простые формулы и сочетания символов ( $x^2 < y^2$ ;  $E = mc^2$ ;  $a^2 + b^2 = c^2$ ;  $Q_{i-1}$ ;  $\psi_j$ ) – только в текстовом режиме, сложные

$$(s^2 = \frac{1}{n-1} \left[ \sum_{j=1}^e x_j^2 n_j - \frac{1}{n} \left( \sum_{j=1}^e x_j n_j \right)^2 \right]; \left( \frac{\sigma_a}{[n]} \right)$$

или  $S_i^m$ ) – только в редакторе формул

Equation или в MathType.

Написание букв: русские (а, б, в, А, Б, В), греческие (Θ, Σ, Ω, Ψ, α, β, δ, ε, λ, π), а также цифры и аббревиатуры (1, 2, 3; I, II, III; max, lg, sin и т. п.) пишутся только прямо; латинские (a, b, n, A, B, N и т. д.) – только курсивом. Исключение – курсив во вспомогательном тексте (слова «Таблица» и «Рис.», примечания в рисунках и ссылки в тексте на эти примечания).

Оформление текста: левый верхний край – инициалы, фамилия; заголовков – все буквы ПРОПИСНЫЕ, жирные, расположение – по центру набора; таблиц и рисунков: в таблицах размер шрифта – на полтора-два размера меньше, чем в основном тексте (11,5–12), расположение текста в «шапке» таблицы – по центру, в столбцах – по ширине; межстрочное расстояние – 1; слово «Таблица» – курсивное начертание, в правый край таблицы; название таблицы – начертание нормальное (прямое), расположение – по центру таблицы. В рисунках (графиках, диаграммах): размер подрисуночной

подписи – 14, расположение – по центру набора, слово «Рис.» – курсив, название рисунка – нормальное начертание, описание рисунка (экспликация) – нормальное начертание, условные обозначения – курсивное начертание, их расшифровка – нормальное. Расположение таблиц и рисунков – строго после ссылки на них.

Кроме того, рисунки обязательно прилагаются к материалу (один рисунок – один файл; формат – \*.jpg).

Ссылки на литературу в тексте пишутся в квадратных скобках ([1], [1, 2] или [3–5]); нумерация сквозная. Список литературы/источников оформляется по ГОСТ 7.0.5–2008.

В конце статьи обязательно ставится дата отсыла материала в редакцию.

Объем статьи – не более 14-ти страниц.

Название файла: Фамилия. Первое слово заголовка. Подчеркивание. Последнее слово заголовка (Сидоров. Синтез\_электроприводом).

К материалу (статье) обязательно прилагаются (отдельным файлом): УДК, сведения об авторе, аннотация, ключевые слова (название файла: УДК 000. Сидоров. Синтез\_электроприводом).

Материалы для очередного номера журнала «Вестник УрГУПС» принимаются до 30 числа первого месяца квартала (до 30-го января, 30-го апреля, до 30-го июля, до 30-го октября). Материалы, поступившие в редакцию после 30-го числа, будут опубликованы только в следующем номере.

Успешной работы!

*Л. Барышникова,  
литературный и выпускающий  
редактор журнала «Вестник УрГУПС»*



### Уважаемые читатели и авторы журнала «Вестник УрГУПС»!

Если вам нравится наш журнал, вы можете оказать содействие в его развитии, перечислив денежные средства по реквизитам:

Ассоциация выпускников УЭМИИТ-УрГУПС

ИНН-КПП 6670317893/667001001

ОГРН 1156600001470

620075, Свердловская обл., г. Екатеринбург, ул. Шевченко, д. 20, помещение 1

Р/с 40703810863010000192

в ПАО КБ «УБРИР» филиал ССБ

к/с 30101810900000000795

БИК 046577795

**Назначение платежа:** «Пожертвование для поддержки научных журналов УрГУПС».

Ваша финансовая поддержка позволит нам увеличить число публикаций, повысить индексы цитирования журнала и наших авторов.

### Уважаемые руководители инновационных компаний и предприятий!

Предлагаем вам услуги по продвижению вашей продукции через сеть Ассоциации выпускников УЭМИИТ-УрГУПС.

Ассоциация выпускников УЭМИИТ-УрГУПС – это кооперация большого числа неравнодушных людей различных сфер деятельности, окончивших наш университет.

Кроме того, предлагаем услуги по подбору молодых специалистов, по организации поиска решений прикладных и научных задач в рамках диссертационных работ, выполняемых в УрГУПС.

Всю необходимую информацию вы можете получить по тел. (343) 221-25-60

или на сайте <http://www.usurt.ru/vypusknikam/assotsiatsiya-vypusknikov-urgups>

<b>Извещение</b>	<p><b>Получатель:</b> <u>Ассоциация выпускников УЭМИИТ-УрГУПС</u> <b>КПП:</b> <u>667001001</u> <b>ИНН:</b> <u>6670317893</u> <b>ОКТМО:</b> <u>65701000</u> <b>Р/сч.:</b> <u>40703810863010000192</u> <b>в:</b> <u>ПАО КБ «УБРИР» филиал ССБ</u> <b>БИК:</b> <u>046577795</u> <b>К/сч.:</b> <u>30101810900000000795</u> <b>Код бюджетной классификации (КБК):</b> _____ <b>Платеж:</b> <u>Пожертвование для поддержки научных журналов УрГУПС</u> <b>Плательщик:</b> _____ <b>Адрес плательщика:</b> _____ <b>ИНН плательщика:</b> _____ <b>№ л/сч. плательщика:</b> _____ <b>Сумма:</b> _____ руб. ____ коп.  Подпись: _____ Дата: «____» _____ 2021 г.</p>
<b>Квитанция</b>	<p><b>Получатель:</b> <u>Ассоциация выпускников УЭМИИТ-УрГУПС</u> <b>КПП:</b> <u>667001001</u> <b>ИНН:</b> <u>6670317893</u> <b>ОКТМО:</b> <u>65701000</u> <b>Р/сч.:</b> <u>40703810863010000192</u> <b>в:</b> <u>ПАО КБ «УБРИР» филиал ССБ</u> <b>БИК:</b> <u>046577795</u> <b>К/сч.:</b> <u>30101810900000000795</u> <b>Код бюджетной классификации (КБК):</b> _____ <b>Платеж:</b> <u>Пожертвование для поддержки научных журналов УрГУПС</u> <b>Плательщик:</b> _____ <b>Адрес плательщика:</b> _____ <b>ИНН плательщика:</b> _____ <b>№ л/сч. плательщика:</b> _____ <b>Сумма:</b> _____ руб. ____ коп.  Подпись: _____ Дата: «____» _____ 2021 г.</p>

ф. СП-1

## АБОНЕМЕНТ

на ~~газету~~  
журнал

70070

(индекс издания)

### Вестник УргУПС

(наименование издания)

Количество  
комплектов:

на 2021 год по месяцам:

1	2	3	4	5	6	7	8	9	10	11	12
X	X	X	X	X	X						

Куда

(почтовый индекс)

(адрес)

Кому

(фамилия, инициалы)

## ДОСТАВОЧНАЯ КАРТОЧКА

на ~~газету~~  
журнал

70070

(индекс издания)

### Вестник УргУПС

(наименование издания)

Стои- мость	подписки	_____ руб. ____ коп.	Количество комплектов:	
	переадресовки	_____ руб. ____ коп.		

на 2021 год по месяцам:

1	2	3	4	5	6	7	8	9	10	11	12
X	X	X	X	X	X						

Куда

(почтовый индекс)

(адрес)

Кому

(фамилия, инициалы)